



توظيف انموذج ظاهري لتوصيف انبعثات جسيمات الفا لنوى زوجية- زوجية ثقيلة

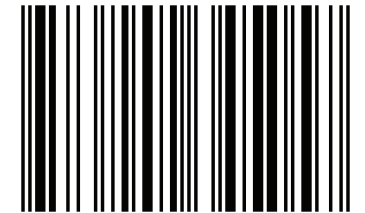
تضمنت الدراسة اعادة الكرة لانموذج الجسيم المنفرد في توصيف انبعثات جسيمات الفا للنوى - الزوجية - الزوجية الثقيلة باجراء عملية تحويل بسيطة على نصف قطر النوى الام وصولا الى تحديد العمر النصفى لتلك النوى. وقد تبين بان تغيير نصف قطر النوى 2% سيغير من ثابت الانحلال بمقدار 2-3 اضعاف. تم تحديد لوغاريتم العمر النصفى للنوى قيد الدرس بتوصيف انموذج ظاهري تم اعداده من قبل فراس وميان، لتوصيف انبعثات جسيمات الفا الذي يحوي على علاقة شبه تجريبية مبنية على اساس قاعدة كليكر ونوتال اخذ بنظر الاعتبار نسبة زيادة عدد النيوترونات الذي كان له اثر بالغ على ملاننة النتائج ومقاربتها للقيم العملية، استخدمت عدة نماذج اخرى متتوالية لتوصيف الانبعثات وتبين ان انموذجنا يحاكي بقية النماذج ويتقارب معها من حيث نجاحه بتحديد قيم العمر النصفى للنوى المدروسة. استخدمت اجراءات احصائية عديدة لوصف ومقارنة قيم النتائج مع الجانب التجريبي. تم الحصول على معادلات ملانمة تربط ما بين القيم النظرية والتجريبية. حددت القدرة الناتجة بوحدة واطغم وتبين انها تتناسب طرديا بزيادة طاقة جسيمة الفا المنحلة لمعدل ثابت. تم الحصول على معادلات ملانمة من خلال برنامج معد بواسطة برامج ماثلاب وبينت ان هناك توافقات معنوية ما بين القيم النظرية والتجريبية.

ميان ابراهيم خليل - مدرسة مساعدة- تدريسية في قسم الفيزياء - كلية العلوم - جامعة الموصل .
بكالوريوس علوم فيزياء -جامعة الموصل 2008. ماجستير علوم فيزياء نووية 2017

ميان ابراهيم خليل
فراس الجميلي

توظيف انموذج ظاهري لتوصيف انبعثات
جسيمات الفا لنوى زوجية- زوجية ثقيلة

NOOR
PUBLISHING



978-620-2-34505-7

ميان ابراهيم خليل
فراس الجميلي

توظيف انموذج ظواهري لتوصيف انبعاث جسيمات الفا لنوى زوجية- زوجية ثقيلة

ميان ابراهيم خليل
فراس الجميلي

توظيف انموذج ظواهرى لتوصيف انبعاث جسيمات الفا
لنوى زوجية- زوجية ثقيلة

Noor Publishing

Imprint

Any brand names and product names mentioned in this book are subject to trademark, brand or patent protection and are trademarks or registered trademarks of their respective holders. The use of brand names, product names, common names, trade names, product descriptions etc. even without a particular marking in this work is in no way to be construed to mean that such names may be regarded as unrestricted in respect of trademark and brand protection legislation and could thus be used by anyone.

Cover image: www.ingimage.com

Publisher:

Noor Publishing

is a trademark of

International Book Market Service Ltd., member of OmniScriptum Publishing Group

17 Meldrum Street, Beau Bassin 71504, Mauritius

Printed at: see last page

ISBN: 978-620-2-34505-7

Copyright © میان ابراهیم خلیل, فراس الجمیلی

Copyright © 2018 International Book Market Service Ltd., member of OmniScriptum Publishing Group

All rights reserved. Beau Bassin 2018

المخلص

تضمنت هذه الدراسة تحديد لوغاريتم الأعمار النصفية للنوى الزوجية - الزوجية الثقيلة التي تمتلك أعداداً ذرية محصورة ما بين $82 \leq Z \leq 102$ من خلال إعادة الكرة (revisited) لـ نموذج الجسيم الواحد المقترح من كروني وكوندن وكامو عام 1928 المبني على أساس تشكل جسيمة ألفا في النواة الأم قبل انحلالها نفيًا، مع إجراء عملية تحويل بسيطة على نصف قطر النواة التي احتوت على مجموع الأعداد الكتلية للنواة الوليدة وجسيمة ألفا وذلك من خلال اعتمادنا على نصف قطر النواة الأم فقط ($1.4A^{1/3}$) ومن خلال الاعتماد على العدد الكتلي للنواة الوليدة مع إضافة عامل تصحيح ($2 + 1.08A_d^{1/3}$) وتبين بأن تغيير نصف قطر النواة (2%) سيغير من قيمة ثابت الانحلال بمقدار (2-3) أضعاف مما سينعكس على لوغاريتم العمر النصفية للنواة بشكل كبير فضلاً عن التناسب العكسي ما بين نصف قطر النواة وارتفاع حاجز الجهد. كما تم تحديد لوغاريتم العمر النصفية للنوى قيد الدرس من خلال عدد من النماذج المتداولة التابعة لدراسات أخرى كـ نموذج وابسترا (W.M) ونموذج تاجيبيرا ونورميا (T.N.M) ونموذج كيلر ومونزل (K.M.M) ونموذج هورنشج (H.M) ونموذج كورا (K.M) ونموذج روبر (R.M) فضلاً عن نموذج فراس وميان (F.M.M) من قبلنا الذي يحوي على علاقة شبه تجريبية مبنية على أساس قاعدة كايكر ونوتال فضلاً عن بعض المعاملات التي تضمنها نموذج الجسيم الواحد كنصف قطر النواة المتمثل بـ ($2 + 1.08A_d^{1/3}$) والعدد الذري للنواة الوليدة Z_d وبثوابت ملائمة تم التوصل إليها من خلال عملية الخطأ والصواب كما يحوي الامنموذج على حد متمثل بنسبة زيادة النيوترونات ($\frac{N-Z_p}{A}$) الذي كان له الأثر البالغ في ملاءمة لوغاريتم عمر النصف ومقارنته للقيم العملية. تمت عملية مقارنة نموذج فراس وميان مع بقية النماذج المتداولة اعتماداً على الإجراءات الإحصائية التي قمنا بحسابها كالانحراف عن معدل مربع الجذر التربيعي (rmsd) والانحراف المعياري (σ) ومعامل التوافق إلى جانب العلاقة ما بين نسبة لوغاريتم العمر النصفية النظري إلى العملي وتبين من خلال تلك القيم إمكانية استخدام نموذج فراس وميان في توصيف نظرية انبعاث ألفا وتحديد لوغاريتم العمر النصفية للنوى المدروسة بشكل يتقارب مع القيم العملية. كما تبين بأن جميع النماذج المتداولة يمكن استخدامها في تحديد لوغاريتم العمر النصفية للنوى المدروسة. أظهرت النتائج أن لوغاريتم العمر النصفية يزداد مع زيادة عدد النيوترونات (N) للنوى جميعها عدا التي تمتلك أعداداً سحرية في عددها الذري (Z) أو عددها النيوتروني (N) أو كليهما، كما بينت الدراسة بأن زيادة عدد النيوترونات إلى عدد البروتونات كنواة الرصاص $^{208}Pb_{126}$ (التي تمتلك أعداداً سحرية مزدوجة) له تأثير في خواص انحلال ألفا. أشارت النتائج بشكل عام إلى أن القوى الباعثة لجسيمات ألفا بطاقات انحلال كبيرة تكون ذات أعمار نصفية قصيرة. تم الحصول على معادلات ملائمة تربط ما بين القيم العملية والنظرية للوغاريتم العمر النصفية للنماذج جميعها. وفي إطار تطبيقات انحلال جسيمات ألفا في التكنولوجيا أظهرت النتائج بأن القدرة الناتجة لوحدة الكتلة ($\frac{watt}{gm}$) تزداد طردياً بزيادة طاقة جسيمة ألفا المنحلة بمعدل ثابت. تم الحصول على معادلات ملائمة تربط ما بين القيم التجريبية والنظرية للوغاريتم العمر النصفية للنماذج جميعها.

المحتويات

عنوان الفقرة		
الملخص		
المحتويات		
قائمة الأشكال		
قائمة الجداول		
قائمة الرموز		
الصفحة	الفصل الأول (مقدمة تاريخية)	البند
1	مقدمة تاريخية	1-1
4	الأعمال السابقة	1-2
7	الهدف من الدراسة	1-3
الصفحة	الفصل الثاني (مفاهيم نظرية)	البند
9	عدم استقرارية النوى الكبيرة	2-1
10	عمر النصف لانحلال ألفا	2-2
11	النشاط الإشعاعي	2-3
11	سلاسل النشاط الإشعاعي	2-3-1
14	تطبيقات انحلال ألفا	2-4
الصفحة	الفصل الثالث (وصف النماذج المتداولة والانموذج المقترح)	البند
17	أنموذج الجسيم الواحد ونظرية انبعث جسيمة ألفا	3-1
21	تحويلات أنموذج الجسيم الواحد	3-2
21	أنموذج وابسترا (W.M)	3-3
22	أنموذج تاجيبيرا ونورميا (T.N.M)	3-4
22	أنموذج كيلر ومونزل (K.M.M)	3-5
22	أنموذج هورنشج (H.M)	3-6
23	أنموذج كورا (K.M)	3-7
23	أنموذج روير (R.M)	3-8
24	أنموذج فراس وميان (F.M.M)	3-9
23	تحديد الانحراف عن معدل الجذر التربيعي والانحراف المعياري ومعامل التوافق للنماذج المتداولة وانموذج فراس وميان	3-10
25	منحنيات المعايرة ما بين القيم العملية والنظرية للوغاريتم العمر النصفى للنوى المدروسة	3-11
25	تحديد القدرة الناتجة عن انحلال جسيمات ألفا	3-12
الصفحة	الفصل الرابع (النتائج والمناقشة)	البند
27	تحديد لوغاريتم عمر النصف للنماذج المتداولة وانموذج فراس وميان	4-1
28	حسابات الانحراف عن معدل الجذر التربيعي (rmsd) والانحراف المعياري (σ)	4-2
29	علاقة لوغاريتم عمر النصف مع عدد النيوترونات	4-3

33	علاقة لو غاريتم عمر النصف مع طاقة انحلال الفا	4-4
37	علاقة معامل التوافق بين القيم العملية والنظرية للوغاريتم العمر النصفى مع العدد الذري للنوى	4-5
41	علاقة لو غاريتم عمر النصف مع نسبة زيادة النيوترونات $\left(\frac{N-Z_p}{A}\right)$	4-6
42	علاقة النسبة بين لو غاريتم عمر النصف النظري إلى العملي مع العدد الكتلي للنوى قيد الدرس طبقاً لانموذج فراس وميان (F.M.M)	4-7
43	منحنيات المعايرة ما بين القيم العملية والنظرية للوغاريتم العمر النصفى للنوى المدروسة	4-8
47	علاقة القدرة الناتجة طبقاً لطاقة جسيمات ألفا المنحلة	4-9
49	الاستنتاجات	4-10
50	المقترحات	4-11
المصادر		
الملاحق		

قائمة الأشكال

رقم الشكل	عنوان الشكل	الصفحة
(1-1)	نوع من الانحلال العنقودي	4
(2-1)	استقرار النوى الكبيرة	9
(2-2)	انحلال ألفا	10
(2-3)	سلسلة الثوريوم	12
(2-4)	سلسلة النبتونيوم	12
(2-5)	سلسلة اليورانيوم	13
(2-6)	سلسلة الاكتينيوم	13
(3-1)	نظرية انبعث جسيمات ألفا	17
(3-2)	مخطط لأنموذج النفق لانحلال ألفا	18
(4-1)	علاقة لو غاريتم عمر النصف مع عدد النيوترونات N للنوى الزوجية - الزوجية حسب أنموذج $(O.B.M_1)$	29
(4-2)	علاقة لو غاريتم عمر النصف مع عدد النيوترونات N للنوى الزوجية - الزوجية حسب أنموذج $(O.B.M_2)$	29
(4-3)	علاقة لو غاريتم عمر النصف مع عدد النيوترونات N للنوى الزوجية - الزوجية حسب أنموذج $(O.B.M_3)$	30
(4-4)	علاقة لو غاريتم عمر النصف مع عدد النيوترونات N للنوى الزوجية - الزوجية حسب أنموذج $(W.M)$	30
(4-5)	علاقة لو غاريتم عمر النصف مع عدد النيوترونات N للنوى الزوجية - الزوجية حسب أنموذج $(T.N.M)$	30
(4-6)	علاقة لو غاريتم عمر النصف مع عدد النيوترونات N للنوى الزوجية - الزوجية حسب أنموذج $(K.M.M)$	31
(4-7)	علاقة لو غاريتم عمر النصف مع عدد النيوترونات N للنوى الزوجية - الزوجية حسب أنموذج $(H.M)$	31
(4-8)	علاقة لو غاريتم عمر النصف مع عدد النيوترونات N للنوى الزوجية - الزوجية حسب أنموذج $(K.M)$	31
(4-9)	علاقة لو غاريتم عمر النصف مع عدد النيوترونات N للنوى الزوجية - الزوجية حسب أنموذج $(R.M)$	32
(4-10)	علاقة لو غاريتم عمر النصف مع عدد النيوترونات N للنوى الزوجية - الزوجية حسب أنموذج $(F.M.M)$	32
(4-11)	علاقة لو غاريتم عمر النصف مع طاقة جسيمة ألفا (Q) للنوى الزوجية - الزوجية حسب أنموذج $(O.B.M_1)$	33
(4-12)	علاقة لو غاريتم عمر النصف مع طاقة جسيمة ألفا (Q) للنوى الزوجية - الزوجية حسب أنموذج $(O.B.M_2)$	34
(4-13)	علاقة لو غاريتم عمر النصف مع طاقة جسيمة ألفا (Q) للنوى الزوجية - الزوجية حسب أنموذج $(O.B.M_3)$	34
(4-14)	علاقة لو غاريتم عمر النصف مع طاقة جسيمة ألفا (Q) للنوى الزوجية - الزوجية حسب أنموذج $(W.M)$	34

35	علاقة لوغاريتم عمر النصف مع طاقة جسيمة ألفا (Q) للنوى الزوجية – الزوجية حسب نموذج (T.N.M)	(4-15)
35	علاقة لوغاريتم عمر النصف مع طاقة جسيمة ألفا (Q) للنوى الزوجية – الزوجية حسب نموذج (K.M.M)	(4-16)
35	علاقة لوغاريتم عمر النصف مع طاقة جسيمة ألفا (Q) للنوى الزوجية – الزوجية حسب نموذج (H.M)	(4-17)
36	علاقة لوغاريتم عمر النصف مع طاقة جسيمة ألفا (Q) للنوى الزوجية – الزوجية حسب نموذج (K.M)	(4-18)
36	علاقة لوغاريتم عمر النصف مع طاقة جسيمة ألفا (Q) للنوى الزوجية – الزوجية حسب نموذج (R.M)	(4-19)
36	علاقة لوغاريتم عمر النصف مع طاقة جسيمة ألفا (Q) للنوى الزوجية – الزوجية حسب نموذج (F.M.M)	(4-20)
37	علاقة معامل التوافق (A.F) مع العدد الذري Z للنوى الزوجية – الزوجية حسب نموذج (O.B.M ₁)	(4-21)
38	علاقة معامل التوافق (A.F) مع العدد الذري Z للنوى الزوجية – الزوجية حسب نموذج (O.B.M ₂)	(4-22)
38	علاقة معامل التوافق (A.F) مع العدد الذري Z للنوى الزوجية – الزوجية حسب نموذج (O.B.M ₃)	(4-23)
38	علاقة معامل التوافق (A.F) مع العدد الذري Z للنوى الزوجية – الزوجية حسب نموذج (W.M)	(4-24)
39	علاقة معامل التوافق (A.F) مع العدد الذري Z للنوى الزوجية – الزوجية حسب نموذج (T.N.M)	(4-25)
39	علاقة معامل التوافق (A.F) مع العدد الذري Z للنوى الزوجية – الزوجية حسب نموذج (K.M.M)	(4-26)
39	علاقة معامل التوافق (A.F) مع العدد الذري Z للنوى الزوجية – الزوجية حسب نموذج (H.M)	(4-27)
40	علاقة معامل التوافق (A.F) مع العدد الذري Z للنوى الزوجية – الزوجية حسب نموذج (K.M)	(4-28)
40	علاقة معامل التوافق (A.F) مع العدد الذري Z للنوى الزوجية – الزوجية حسب نموذج (R.M)	(4-29)
40	علاقة معامل التوافق (A.F) مع العدد الذري Z للنوى الزوجية – الزوجية حسب نموذج (F.M.M)	(4-30)
41	علاقة لوغاريتم عمر النصف مع نسبة زيادة النيوترونات $\left(\frac{N-Z_p}{A}\right)$ للنوى الزوجية – الزوجية حسب نموذج (F.M.M) وللنوى ضمن المدى $82 \leq Z \leq 90$	(4-31)
42	علاقة لوغاريتم عمر النصف مع نسبة زيادة النيوترونات $\left(\frac{N-Z_p}{A}\right)$ للنوى الزوجية – الزوجية حسب نموذج (F.M.M) وللنوى ضمن المدى $92 \leq Z \leq 102$	(4-32)
43	علاقة النسبة بين لوغاريتم عمر النصف النظري الى العملي مع العدد الكتلي A	(4-33)

44	علاقة لو غاريتم عمر النصف العملي والنظري حسب أنموذج (O.B.M ₁)	(4-34)
44	علاقة لو غاريتم عمر النصف العملي والنظري حسب أنموذج (O.B.M ₂)	(4-35)
44	علاقة لو غاريتم عمر النصف العملي والنظري حسب أنموذج (O.B.M ₃)	(4-36)
45	علاقة لو غاريتم عمر النصف العملي والنظري حسب أنموذج (W.M)	(4-37)
45	علاقة لو غاريتم عمر النصف العملي والنظري حسب أنموذج (T.N.M)	(4-38)
45	علاقة لو غاريتم عمر النصف العملي والنظري حسب أنموذج (K.M.M)	(4-39)
46	علاقة لو غاريتم عمر النصف العملي والنظري حسب أنموذج (R.M)	(4-40)
46	علاقة لو غاريتم عمر النصف العملي والنظري حسب أنموذج (K.M)	(4-41)
46	علاقة لو غاريتم عمر النصف العملي والنظري حسب أنموذج (F.M.M)	(4-42)
47	علاقة لو غاريتم عمر النصف العملي والنظري حسب أنموذج (H.M)	(4-43)
48	علاقة لو غاريتم القدرة بوحدات $(\frac{watt}{gm})$ مع طاقة انحلال جسيمات ألفا بوحدات (MeV)	(4-44)

قائمة الجداول

رقم الجدول	عنوان الجدول	الصفحة
(4-1)	قيم الانحراف عن معدل الجذر التربيعي (rmsd) وقيم الانحراف المعياري (σ) للنماذج جميعها	28
(4-2)	منحنيات المعايرة	43

قائمة الرموز

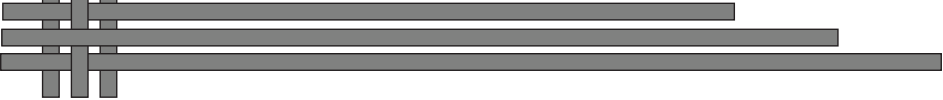
الرمز	التفاصيل
Z_p	العدد الذري للنواة الأم
Z_d	العدد الذري للنواة الوليدة
A	العدد الكتلي
Q_α	طاقة جسيمة ألفا
T	عمر النصف لانحلال ألفا
N	عدد النيوترونات
WKB	تقريب (Wentzel ,Kramera and Brillouin)
ρ	التوزيع الشحني للنواة
HF	عامل الإعاقه
LDM	أنموذج قطرة السائل
CPPM	أنموذج كولوم وتقريب الجهد
DDM ₃ Y	أنموذج تأثير التفاعل المعتمد على الكثافة
VSS	صيغة Viola ,Seaborg ,Sobiczewski
DDCM	أنموذج العقنود المعتمد على الكثافة
LWM	طريقة تحديد الأوزان الإحصائية
rmsd	الانحراف عن معدل مربع الجذر التربيعي
σ	الانحراف المعياري
A.F	معامل التوافق
\bar{v}	ضديد النيترينو
β^-	انحلال بيتا السالب
λ	ثابت الانحلال
W	وزن النظرير
N_{av}	عدد افوكادرو
RBS	جهاز مطيافية استطرارة رذرفورد
ΔT	الطاقة المنتقلة من جسيمة ألفا إلى الهدف
β^+	انحلال بيتا الموجب
R	نصف قطر النواة
F	احتمالية الانحلال في وحدة الزمن
P	احتمالية اختراق حاجز الجهد
v	سرعة جسيمة ألفا
A_d	العدد الكتلي للنواة الوليدة

العدد الكتلي لجسيمة ألفا	A_α
العدد الموجي داخل حاجز الجهد	K
ارتفاع حاجز الجهد الكولومي	B
معامل كامو	G
نسبة زيادة النيوترونات	$\left(\frac{N-Z_p}{A}\right)$
أنموذج الجسيم الواحد	(O.B.M ₁)
أنموذج واينترا	(W.M)
أنموذج تاجيبيرا ونورميا	(T.N.M)
أنموذج كيلر ومونزل	(K.M.M)
أنموذج هورنثنج	(H.M)
أنموذج كورا	(K.M)
أنموذج روير	(R.M)
أنموذج فراس وميان	(F.M.M)
القدرة	P



الفصل الأول

الفصل



الفصل الأول

Historical Preface

1-1 مقدمة تاريخية:

اسهمت دراسة العناصر المشعة وتطبيقاتها بوصفها مصادر للطاقة العالية مثل نواة الهيليوم والالكترونات في تطوير فيزياء الكم.

منحت جائزة نوبل الأولى في الفيزياء في عام 1901 إلى ويليام رونتجن لاكتشافه في 8 نوفمبر 1895 أشعة الاختراق (x-ray). خلال دراسته للزجاج المتفلور من أنبوبة الأشعة الكاثودية (Lawson, 1999).

في أوائل عام 1896 في باريس، كان عالم الطبيعة الفرنسي هنري بيكريل، يجري تجاربه على عدد من المواد الفسفورية (وهي المواد التي تتوهج لبرهة بعد تعريضها لضوء الشمس أو أي مصدر لإشعاعات ضوئية). وبعد عدة تجارب اكتشف العالم نفسه شيئاً أكثر غرابية، فقد لاحظ أن ملح اليورانيوم يمكن أن يطلق إشعاعاً له قوة نفاذ أشد في حالة عدم تعريضه لضوء الشمس، أي انه يطلق الإشعاع من تلقاء نفسه (مايرهوف، 1982).

بعد ذلك وفي عام 1898 بدأت ماري كوري دراستها في النشاط الإشعاعي مع زوجها بيير كوري، إذ اكتشفت أن عنصر الثوريوم يطلق مثل اليورانيوم إشعاعاً دون أن يتطلب تعريضه لأي مصدر طاقة آخر. وكان هذا دليلاً على أن هذا النشاط ليس صفة اليورانيوم بمفرده وقد أطلق على هذا النشاط تسمية (النشاط الإشعاعي). إذ كانت ماري كوري الأولى التي أعطت الإشعاع هذا الاسم.

أعلن رذرفورد عام 1899 أن الإشعاعات المؤينة تشمل على الأقل اثنين من أنواع الإشعاع بالاعتماد على الطاقة وأطلق رذرفورد اسم أشعة ألفا على الإشعاع ذي الطاقة الواطنة، وأشعة بيتا على الإشعاع ذي الطاقة العالية (Rutherford, 1899).

شاهدت مدام كوري فيما بعد بأن أشعة ألفا تختلف عن أشعة رونتجن حيث تكون ذات طاقة أقل في عبور المواد لذلك اقترحت عام 1900 بأن أشعة ألفا كانت عبارة عن جسيمات ثقيلة. عززت هذه النتيجة أولاً بعمل ستروث Strutt عام 1901 و Crookes عام 1902 في إنتاج التآين في الغازات. وظهر أخيراً بشكل واضح من رذرفورد عام 1903 من خلال قياسات الانحراف لأشعة ألفا في المجالات المغناطيسية والكهربائية. إذ استنتج Strutt في 1901 بأن تلك الأشعة تكون مشحونة بشحنة موجبة وسريعة (Lawson, 1999).

إن نسبة الشحنة إلى الكتلة لأشعة ألفا قيست من خلال انحرافها في المجال المغناطيسي، وفي ذلك الحين اكتشفت أشعة القناة "Canal rays" عام 1886 من Goldstein.

وهي عبارة عن جسيمات موجبة تنبعث خلال الفجوات في القطب السالب من أنبوب التفريغ الغازي وتعجل بواسطة فولتية عالية. ومن خلال قياس نسب الشحنة إلى الكتلة اقترحت ماري كوري عام 1903 بأن كتلة جسيمات ألفا لها نفس المقدار لذرة هيدروجين واحدة. بعد ذلك علق رذرفورد بأن جسيمة ألفا تتضمن مادة معروفة هي أما ذرة هيدروجين أو ذرة هيليوم (Lawson, 1999).

حققت فرضية الهيليوم من Soddy و Ramsay بواسطة الحصول على خطوط الطيف للهيليوم من الغاز المنتج بواسطة مركب الراديوم (Ramsy & Soddy, 1903).

إن تجارب انحراف الجسيمات المشحونة في المجالات الكهرومغناطيسية (خصوصاً ماكينزي Mackenzie) بينت بأن النوى الباعثة لجسيمات ألفا تؤدي إلى إنتاج خليط متجانس من مجاميع جسيمات ألفا، كل مجموعة لها سرعة مختلفة (Mackenzie, 1905).

بينت مدام كوري بعد ذلك بأن جسيمات ألفا المنبعثة من مصدر بولونيوم رقيق لديها مدى محدد Curie (1900).

وبين العالم براك Bragg أن العمل الذي قامت به مدام كوري يؤسس مفهوماً جديداً لإحدى مميزات جسيمات ألفا وهو المدى أو معدل المدى الذي يعتمد على طاقة جسيمة ألفا المنبعثة. وقد حدد العالم رذرفورد عام 1907 العلاقة بين مدى جسيمات ألفا والعمر النصف. وقد لاحظ العالمان كايكر ونوتال عام (1911) العلاقة المنتظمة التي تربط لو غاريتم ثابت الانحلال مع لو غاريتم المدى (Mladjenovic , 1992).

قدم رذرفورد مفهوم النواة للذرة على أنها مركز للكتلة وتمتلك شحنة موجبة عام 1911 كان هذا بسبب تجارب استطرارة أشعة ألفا التي بينت بأن رقائق الذهب يمكن أن تعكس أشعة ألفا (Rutherford , 1911). وبالاستناد الى فكرة رذرفورد بنى العالم بور أنموذجاً ذرياً مشهوراً سمي بأنموذج بور عام 1913 (Bohr, 1913).

وبعد تطور ميكانيك الكم، استطاع العلماء Gamow و Gurney و Condon عام 1928 تفسير نظرية انبعاث جسيمات ألفا التي بإمكانها اختراق منطقة ذات جهد اعلى من طاقتها الحركية. وبذلك تمكنوا من حل اللغز الذي حير العلماء في حينها فيما يتعلق بكيفية قدرة جسيمة ألفا على مغادرة النوى الثقيلة. وحصلوا على توافقات جيدة لاعتمادية ثابت الانحلال على طاقة الانحلال الذي يوضح الميزة الرئيسية لعلاقة كايكر - نوتال (Wong, 1990).

وبعد ذلك نجحت كوري في اكتشاف (البولونيوم) وكانت تسميته نسبة إلى بولندا الدولة التي ولدت فيها ماري كوري. وتلا ذلك نجاحها مع زوجها في فصل المادة المشعة(الراديوم) من خاماته. وشاهدت بان فعالية الراديوم لكل غرام أكثر بمليون مرة من اليورانيوم وقد اثبت الراديوم انه عظيم النفع في البحث العلمي لدراسة طبيعة الذرات، وفي المجال الطبي، لعلاج مرض السرطان(ماير هوف، 1982).

وُدُرِسَ انحلال ألفا في العقود الأخيرة على نطاق واسع من الخمسينات إلى الستينات من القرن الحالي، بعد ذلك كان هناك استقرار قليل في مجال نظرية انحلال ألفا حتى مدة قريبة. أصبح هذا المجال مستهلك الأغراض بسبب أن اغلب الأشياء التي يمكن أن تقاس أو تحسب بأجهزة تلك المدة كانت قد أنجزت.

وللتقدم التكنولوجي الحاصل في وقتنا الراهن ولكمية البيانات المتركمة فضلاً عن استكشاف عناصر جديدة تمتلك $Z > 92$ (عناصر الاكتينيدات التي تقع بعد اليورانيوم) فقد اصبح من الضروري العودة لنظريات انحلال ألفا واستكشاف نماذج وصيغ شبه تجريبية تحكم تلك الانحلالات للوصول إلى أعمار أنصاف النوى المكتشفة ومقارنتها مع القيم التجريبية.

تناولت نظريات انحلال ألفا في العقود الأخيرة التركيب الدقيق (Fine Structure) الذي يتضمن حالات متهيجة في نوى الرصاص ^{82}Pb وفي النوى شبه الاهتزازية، فضلاً عن العناصر الثقيلة التي يطلق عليها الباعثة لجسيمات ألفا (Peltonen,2009).

وستنطرق الى عدد من التعاريف والمصطلحات التي لها صلة وثيقة فيما يخص نظرية انبعاث الفا الى جانب النماذج التي وصفت ذلك الانبعاث.

تقريب WKB: (Wentzel, Kramers and Brillouin) يستعمل هذا التقريب للحصول على حل لمعادلة شرودنكر التفاضلية ببعد واحد غير المعتمدة على الزمن، وفي هذه الحالة تكون التطبيقات الرئيسية لمعادلة شرودنكر هي حساب طاقات الترابط ونسبة العبور النقي خلال حواجز الجهد (Chowdhury et al., 2006).

الأنموذج المايكروسكوبي Microscopic Model: يتم التعامل مع مشكلة وجود نظام نووي متعدد النيكلونات والجسيمات من خلال البدء مع تفاعل جسيمين أو ثلاثة جسيمات، وبذلك يكون من الممكن الوصول إلى الخواص الجماعية للنظام بسهولة من خلال إجراء عملية التكامل المبنية على خواص النيكلونات المنفردة (Peltonen, 2009).

الأنموذج الماكروسكوبي Macroscopic Model: يتضمن هذا الأنموذج معاملة النيكلونات والجسيمات ليس على أساس أنها جسيمات منفردة بل على أنها كتلة متماسكة تمتلك خواص جماعية كخواص الكثافة النووية والتوزيع الشحني للنواة (ρ) (Peltonen, 2009).

عامل الإعاقَة HF Hindrance factor: يحدث انحلال جسيمات ألفا عن طريق مرحلتين إذ تتضمن المرحلة الأولى حدوث الانحلال قبل التشكيل (قبل تشكيل جسيمة ألفا داخل النواة) والمرحلة الثانية هي اختراق حاجز الجهد الذي يعيق انحلال جسيمة ألفا كلاسيكيا. يُعَبَّر عن انحلال ألفا قبل التشكيل في عدد من النماذج النووية البسيطة على أنه تردد إخراج Knocking frequency أو ما يسمى بتردد الضربة (Peltonen, 2009).

أنموذج قطرة السائل (LDM Liquid Drop Model): درس الباحثان Wheeler&Bohr في عام 1939 عملية الانشطار النووي بالاعتماد على أنموذج قطرة السائل الذي يعالج النواة كقطرة سائل مشحونة بدون أي تركيب، وان الشد السطحي للقطرة أكبر من قوة التنافر الكولومي بين النيكلونات بسبب البروتونات، ووجود ارتفاع حاجز الجهد كعامل إعاقَة حيث يحاول منع النواة من الانشطار وان ذلك الحاجز يقترب من قيمة الصفر عندما يكون العدد الذري $Z \geq 10$ (Chowdhury et al., 2006).

أنموذج كولوم وتقريب الجهد (CPPM) Coloumb and Proximity Potential Model: تؤخذ طاقة حاجز الجهد في هذا الأنموذج كمجموع لجهد كولوم والجهد المقرب والجهد الطارد المركزي، ويقلل الجهد المقرب من قيمة ارتفاع حاجز الجهد، واستخدم هذا الجهد لأول مرة من Shi و Swiateck (Santhosh & Biju, 2013).

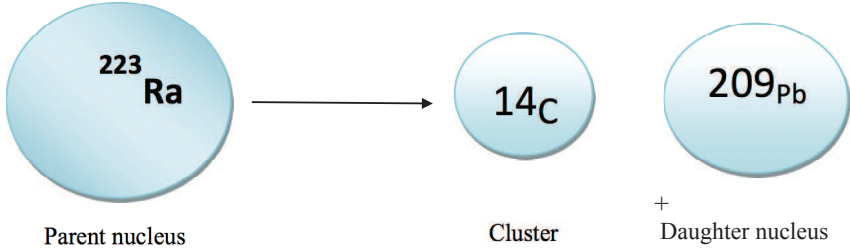
أنموذج تأثير التفاعل المعتمد على الكثافة (DDM₃Y):

Density-Dependent M₃Y effective Interaction:

يعد هذا الأنموذج من النماذج التي تستخدم تفاعل نيكلون- نيكلون في نظرية التفاعل النووي وكذلك تسمى تأثير التفاعل المعتمد على الكثافة، حيث تضبط مركبات هذا التفاعل باستعمال شروط يوكاوا الثلاثة لذلك ترقم M₃ أي تأثير ميشيغان لتمييزه عن بقية التفاعلات المشابهة (Brandan & Satcher, 1997).

صيغة (VSS Viola, Seaborg, Sobiczewski formula): قام هؤلاء الباحثون في عام 1986 بتعميم قانون كايكر – نوتال مع اضافة ثوابت قابلة للتعديل لغرض ايجاد علاقة جديدة حول لوغاريتم عمر النصف وطاقة انحلال ألفا والعدد الذري للنواة الأم. إذ عرفت هذه العلاقة بصيغة Viola-Seaborg-Sobiczewski (Dong & Ren, 2005).

النشاط الإشعاعي العنقودي Cluster radioactivity: جَدَّب النشاط الإشعاعي العنقودي الفيزيائيين العاملين في المجال النووي منذ عام 1980 عندما توقع عدد من الباحثين ان هناك إمكانية تكوّن عناقيد من النيكلونات في النوى الثقيلة التي لها القابلية على الانبعاث التلقائي غير المصحوب بنيوترون، وكان الباحثان (Rose & Jones) في عام 1984 أول من لاحظ الانحلال العنقودي من خلال انبعاث ^{14}C من نواة ^{223}Ra مع النواة الوليدة ^{209}Pb . تلا ذلك العديد من الإشعاعات العنقودية تم الكشف عنها. ومن الجدير بالذكر ان كل العناقيد تكون زوجية -زوجية ماعدا ^{23}F . وان العنقود الأثقل المكتشف حتى الآن هو ^{23}Si . لوحظ بأن الانحلالات ذوات النشاط الإشعاعي العنقودي تتكون في النوى التي تمتلك ($A > 220$) كما تبين في احدي الانحلالات تكوّن عنقود حول النواة الوليدة المتمثلة بـ ^{208}Pb التي تمتلك اعدادا سحرية مزدوجة ($Z=82$) و ($N=126$) يوضح الشكل (1-1) نوع من الانحلال العنقودي (Girija & Joseph, 2013).



الشكل (1-1) نوع من الانحلال العنقودي (Girija & Joseph, 2013)

1-2 الأعمال السابقة:

هناك العديد من الدراسات التي اعتنت بعملية حساب أعمار أنصاف النوى الباعثة لجسيمات ألفا. اقترح الباحثان (Keller & Munzel, 1972) صيغة شبيهة تجريبية لحساب أعمار أنصاف النوى الباعثة لجسيمات ألفا، إذ تحتوي هذه الصيغة على ثابت يتغير حسب طبيعة ونوع النوى المستخدمة فضلاً عن استخدام قيم العدد الذري للنواة الوليدة. وتوصلا إلى توافق جيد مع القيم العملية للعمر النصف. توصل (Hornshoj *et al.*, 1974) إلى صيغة متطورة لحساب أعمار أنصاف انحلال النوى الباعثة لجسيمات ألفا إذ تحوي هذه الصيغة على متغيرات تتغير وفقاً لنوع النواة وتعتمد بالأساس على العدد الذري والكتلي للنواة الوليدة. وكان هناك توافق مقبول بين القيم النظرية والعملية.

قدر الباحث (Royer, 2000) الأعمار النصفية للنوى الزوجية -الزوجية الباعثة لجسيمات ألفا من خلال احتمالية اختراق حاجز الجهد في إطار تقريب (WKB) بالنسبة للانحلال التلقائي اللامتناظر باستخدام قيم طاقات ألفا (Q_α) العملية ضمن نموذج قشرة السائل واستنتج الباحث بأن هناك تطابقاً معقولاً بين القيم النظرية والعملية.

درس الباحث (Koura, 2002) الأعمار النصفية لنوى باعثة لجسيمات ألفا باستخدام صيغتين شبيهة تجريبيتين إحداهما هي صيغة (Viola-Seaborg) والثانية مستنبطة من احتمالية الاختراق مع إهمال بعض الحدود ذات الرتب العالية، واستخدام قيم (Q_α) المأخوذة من صيغة [Kuty, Koura, Uno, Tachibana, Yamada] التي تستخدم جهد جسيم منفرد لنوى كروية فضلاً عن حساب الأعمار النصفية لنوى ذات انشطارات تلقائي بعد حصوله على طاقة القشرة من خلال صيغة Kuty واستنتج أن العمر النصفية للنوى ذات الانشطارات التلقائي يكون طويلاً جداً أما النوى التي تحتوي على نيوترون ناقص فمن المتوقع أن يكون العمر النصفية قصيراً بسبب انخفاض ارتفاع حاجز الجهد وضيق عرضه.

قام (Zhang *et al.*, 2006) بحساب الأعمار النصفية للنظائر الحديثة ذات الأعداد الذرية الزوجية (118 and 112, 114, 116) من خلال مسار الشكل شبيه الجزئسي (quasi-molecular shape path) باستعمال قيم طاقات ألفا العملية فضلاً عن استخدام نموذج قشرة السائل. قورنت النتائج مع الحسابات التي تستخدم تأثير التفاعل المعتمد في الكثافة (DDM_3Y) فضلاً عن حسابات صيغة (VSS) واستنتج بأن هناك تقارباً لقيم أعمار النصف النظرية والعملية ولجميع نماذج المستخدمة.

ناقش (Chowdhury *et al.*, 2006) الحسابات النظرية للأعمار النصفية لنظائر ثقيلة جداً (Super heavy) التي تمتلك أعداد ذرية ما بين $Z=102-120$ بواسطة نظرية العبور النفقي من تعاملات كمية في إطار تقريب WKB المعتمد على احتمالية الاختراق فضلاً عن حسابات تأثير التفاعل المعتمد في الكثافة (DDM_3Y) باستخدام قيم (Q_α) المتاحة عملياً. أشارت نتائجهم إلى أن هناك توافقاً جيداً بين القيم العملية والنظرية ولمدى واسع من البيانات.

حسب (Kondev et al., 2007) العمر النصفى لانحلال ألفا لنظير السماريوم $^{246}_{96}\text{Cm}$ عند انحلاله من نواة الكاليفورنيوم الأم $^{250}_{98}\text{Cf}$ ، كما حددوا قيم احتماليات تلك الانبعاثات بصورة دقيقة وقورنت نتائجهم مع دراسات سابقة.

حدد (Dong et al., 2008) الأعمار النصفية للانحلال لعدد من النظائر ذات العدد الذري ($Z=113$) باستخدام نموذج قطرة السائل (Liquid Drop Model)(LDM) الذي يضم تأثيرات التقريب وجهد الطرد المركزي فضلاً عن نموذج العقود. استنتجوا بأن الأعمار النصفية لانحلال ألفا حساسة جداً إلى قيم الزخوم الزاوية لتلك النظائر فضلاً عن إمكانية استخدام صيغتهم المقترحة في تفسير الارتباط الوثيق بين عمر النصف للانحلال مع قيم الزخم الزاوي.

اقترح (Royer & Zhang., 2009) صيغاً شبه تجريبية لتحديد الأعمار النصفية لانحلال ألفا ضمن تقريبات WKB المعتمدة على احتمالية الاختراق، وقرن نتائجهم مع نتائج صيغ مقترحة سابقاً تعتمد فقط على شحنة وطاقة جسيمات ألفا فضلاً عن إجراء مقارنات أخرى مستندة إلى تأثير التفاعل المعتمد في الكثافة (DDM_3Y) وصيغة (VSS) ووجدوا توافقات جيدة تسمح بعمل توقعات بالأعمار النصفية لنوى ثقيلة جداً مجهولة.

وجد (Zhang et al., 2009) بأن صيغته المقترحة تتحرى بشكل منتظم الأعمار النصفية لانحلال ألفا وذلك من خلال انتزاع جسيمة ألفا قبل تشكيلها في النواة الأم الأثقل، وبهذا استطاع تعزيز النظرية القائمة على أساس أن الانحلال يحصل قبل التشكيل.

ناقش (Santhosh et al., 2009) الأعمار النصفية لانحلال ألفا وخصائص 190 نواة زوجية- زوجية لعناصر ثقيلة جداً ضمن المدى $100 \leq Z \leq 120$ طبقاً لنموذج كولوم وتقريب الجهد (CPPM) ومقارنتها مع صيغة (VSS) ووجدوا توافقاً جيداً مع القيم العملية.

توصل (Royer et al., 2010) إلى معادلات شبه تجريبية من خلال عملية الملاءمة التي أجراها على قيم الأعداد الكتلية (A) والأعداد الذرية (Z) وأعداد النيوترونات (N) لـ 344 نظير ثقيل تبدأ من $Z \geq 82$ ، فقد مكنته تلك المعادلات من حساب الأعمار النصفية لتلك النظائر وحسب نوعها سواء أكانت even-even أو even-odd أو odd-odd، كما تمكن من حساب المسافة بين مراكز كتل جسيمات ألفا عند قمة حاجز الجهد فضلاً عن ارتفاعه. أشارت نتائجهم إلى أن هناك تقارباً مقبولاً بين قيمهم والقيم العملية.

توصل (Santhosh et al., 2010) إلى صيغة شبه تجريبية لتقدير الأعمار النصفية للانحلال التلقائي بوصفه أحد أنواع الانحلالات لنوى تمتد من عنصر $^{232}_{90}\text{Th}$ إلى $^{286}_{114}$ وقرن نتائجهم مع صيغة أخرى تابعة لدراسة سابقة تقوم بحساب الأعمار النصفية لانحلال ألفا لنوى ثقيلة وثقيلة جداً ضمن مدى ($90 \leq Z \leq 122$) باستخدام نموذج كولوم وتقريب الجهد (CCPM)، إذ أشارت نتائجهم بأن انحلال ألفا هو المهيمن في منطقة النظائر الثقيلة، والانتشار التلقائي هو المهيمن في منطقة النوى الأثقل.

اقترح (Ni & Ren , 2011) نموذجاً نظرياً لتحديد الأعمار النصفية لنوى زوجية - زوجية معتمداً على معادلة شرودنكر المعتمدة على الزمن واستنتج بأن هناك تقارباً مع القيم العملية كما توصل إلى إمكانية استخدام نموذجهم في استقراء الأعمار النصفية للنوى الثقيلة جداً، كما وجد بأن انتقال جسيمات ألفا إلى مستويات طاقة عالية أثناء انحلالها يُعد أداة فعالة لاستقراء الطيف الطافي إلى جانب قيمة التشوه للنوى الوليدة.

قدر (Garrote et al., 2011) الأعمار النصفية لانحلال ألفا للنوى الثقيلة جداً ضمن سياق نظرية اختراق حاجز الجهد باستعمال نموذج كولوم وتقريب الجهد (CCPM)، الذي يأخذ التشوه رباعي القطب الكهربائي للنوى بنظر الاعتبار الذي يقلل من ارتفاع وعرض حاجز الجهد وبدوره يقلل من العمر النصفى للنوى.

طبق (Dong et al., 2011) صيغة جديدة للأعمار النصفية لانحلال ألفا من نوع ثقيلة جداً وحديثة الظهور من خلال تطبيق تقريبات وصيغ بسيطة تابعة لنوى تقع في جوار النوى المدروسة كما تناولوا إمكانية تطبيق تقريبات (WKB) المتعلقة بالية العبور النفقي. وحددوا احتمالية اختراق حاجز الجهد باستعمال معادلة شرودنكر واستنتجوا بأن هناك توافقاً جيداً في حساباتهم مع تلك التقريبات.

استخدم (Santhosh *et al.*, 2012) نموذج كولوم وتقريب الجهد (CPPM) في تخمين الأعمار النصفية لعدد من العناقيد المتشكلة من خلال انحلال ألفا المتمثلة $^{233-249}\text{cm}$, $^{202-230}\text{Ra}$, $^{225-242}\text{Np}$, $^{225-244}\text{Pu}$

$^{217-241}\text{U}$, $^{212-238}\text{Pa}$, $^{209-237}\text{Th}$, $^{208-232}\text{Ac}$, $^{199-226}\text{Fr}$, $^{231-246}\text{Am}$ كما قام بحساب العمر النصفية لتفسير الرصاص الذي يمتلك أعداداً سحرية مزدوجة (^{208}Pb)، فضلاً عن بعض النوى المجاورة للنوى المدروسة، استخدم الباحث نفسه صيغة شاملة (Universal formula) المتعلقة بانحلال العناقيد التي تعود للباحث (Poenaru *et al.*, 1986) فضلاً عن تناوله عدداً من قوانين الانحلال الأخرى من أجل المقارنة مع نتائجه ووجد بأن هناك تقارباً معقولاً.

درس (Ni & Ren, 2012) الأعمار النصفية لانحلال ألفا لنوى ثقيلة ضمن مدى $Z \geq N \geq 140$ و90 فضلاً عن نوى ثقيلة جداً ضمن المدى $Z \geq 106$ و $N \geq 160$ باستخدام نموذج العقود المعتمد على الكثافة (DDCM)، ناقش نتائجه مع القيم العملية التي تتضمن تأثيرات القشرة المشوهة (deformed shell effects) في منطقة النوى ذات الكتل الفائقة. ووجد بأن هناك توافقاً.

حدد (Suliman *et al.*, 2012) الأعمار النصفية لتظير البولونيوم $^{214}_{84}\text{Po}$ وتظير الرادون $^{218}_{88}\text{Rn}$ المنحلين من مصدر اليورانيوم $^{230}_{92}\text{U}$ الذي يبعث جسيمات ألفا ويتم كشفها من خلال كاشف الحاجز السطحي الذي يحيط بالمصدر المشع عن طريق تصميم هندسي يدعى (2π) ويتم التعامل مع قاعدة البيانات من خلال نظام رقمي (digital system) مُعد لهذا الغرض ووجد بأن هناك توافقاً مع القيم العملية.

أما (Poenaru *et al.*, 2013) فقد حسب الأعمار النصفية لانحلال ألفا باستخدام نموذج تحليل الانشطار اللامتناظر Analytical Super asymmetric Fission Model (ASAFM) لنوى ثقيلة جداً فضلاً عن حسابه ارتفاع وعرض حاجز الجهد النووي من خلال تقريبات كمية.

طبّق الباحث (Zdeb *et al.*, 2014) علاقة ظواهرية قد اشتقت من قبلهما والتي تخص نظرية انبعث الفا والانحلال العقودي للحصول على الأعمار النصفية للنوى الثقيلة ضمن المدى $100 \leq Z \leq 122$ ، واستنتجوا بأن الأعمار النصفية تقل بزيادة العدد الذري فضلاً عن التقارب مع القيم التجريبية.

تناول الباحث (Pomorski *et al.*, 2015) من خلال نموذج كامو المتضمن ثابت نصف قطر النوى الذي من خلاله يمكن تخمين اعمار انصاف النوى المنشطرة تلقائياً فضلاً عن النوى الزوجية – الزوجية التي تنحل بانحلال الفا والتي تمتلك اعداد سحرية $Z > 50$.

حسب (Silisteanu & Anghel, 2016) الأعمار النصفية للنظائر الثقيلة التي تنحل بانحلال الفا فضلاً عن النظائر المنشطرة تلقائياً للنواة ^{270}Hs مزدوجة الأعداد السحرية واستنتجوا بان انحلال الفا هو المسيطر للنظائر التي تقع فوق القشرات المغلقة

$$N > 162, Z > 108 \text{ (} ^{226}\text{Sg} = ^{270}\text{Hs} - \alpha \text{)}$$

1-3 الهدف من الدراسة:

تهدف الدراسة إلى تحديد الأعمار النصفية للنوى الزوجية – الزوجية المحصورة ما بين $82 \leq Z \leq 102$ والتي هي $^{186,190,192,194,204,210}_{82}Pb$ ، $^{198,206,210,214,218,222}_{86}Rn$ ، $^{190,194,198,202,204,206,208,210,212,216}_{84}Po$ ، $^{226,228,230,232,234,236,238}_{92}U$ ، $^{218,222,226,228,230,232}_{90}Th$ ، $^{210,212,214,218,222,224,226}_{88}Ra$ ، $^{240,246,248,250,252}_{98}Cf$ ، $^{238,242,244,246,248}_{96}Cm$ ، $^{234,238,240,242,244}_{94}Pu$ ، $^{244}_{94}Pu$ ، $^{252,254,256}_{102}No$ ، $^{246,248,250,252,254,256}_{100}Fm$

وذلك من خلال إعادة الكرة (revisited) لأنموذج الجسيم الواحد المقترح من كروني وكوندن وكامو عام 1928 المعتمد على صيغ كلاسيكية – كمية في توصيف نظرية انبعاث جسيمة ألفا التي تستند الى مبدأ تشكل تلك الجسيمات داخل النواة قبل انحلالها نفيقا بعد اجراء تحويل بسيط على نصف قطر النواة الذي تبين بان له الأثر البالغ على النتائج.

كما تهدف الدراسة الحالية إلى تطبيق نماذج متداولة لعدد من الدراسات السابقة للنوى قيد الدرس وتحديد العمر النصفى لها وبيان مدى إمكانية الاستناد إليها في توصيف نظرية انبعاث ألفا.

كما تتضمن هذه الدراسة اقتراح أنموذج يحوي على علاقة شبه تجريبية مبنية على أساس قاعدة كايكر – نوتال فضلاً عن بعض المعاملات التي تضمنها أنموذج الجسيم الواحد كنصف قطر النواة المتمثل بـ $(2 + 1.08A_d^{1/3})$ فضلاً عن العدد الذري للنواة الوليدة وبتوابت ملائمة معينة كما اضيف الحد المتمثل بنسبة زيادة النيوترونات $(\frac{N-Z_p}{A})$ للعلاقة شبه التجريبية. كما سيتم مقارنة أنموذج فراس وميان مع بقية النماذج المتداولة بالاعتماد على بعض الإجراءات الإحصائية كالانحراف عن معدل مربع الجذر التربيعي (rmsd) والانحراف المعياري (σ) الى جانب معامل التوافق (A.F) للوصول إلى إمكانية جدوى استخدام أنموذج فراس وميان المقترح من قبلنا في توصيف نظرية لانبعث جسيمة ألفا وصولاً إلى تحديد الأعمار النصفية للنوى المدروسة.

كذلك تهدف الدراسة الى ايجاد القدرة الناتجة من انبعاث الفا وبوحدات watt/gm ولجميع النوى قيد الدرس.



الفصل الثاني

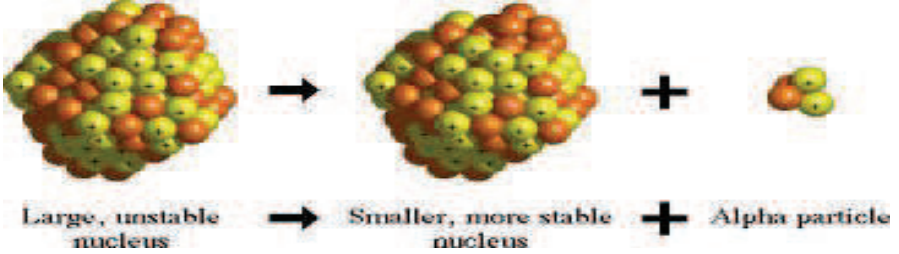
مفاهيم نظرية

الفصل الثاني

The Theoretical Part الجزء النظري

2-1 عدم استقرارية النوى الكبيرة :

أن أكثر العناصر الطبيعية التي تمتلك أعداداً ذرية في المدى من $Z=1$ إلى $Z=82$ تكون مستقرة، في حين أن العناصر التي تمتلك $(Z>82)$ تنتهي بالانحلال. تستطيع النوى الخفيفة الوصول للاستقرار مع أعداد متساوية من البروتونات والنيوترونات. أما في النوى الأثقل فمطلوب نيوترون أكثر. لكي يتغلب على قوة التنافر الكولومي الناتجة من البروتونات. عندما يكون هناك عدم توازن بين البروتونات والنيوترونات يسبب نواة غير مستقرة. ونتيجة لذلك تحدث انتقالات إشعاعية (Greiner,2007). إذ يوضح الشكل (2-1) استقرار النوى الكبيرة بانبعثات جسيمة ألفا.



الشكل (2-1) استقرار النوى الكبيرة (Greiner,2007)

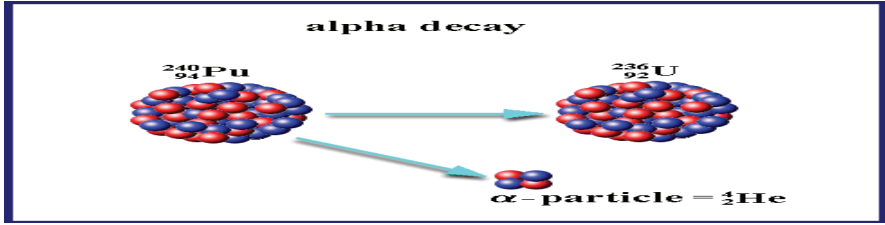
هناك ثلاثة أنواع أساسية من الانتقالات الإشعاعية :

- 1- **انحلال ألفا :** يُعد انحلال ألفا الأكثر شيوعاً في العناصر الثقيلة، ويحدث عندما تبعث نوى مشعة نواة هيليوم مشحونة تتكون من بروتونين ونيوترونين. وأن أكثر النوى التي تكون فيها A أكبر من 150 تكون غير مستقرة تجاه انحلال ألفا، أما النوى الأخف فإن احتمال حصول انحلال ألفا لها قليل جداً، وأن ثابت الانحلال يقل أسياً مع انخفاض طاقة الانحلال. وعندما تقترب A من 150 فإن طاقة الانحلال تصبح عملياً مساوية للصفر، أما النوى التي لها $N=82$ فإنها تمثل حالة خاصة وذلك لأن تأثير القشرة يوفر طاقة انحلال إضافية (Wong,1990).
- 2- **انحلال بيتا :** يُعرف انحلال بيتا على أنه انبعث الكترون من النواة ويمكن للإلكترونات المنبعثة من النواة نفسها أن تكون سالبة وموجبة في بعض الأحيان، وقد اثبت رذرفورد وسودي عام 1903 باستعمال طرائق كيميائية إن العدد الذري للمادة يزداد بمقدار وحدة واحدة عند حدوث انحلال بيتا السالب فيها، ويقال العدد الذري بمقدار وحدة واحدة في حالة انبعث البوزترون الذي اكتشفه كوري وجوليو عام 1943 (مايرهوف،1982).
- 3- **انحلال كاما :** إن الانحلال بأشعة كاما لا يغير العدد الذري والعدد الكتلي للنواة حيث تنتقل من حالة إثارة excited state إلى حالة اقل إثارة ground state وذلك بانبعثات واحدة أو أكثر من أشعة كاما وبطاقات تقرب من 0.1-10MeV، يتضمن انحلال كاما فضلاً عن انحلال بيتا وألفا مصدرا مهما

للمعلومات عن مستويات الطاقة النووية (الطاقة والبرم والتماثل.....الخ) فضلاً عن معلومات عن التركيب النووي.

ومن الجدير بالذكر انه يوجد نوع آخر من الانحلال يسمى بالانشطار التلقائي يتضمن انحلالاً سريعاً للنوى المنفردة إلى نواتين اصغر(شظايا الانشطار). وتستعمل هذه العملية مع العناصر الأثقل من اليورانيوم. وبخاصة العناصر التي لها $Z > 100$ (Cohen,1971).

وبما اننا سنركز في دراستنا على جسيمات ألفا لذلك سنتناولها بشيء من التفصيل. وجسيمة ألفا أو أشعة ألفا على الرغم من تسميتها أشعة إلا أنها عبارة عن نواة ذرة الهيليوم وتتكون من بروتونين ونيوترونين، تتحد في داخل النواة بقوة نووية كبيرة بحيث تعد اشد نوايا العناصر استقراراً وتماسكاً. وذلك لتكونها من 2 بروتون و2 نيوترون وهذه الأربعة يتميزون بأكبر فقد في الكتلة عند اندماجهم لتكوين نواة الهيليوم. ولهذا فان جسيم ألفا ينتج كثيراً في التفاعلات النووية حيث ليس من السهل تحلله أو تفككه. وهو ذو شحنة كهربائية موجبة مقدارها 2 وحدة لاحتوائها على بروتونين وقوة اختراق ضعيفة على النفاذ لتقلها وانخفاض سرعتها (Wong,1990). والشكل (2-2) يمثل انحلال ألفا.

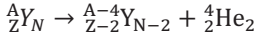


الشكل (2-2) انحلال ألفا (Greiner,2007)

ويمكن إيقافها بقطعة من الورق الخفيف، وتمتاز بقدرة كبيرة على تأين المواد حيث ان معدل التأين في المواد التي تتخللها جسيمات ألفا تتناسب تناسباً طردياً مع مربع شحنة الجسيم (Z^2).

وعملية انحلال ألفا تنتج من اندماج أربعة من ذرات الهيدروجين مكونين نواة ذرة الهيليوم، وخلال ذلك التفاعل يتحول 2 من البروتونات ليصبحا نيوترونين ويتولد جسيم ألفا. يتم هذا التفاعل في الشمس بمعدل كبير يعطي الشمس تلك الطاقة الهائلة التي تسمح باستمرار الحياة على الأرض.

ومن الممكن تمثيل عملية انحلال ألفا بالصيغة الآتية :



حيث ${}^A_Z Y_N$ تمثل النواة الابتدائية (النواة الأم). و ${}^{A-4}_{Z-2} Y_{N-2}$ تمثل النواة الوليدة.

تمثل عملية انبعاث جسيمات ألفا ظاهرة تنافر كولومي يحدث داخل النواة ويصبح ذا أهمية أكبر بالنسبة للنوى الثقيلة لأن قوة الاضطراب الكولومي تزداد مع (Z) وبذلك تكون أسرع من الزيادة في طاقة الربط التي تزداد تقريباً بزيادة عدد النيكلونات (Greiner,2007).

2-2 عمر النصف لانحلال ألفا: Alpha decay half-life

تمتلك بعض النوى القابلة على انحلال جسيمات ألفا. يعتمد ذلك على طاقات الانحلال. وتستند كتل النوى بشكل أساسي الى شنين رئيسين: الأول على كتل النيكلونات التي تكون النواة والثاني : على الطاقة التي تربطهم سوية والممثلة بالقوة النووية. وان النوى التي طاقة ترابطها عالية هي النوى نفسها التي تكون خفيفة الوزن. ويمكن حدوث عملية انحلال جسيمات ألفا عندما يكون مجموع كتل النواة الوليدة وجسيمة ألفا اقل من كتلة النواة الأم. وان آلية انحلال جسيمات ألفا تكون من خلال العبور النفقي خارج النواة الأم عبر حاجز الجهد

طبقا لقوانين ميكانيك الكم كما تم ذلك سابقا في الفقرة (1-1) من الفصل الأول، كما أن تلك المعاملات الكمية لميكانيك الكم توضح عملية الربط بين الطاقة المتحررة من خلال عملية التحلل (Q-Value) وعمر النصف لانشلال ألفا وهذا ما يعرف بقانون كايكر – نوتال .

يتسم تحلل ألفا بما يسمى عمر النصف ويعرف بأنه الوقت الذي يتحلل فيه نصف عدد ذرات ذلك العنصر، وهذا الوقت يعد لبعض العناصر بالسنوات ولعناصر أخرى قد يكون نصف عمرها أياماً أو حتى ثوانٍ قليلة (Cohen,1971).

2-3 النشاط الإشعاعي : Radioactivity

يطلق على النوييدة صفة الاستقرار (stable) إذا بقيت لمدة طويلة من الزمن دون انحللال(decay)، وهناك نوييدات أخرى تتحلل باعثة جسيمات وتتحول إلى نوييدات أخرى تسمى بالنوييدات المشعة (radioactive nuclide). وتُعد ظاهرة النشاط الإشعاعي عملية إحصائية تخضع لقوانين الانحللال(ماير هوف،1982).

2-3-1 سلاسل النشاط الإشعاعي: Radioactivity Series

تتميز جميع النوييات الثقيلة والتقلية جدا بالنشاط الإشعاعي. ويرجع السبب في ذلك إلى زيادة عدد البروتونات في النواة مما يجعل قوى التنافر الكولومي كبيرة. ويؤدي هذا التنافر إلى انحللال هذه النوييات مع إصدار جسيمات ألفا، ونتيجة لانبعاث هذه الجسيمات تزداد نسبة النيوترونات إلى البروتونات في النوييات الوليدة مما يؤدي إلى تحللها مع انبعاث الإلكترونات وتفصل النسبة إلى نسبة الاستقرار ولكنها تكون غير مستقرة بالنسبة لانبعاث جسيمات ألفا وهكذا تستمر السلسلة إلى أن تصل في النهاية إلى نواة مستقرة غالبا ما تكون هي نواة الرصاص (رشيد،1986).

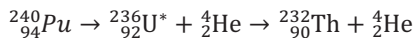
وتوجد في الطبيعة أربع مجاميع تعرف بسلاسل الإشعاع الطبيعية وتكون ذات أعداد كتلية هي $4n+3$ ، $4n$ ، $4n+1$ ، $4n+2$ ، إذ أن n عدد صحيح ولهذا فان جميع جسيمات ألفا المنبعثة من العناصر الثقيلة يمكن أن تعود إلى إحدى السلاسل الأربع.

والسلاسل هي سلسلة الثوريوم، سلسلة اليورانيوم-راديوم، وسلسلة الاكتينيوم. وهناك سلسلة رابعة هي سلسلة النبتونيوم ولكنها لا توجد في الطبيعة حيث أن عمر النصف لأطول عناصرها عمرا هو 2.2×10^6 y وهذا اصغر بكثير من عمر الأرض الذي يقدر بما يقرب من 4.45×10^9 أي أنها تحولت إلى نويات مستقرة منذ مئات الملايين من السنين (Vasilyeva et al.,1996).

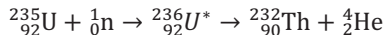
1- سلسلة الثوريوم ($4n$):

إن كل عضو في هذه السلسلة له عدد كتلي A من مضاعفات العدد 4 لذا فان $A=4n$. وان العضو الأطول عمرا في السلسلة هو الثوريوم $^{232}_{90}Th$ ، وله عمر نصفي مقداره 14.1×10^9 y. وان عمر هذه السلسلة أطول من عمر الأرض بما يقرب من أربع مرات. وكما هو متوقع فان عنصر الثوريوم موجود في الطبيعة ويمكن ملاحظة انحللاله في الوقت الحاضر حتى يصل إلى النظير المستقر $^{208}_{82}Pb$.

ويمكن الحصول على الثوريوم $^{232}_{90}Th$ من انحللال النظيرين $^{244}_{92}U$ اللذان ينحللان ببطء حتى يصلا إلى $^{236}_{92}U$ (والذي عمره النصف 23×10^6 y) الذي ينحل بدوره بانحللال ألفا إلى $^{232}_{90}Th$ ، العضو الأطول عمراً في السلسلة وحسب التفاعل الآتي:



وكذلك يمكن الحصول على $^{232}_{90}Th$ عند امتصاص $^{235}_{92}U$ نيوترون 1_0n وتكوين $^{236}_{92}U$ المشع ولكن بدون حدوث انشطار نووي (Krane,1988).

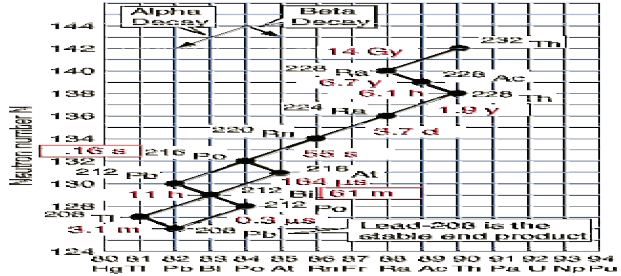


يمثل الشكل(2-3) سلسلة الثوريوم ($4n$).

The Thorium-232 Decay Series

- ^{235}U Series
- ^{232}Th Series
- ^{238}U Series
- ^{237}Np Series

The four natural radioactive series

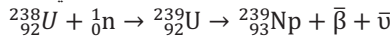


Boxed values for half-life are for multiple decay paths

شكل(2-3) سلسلة الثوريوم (4n) (Harb,2004)

2- سلسلة النبتونيوم $^{237}_{93}\text{Np}$ ($4n+1$):

تعاني سلسلة النبتونيوم انحلال ألفا بنصف عمر $(2.14 \times 10^6 \text{ y})$ ، وبما أن نصف عمر النبتونيوم هو اقل من نصف عمر الأرض $(4.45 \times 10^9 \text{ y})$ ، لذلك لم تبقى أية كمية من النبتونيوم على سطح الأرض ولا توجد سلسلتها في الطبيعة ولكن اكتشفت في أطراف بعض النجوم وتنتهي بنظير البزموت (Harb,2004). ومن الممكن انتاج هذه السلسلة اصطناعيا بتسعين ^{238}U بواسطة النيوترونات البطيئة وذلك حسب التفاعل الآتي:



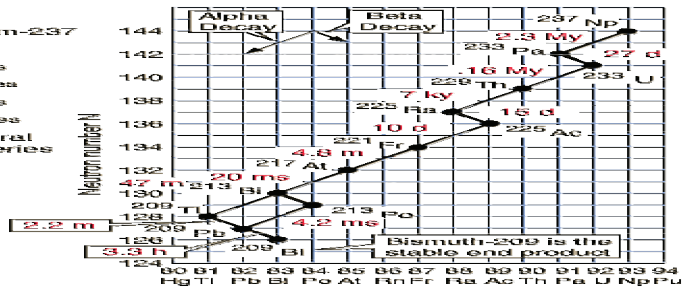
إذن: $\bar{\nu}$ تمثل الالكترين ، $\bar{\nu}$ ضد النيترونو.

كما يمكن الحصول عليها طبيعيا من انحلال ^{241}Pu . هذه السلسلة هي الوحيدة التي لا تنتهي بنظائر الرصاص المستقرة وتنتهي بنظير البزموت $^{209}_{83}\text{Bi}$ المستقر (Krane,1988). يمثل الشكل (2-4) سلسلة النبتونيوم ($4n+1$)

The Neptunium-237 Decay Series

- ^{235}U Series
- ^{232}Th Series
- ^{238}U Series
- ^{237}Np Series

The four natural radioactive series



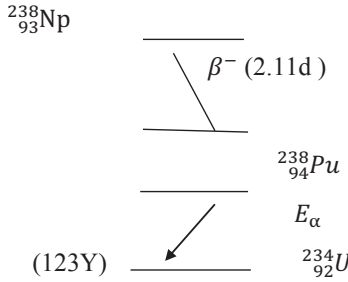
شكل(2-4) يوضح سلسلة النبتونيوم ($4n+1$) (Harb,2004)

3- سلسلة اليورانيوم ($4n+2$):

تسمى سلسلة اليورانيوم أيضاً سلسلة الراديوم، وهي أطول السلاسل عمرا وتكون موجودة في الطبيعة وتبدأ بأثقل عناصرها ^{238}U الذي ينحل بانبعاث جسيمة ألفا متحولاً إلى ثوريوم بعمر نصفي يساوي 4.47×10^9 ، وتستمر عملية الانحلال تلقائياً لتنتهي بعنصر الرصاص (^{206}Pb) المستقر (Harb,2004). يمثل الشكل (2-5) سلسلة اليورانيوم ($4n+2$).

2-4 تطبيقات انحلال ألفا : Alpha decay applications

تمتلك انحلال ألفا ولاسيما للنوى ذوات الاعمار النصفية الطويلة خصائص مهمة جدا وتدخل في كثير من التطبيقات العملية والعلمية، كونها تتبع بطاقات أحادية (إذا كان عمر النصف كبير بما فيه الكفاية) وبمعدل ثابت. يمكن تمثيل عملية الانحلال لنظير البلوتونيوم $^{238}_{94}\text{Pu}$ ($T_{1/2} = 86 \text{ Y}$) (على سبيل المثال) الذي ينتج بواسطة انحلال النبتونيوم $^{230}_{93}\text{Np}$ بعد اقتناصه للنيوترون بالمخطط الانحلاي الآتي (Wiley et al., 2000)

$$^{237}_{93}\text{Np} + \frac{1}{0}\text{n} \rightarrow ^{238}_{93}\text{Np}$$


تمتلك جسيمة ألفا طاقة مقدارها 5.6MeV اثناء الانحلال من النظير في اعلاه وان معدل الانحلال ل 1gm لعنصر البلوتونيوم يكون كالآتي :

$$Activity = \lambda N \dots \dots \dots (2 - 1)$$

إذ إن λ : يمثل معدل الانحلال ويعطى بالعلاقة الآتية:

$$\lambda = \frac{0.693}{t_{1/2}} \dots \dots \dots (2 - 2)$$

كما أن $t_{1/2}$: يمثل العمر النصفى للنواة المنحلة.

أما N : تمثل عدد الذرات التي يحويها غرام واحد من النظير وتعطى بالعلاقة الآتية:

$$N = \frac{w(g) \times N_{av}}{A} \dots \dots \dots (2 - 3)$$

إذ إن: $w(g)$ يمثل وزن النظير. و N_{av} عدد افوكادرو ، و A العدد الكتلي للنظير.

وبعد تعويض المعادلات (2-2) و (2-3) في المعادلة (2-1) بعد ضربها في قيمة Q_α بوحدات الجول لكل نواة نحصل على القدرة الخارجة (Power out) لكل انحلال ولوحد غرام من النظير بوحدات . Watt/gm

ويمكن الاستفادة من تلك القدرة المستمرة عن كل انحلال للعمل بمعدل ثابت حتى أثناء التفريغ، فضلاً عن الفضاءات المبردة بشكل عالٍ جداً.

ولها تطبيقات عديدة كما في جهاز تنظيم ضربات القلب وفي سفن الفضاء (Voyager spacecraft) أثناء تصوير المشتري وزحل وأورانوس.

تترسب طاقة جسيمة ألفا في جهاز تنظيم ضربات القلب على شكل حرارة وتتحول على شكل نبضة كهربائية ويتم ذلك من خلال المحول الحراري الكهربائي الذي يحويه الجهاز.

كما تستعمل انحلالات ألفا كتطبيقات مهمة في كواشف الدخان smoke detectors التي تحوي كمية قليلة جداً من نظير الاميريشيوم ^{241}Am ($t_{1/2} = 433 \text{ y}$) إذ تمتلك جسيمة ألفا طاقة مقدارها (5.485 MeV) أثناء انحلالها.

توطين تلك الجسيمات (تحت الظروف الطبيعية) جزئيات الهواء في الكاشف، إذ تنتقل تلك الايونات إلى الأقطاب وبذلك تكون تياراً كهربائياً داخل الجهاز وان نواتج الاحتراق تتضمن ذرات مؤينة ثقيلة وعند دخولها إلى الكاشف تصطدم مع الايونات المسؤولة عن تكون التيار التي بدورها تنشيط الجهاز إلى إعطاء إنذار بوجود حريق.

ومن تطبيقات انحلال ألفا المهمة جداً في التكنولوجيا الحديثة هي استخدام تلك الطاقة في عمل البطاريات النووية، إذ يتم تحويل الطاقة الناتجة من الانحلال إلى طاقة كهربائية التي تدعى بمولدات المصادر المشعة، وتعتمد الطاقة الناتجة عن هذه المولدات على العمر النصفى للمصدر المشع وبهذا ستكون البطارية النووية أطول عمراً كلما كان العمر النصفى للمصدر المشع طويلاً، إذ إن تلك المولدات تعطي كثافة طاقة عالية ومئات الاضعاف عما تنتجه البطاريات الكيميائية، كما لا تعتمد تلك المولدات على الشروط البيئية لتحملها مدى كبيراً من درجات الحرارة والضغط وبإمكانها العمل في الفضاء أو تحت الماء ولا تحتاج إلى إعادة شحن (Lazerenko *et al*,1988).

ومن الجدير بالذكر ان استطرارة جسيمات ألفا لها تطبيق مهم في جهاز مطيافية استطرارة رذرفورد (RBS)(Rutherford Backscattering spectrometry)، إذ إن جزءاً قليلاً من طاقتها ستنقل إلى النواة المقصوفة بزاوية ($\theta = 180$)، ويمكن تحديد ذلك الفقدان في الطاقة من خلال العلاقة الآتية (Lilley,2001).

$$\Delta T = Q_{\alpha} \left[\frac{4mM}{(m+M)^2} \right] \dots \dots (2 - 4)$$

إذ إن ΔT : تمثل الطاقة المنتقلة من جسيمة ألفا إلى الهدف. و Q_{α} مثل طاقة جسيمة ألفا.
m: كتلة جسيمة ألفا ، M : هي كتلة نواة الهدف.

يمكننا أن نفترض ان نواة الهدف (على سبيل المثال) هي الذهب ^{197}Au ، لذا فان النسبة:

$$\frac{m}{M} = \frac{4}{197} = 0.02$$

وان الطاقة المفقودة بواسطة جسيمات ألفا تساوي الطاقة التي نكتسبها نواة الهدف.

وان استطرارة جسيمة ألفا لها تطبيقات مهمة في التحليلات الكمية والنوعية من خلال تقنية التحليل الطيفي باستخدام جسيمات ألفا (alpha ray spectroscopy) إذ يمكننا الحصول على اطيفاف متعددة كل منها تعود إلى العناصر أو النظائر التي تحويها العينة قيد الدراسة (Wiley *et al*.,2000).

الفصل الثالث

وصف النماذج

المتداولة والانبؤدج

المقترح

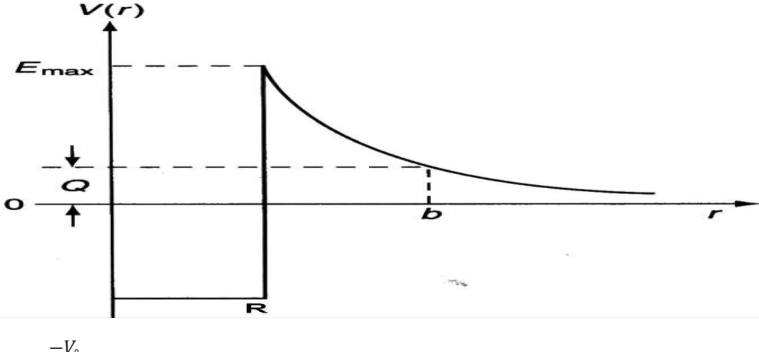
الفصل الثالث

سيتمضمّن هذا الفصل دراسة وتطبيق عدد من النماذج المتداولة العائدة لدراسات سابقة التي بنيت على أساس تحديد مقدار لوغاريتم اعمار أنصاف مختلف النوى الثقيلة ومن ثم برمجتها بلغة ماتلاب وتطبيقها على النوى الزوجية – الزوجية قيد الدرس والمذكورة في الفقرة (1-4) من الفصل الأول. بعدها سيتم اقتراح نموذج خاص في دراستنا الحالية لتطويع معادلة شبه تجريبية مستنبطة من خلال قاعدة كايكر - نوتال وذلك لحساب لوغاريتم اعمار أنصاف النوى الزوجية – الزوجية قيد الدراسة وسيتم مقارنتها مع النماذج المتداولة من خلال الانحراف عن معدل مربع الجذر التربيعي (rmsd)(root mean square deviation) فضلاً عن قيم الانحراف المعياري (σ) إلى جانب معامل التوافق (A.F) (Agreement Factor) فضلاً عن منحنيات المعايرة بين القيم العملية والنظرية للوغاريتم العمر النصفى للنوى قيد الدرس وللنماذج جميعها.

3-1 أنموذج الجسيم الواحد ونظرية انبعاث جسيمة ألفا:

One Body Model and Theory Of Alpha Emission

وضع العالم Gamow ومن قبله كروني Gurney وكوندن Condon عام (1928) بصورة منفصلة وعلى انفراد نظرية عرفت بأنموذج الجسيم الواحد one-body model، حيث افترضوا بأن جسيمات ألفا تتحرك في منطقة كروية تتحدد أبعادها بالنواة الوليدة وتتشكل مسبقاً داخل النواة الأم وتتحصر داخل النواة بواسطة حاجز جهد كولوم في الحقيقة ليس هناك سبب كبير لاعتقاد أن جسيمة ألفا توجد منفصلة ضمن النوى الثقيلة (في حينها) هذه النظرية تعمل بصورة جيدة خاصة للنوى الزوجية – الزوجية. وكما مبين في الشكل (3-1) (1) فان هناك ثلاث مناطق تستحق العناية : (Buck et al.,1991)



الشكل (3-1) نظرية انبعاث جسيمات ألفا (Buck et al.,1991)

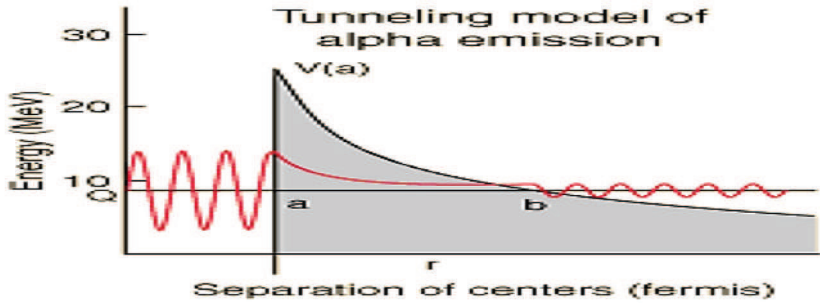
المنطقة الأولى حيث $r < R$ وتعرف بالمنطقة الكروية وتقع داخل النواة وأن هناك بئر الجهد بعمق $-V_0$. ومن وجهة النظر الكلاسيكية فان جسيمات ألفا تستطيع أن تتحرك في هذه المنطقة بطاقة حركية مقدارها $Q + V_0$ لكنها لا تستطيع الهروب من بئر الجهد.

المنطقة الثانية، حيث $R < r < b$ ، تشكل حاجز الجهد لان الطاقة الكامنة (طاقة الجهد). هنا اكبر من الطاقة الكلية المتوفرة. ومن وجهة النظر الكلاسيكية فان جسيمات ألفا لا تستطيع دخول هذه المنطقة من كلا الاتجاهين أي أنها لا تستطيع أن تدخل النواة عندما تكون خارجها ولا تستطيع أن تخرج من النواة عندما تكون داخلها. لان الطاقة الحركية ستكون كمية سالبة.

أما المنطقة الثالثة، حيث $r > b$ فهي منطقة مسموح بها كلاسيكياً وتقع خارج حاجز الجهد.

هذا يعني من وجهة النظر الكلاسيكية أن جسيمات ألفا الموجودة في بئر الجهد الكروي لا تستطيع الخروج منه وأنها تغير اتجاه حركتها بشكل حاد في كل مرة حيث ترتطم بجدار النواة أثناء محاولتها العبور وراء المنطقة $r = R$ ، أي إذا كانت الطاقة الحركية لجسيمة ألفا أقل من طاقة الجهد التي تمثل ارتفاع الحاجز، فإن جسيمة ألفا لا تستطيع مغادرة النواة.

أما من وجهة نظر ميكانيك الكم، فإن هناك فرصة للتسرب أو العبور النفقي من خلال حاجز الجهد الذي يأخذ بالاعتبار حقيقة أن النوى غير المستقرة لا تتحلل في الحال وإن على جسيمات ألفا أن تكون موجودة مرة بعد أخرى قرب سطح الحاجز حتى تخترقه في نهاية المطاف (Wong,1990). ويوضح الشكل (3-2) نموذج النفق لانحلال ألفا.



الشكل (3-2) مخطط لأنموذج النفق لانحلال ألفا (Wong,1990)

الأفكار الأساسية لنظرية انحلال ألفا وأنموذج الجسيم الواحد:

- 1- جسيمات ألفا قد توجد ككيان ضمن النوى الثقيلة.
- 2- جسيمات ألفا تكون ثابتة الحركة ومحصورة داخل النواة بواسطة حاجز الجهد.
- 3- هناك إمكانية مؤكدة لجسيمة ألفا أن تعبر عبوراً نفقياً خلال الحاجز (على الرغم من ارتفاعه) في كل وقت تصطدم به (Beiser,2003).

يعتمد الوصف النظري لانبعاث ألفا على حساب النسبة لحد مكون من عاملين. وحسب نظرية الجسيم الواحد، فإن ثابت الانحلال (λ) الذي يمثل احتمالية الانحلال في وحدة الزمن يساوي التردد (f) أي عدد التصادمات في الثانية التي تقوم بها جسيمة ألفا مع سطح الحاجز ($\frac{v}{2R}$) مضروبة في احتمالية اختراق الحاجز (P) (Beiser,2003) و(خليل,1996).

$$\lambda = fP \dots \dots \dots (3 - 1)$$

وعليه فإن التردد (f) يساوي :

$$f = \left(\frac{v}{2R}\right) = \frac{\sqrt{2Q/m}}{2R} \dots \dots \dots (3 - 2)$$

إذ إن m : هي كتلة جسيمة ألفا.

و v : هي سرعة جسيمة ألفا داخل النواة التي يمكن إيجادها من طاقتها الحركية $Q_\alpha = \frac{1}{2}mv^2$ عند $r < R$ (حيث يتم الاعتماد على قيم Q_α العملية المعتمدة في كثير من المراجع ومنها (ENSDF,2000) وستثبت تلك القيم للنماذج المتداولة جميعها فضلاً عن أنموذجنا الذي سننتزعه لاحقاً) و R : يمثل نصف قطر النواة ويحسب حسب العلاقة الآتية (Lilley,2001).

$$R = 1.2(A_d^{1/3} + A_\alpha^{1/3}) \dots \dots \dots (3 - 3)$$

الذي يعبر عن المسافة الفاصلة والمؤثرة بين النواة الوليدة A_d ونواة الهيليوم A_α عند قمة حاجز الجهد. كما يعبر عن قيمة R بأنها نصف القطر المؤثر Effective Radius حيث سيكون شكل المعادلة (3-3) متلانماً مع الأساس الذي بني عليه الأنموذج إذ يتضح بأن جسيمة ألفا قد تكون فعلاً متشكلة داخل النواة مسبقاً ومتهيئة للانحلال حالما تتمكن من اختراق حاجز الجهد بالعبور النفقي. وبهذا سيكون لنصف القطر المؤثر بشكله الحالي إمكانية للتقليل من ارتفاع

حاجز الجهد حسب المعادلة (3-4) أدناه مما سيؤثر حتماً على معدل انحلال النوى الثقيلة جميعها ومن ضمنها النوى قيد الدرس، إن فكرة تضمين شكل المعادلة (3-3) كان أساساً مستنبطاً من فكرة التفاعل النووي عندما تسقط بعض المقذوفات لتتفاعل مع نوى الهدف فعند اقرب مسافة اقتراب بينهما اقترح الباحث Wong عام 1990 بأن نصف قطر النواتين المتفاعلتين سيأخذ شكل المعادلة (3-3) (Wong, 1990).

فضلا عن ذلك فقد اعتمد الباحث (Peltonen, 2009) شكل المعادلة (3-3) أيضاً عندما اقترح أنموذجاً متكاملًا لوصف نظرية انبعاث جسيمات ألفا من خلال مبدأ عامل الإعاقة الذي تم التطرق إليه في الفصل الأول في الفقرة (1-3) وقد أطلق عليه اسم نصف القطر المؤثر (Touching Radius).

إن احتمالية اختراق الحاجز الكولومي P يمكن إيجادها بطريقة تقريبية:

$$P \cong e^{-2K_2 - \frac{1}{2}(b-R)}$$

$$K_2 = \sqrt{\frac{2m}{\hbar^2(V-Q_\alpha)}}$$

إذ إن K : يمثل العدد الموجي داخل حاجز الجهد.

على أساس أن ارتفاع الحاجز يتغير من $(B - Q)$ عند النقطة $r = R$ إلى الصفر عند النقطة $r = b$ ، لذا فإن من الممكن اخذ معدل الارتفاع الذي يساوي $\frac{1}{2}(B - Q)$ ومعدل السمك $\frac{1}{2}(b - R)$.

ومن الممكن إيجاد سمك الحاجز b من مساواة طاقة الجسيمة Q_α مع الطاقة الكامنة $V(r)$ وذلك على وفق الآتي:

$$b = \frac{1}{4\pi\epsilon_0} \frac{2Z_d e^2}{Q_\alpha}$$

وإن ارتفاع حاجز كولوم الفعال B عند النقطة $r=R$ يساوي:

$$B = \frac{1}{4\pi\epsilon_0} \frac{2Z_d e^2}{R} \dots \dots \dots (3-4)$$

أما في الحساب الدقيق للاحتتمالية باستخدام ميكانيك الكم، فينظر إلى الحاجز الكولومي على انه يتكون من حواجز مستطيلة متعاقبة ومتناهية في الصغر وتكون ذات ارتفاع وسمك d_r

$$V(r) = \frac{2Z_d e^2}{4\pi\epsilon_0 r}$$

إن احتمالية اختراق كل حاجز من الحواجز المتناهية في الصغر الذي يمتد من r إلى $r+d_r$ هي (Beiser, 2003) و (خليل، 1996).

$$d_p = \exp \left[-2d_r \sqrt{\left(\frac{2m}{\hbar^2}\right) (V(r) - Q_\alpha)} \right]$$

إن احتمالية اختراق الحاجز بكامله هي:

$$P = e^{-2G} \dots \dots \dots (3-5)$$

إذ إن G : هو معامل كامو ويساوي:

$$G = \sqrt{\frac{2m}{\hbar^2}} \int_a^b [(V(r) - Q)]^{1/2} dr$$

والذي تحسب قيمته على وفق الآتي :

$$G = \sqrt{\frac{2m}{\hbar^2} \frac{ZZ_d e^2}{4\pi\epsilon_0}} \left[\arccos \sqrt{X} - \sqrt{X(1-X)} \right]$$

$$X = \frac{R}{b} = \frac{Q}{B}$$

أي عندما $R \gg b$ أو $Q \gg B$

وعندما $X \ll 1$ فإن

$$\left[\arccos \sqrt{X} - \sqrt{X(1-X)} \right] = \frac{\pi}{2} - 2\sqrt{X}$$

وبهذا فإن معامل كامو يساوي :

$$G = \sqrt{\frac{2m}{\hbar^2} \frac{ZZ_d e^2}{4\pi\epsilon_0}} \left[\frac{\pi}{2} - 2\sqrt{\frac{Q}{B}} \right] \dots \dots \dots (3-6)$$

ونعوض معادلة (3-6) في معادلة (3-5) للحصول على احتمالية اختراق الحاجز.

وبعدها نجد قيمة التردد (f) من المعادلة (3-2) ليتسنى لنا الحصول على المعادلة (3-1) التي تمثل ثابت الانحلال (λ)

وبعدها نقوم بتطبيق المعادلة الآتية للحصول على عمر النصف للنواة أو النظير قيد الدرس:

$$T_{1/2} = \frac{0.693}{\lambda} \dots \dots \dots (3-7)$$

بعد ذلك نحولها إلى لوغاريتم عمر النصف $\log[T_{1/2}(\text{sec})]$ ليتم مقارنته مع القيم العملية (Royer et al,2010).

ومن الجدير بالملاحظة أننا سنرمز إلى أنموذج الجسيم الواحد One-Body Model بالرمز (O.B.M₁) الذي يعتمد في احد مفاصله الأساسية على المعادلة (3-3) التي تعبر عن نصف قطر النواة الوليدة وجسيمة ألفا.

3-2 تحويرات أنموذج الجسيم الواحد:

Modification of the One- Body Model:

يتمثل الأساس الذي بني عليه أنموذج الجسيم الواحد بان جسيمة ألفا تتشكل مسبقا داخل النواة، وعلى هذا الأساس يمكن لنا إجراء تحوير مبسط على المعادلة (3-3) وتحويلها إلى الشكل الآتي:

$$R = 1.08(A_d)^{1/3} + 2 \dots \dots \dots (3 - 3a)$$

إذ إن 1.08 : تمثل ثابت نصف القطر ، A_d : العدد الكتلي للنواة الوليدة ، 2: يمثل ثابت التصحيح .

وان هذا الشكل لمعادلة نصف القطر اقترحه الباحث الياباني Koura في عام (2002) الذي يعمل في جامعة واسيدا في طوكيو، إذ توصل إلى صيغة شبة تجريبية لمحاكاة انبعاث جسيمات ألفا في النوى الثقيلة والثقيلة جدا كعلاقة عامة وشاملة لجميع أنواع النوى. ومن الجدير بالذكر أن شكل المعادلة المقترح يمكن أن يؤكد على الأساس الذي بني عليه الأنموذج. وبإجراء ذلك التحوير المقترح على أنموذج الجسيم الواحد من خلال تطبيق جميع المعادلات المتعلقة بأصل الأنموذج فيما عدا المعادلة (3-3) التي استبدلت بالمعادلة (3-3a). إذ يتضح من خلاله انه أخذ بالاعتبار النواة الوليدة فضلا عن ثابت التصحيح للمسافة الفاصلة والمؤثرة بين النواة الوليدة وجسيمة ألفا لحظة انحلالها عند تجمعها على سطح النواة وإجراء التحوير المقترح على أنموذج الجسيم الواحد وذلك من أجل التوصل إلى لوغار يتم اعمار أنصاف النوى قيد الدرس وسنرمز من الآن ولاحقاً لهذا التحوير ولجميع تطبيقاته بالرمز (O.B.M₂). ولو تفحصنا المعادلة (3-3a) سنراها تدعم الأساس الذي بني عليه أنموذج الجسيم الواحد من أن هناك إمكانية لتكون جسيمة ألفا مسبقا في النواة (Koura,2002).

وسيتم اقتراح شكل آخر للمعادلة (3-3) الذي يتمثل بالعلاقة الآتية :

$$R = 1.4A^{1/3} \dots \dots \dots (3 - 3b)$$

إذ إن A : تمثل العدد الكتلي للنواة الأم.

وان 1.4 : يمثل ثابت نصف القطر الذي يعبر عن استطرارة الجسيمات بدل الالكترونات.

وإذا تفحصنا شكل المعادلة في أعلاه نرى انه لا يدعم بشكل مباشر فرضية أن جسيمة ألفا قد تشكلت مسبقا داخل النواة الذي بدوره يصف شكل نصف قطر النواة الأم ولكن الثابت 1.4 يعبر عن انبعاث جسيمات ألفا من النواة. وبإجراء ذلك التحوير المقترح على أنموذج الجسيم الواحد من خلال تطبيق جميع المعادلات المذكورة سابقاً التي تعبر عن أصل الأنموذج فيما عدا المعادلة (3-3) التي استبدلت بالمعادلة (3-3b) وسنرمز من الآن للاحقاً لهذا التحوير الذي اجري على الأنموذج بالرمز (O.B.M₃).

3-3 أنموذج وايسترا (W.M): Wapstra Model

اقترح الباحث (Wapstra et al.,1959) أنموذجاً مبسطاً بني على أساس علاقة كايكر – نوتال. إذ تناول الأنموذج النوى الزوجية – الزوجية ذوات العدد الذري الأكبر من 84 ($Z \geq 84$) ويتمثل هذا الأنموذج بعلاقته التجريبية على الشكل الآتي :

$$\log T_{\alpha} = \frac{(1.2 Z_p + 34.9)}{\sqrt{Q_{\alpha}}} - 52.4 \dots \dots \dots (3-8)$$

إذ إن Z_p : يمثل العدد الذري للنواة الأم ، Q_{α} : طاقة جسيمة ألفا العملية.

إذ طبق هذا الأنموذج على النوى جميعها التي هي قيد الدرس، كما سنرمز من الآن ولاحقاً لهذا الأنموذج بالرمز (W.M).

3-4 أنموذج تاجيبيرا ونورميا (T.N.M): Taagepera and Nurmia

اقترح الباحثان تاجيبيرا ونورميا (Taagepera & Nurmia, 1961) أنموذجاً مبسطاً يقترب بشكله العام من علاقة كايكر ونوتال ويعتمد بالأساس على النوى الوليدة Z_d في وصف انبعاثات جسيمات ألفا فضلاً عن عمليات الملاءمة التي أجراها وصولاً إلى بعض الثوابت في علاقته شبه التجريبية ويتمثل ذلك الأنموذج بالعلاقة الآتية :

$$\log T_{\alpha} = 1.61 \left(\frac{Z_d}{\sqrt{Q_{\alpha}}} - Z_d^{2/3} \right) - 20.789 \dots \dots (3 - 9)$$

إذ طبق هذا الأنموذج على جميع النوى قيد الدرس، كما سنرمز من الآن ولاحقاً لهذا الأنموذج بالرمز (T.N.M)

3-5 أنموذج كيلر ومونزل (K.M.M): Keller and Munzel Model

اقترح الباحثان كيلر ومونزل (Keller and Munzel, 1972) أنموذجاً يتضمن ثابتاً يشار إليه بالرمز H_K قيم العدد الذري للنوى الوليدة الذي بدوره يتغير حسب طبيعة ونوع النوى المستخدمة فضلاً عن استعمال قيم العدد الذري للنوى الوليدة Z_d في عمليات الملاءمة التي أجراها للوصول إلى صيغة شبه تجريبية تحوي على متغيرات وثوابت يتم من خلالها التوصل إلى لوغاريتم أنصاف اعمار النوى الثقيلة قيد الدرس كل حسب نوعها مبتدئة من النواة ذات العدد الذري $Z \geq 82$ ممتدة إلى آخر نواة ثقيلة اكتشفت في حينها، إذ إن هذا الأنموذج يتمثل بالعلاقة الآتية :

$$\log T_{\alpha} = H_K \left(\frac{Z_d}{\sqrt{Q_{\alpha} - Z_d^{2/3}}} \right) - 20.226 \dots \dots (3 - 10)$$

إذ إن H_K : يساوي 1.61 للنوى الزوجية - الزوجية. إذ طبق هذا الأنموذج على جميع النوى قيد الدرس، كما سنرمز من الآن ولاحقاً لهذا الأنموذج بالرمز (K.M.M).

3-6 أنموذج هورنشوج (H.M): Hornshoj Model

اقترح الباحث (Hornshoj *et al.*, 1974) أنموذجاً يقترح فيه صيغة شبه تجريبية مطورة تحوي على متغيرات تتغير وفقاً لنوع النواة تأخذ بالأساس على A_d و Z_d (العدد الذري والكتلي للنواة الوليدة على التوالي) لتمكنه من إجراء عمليات الملاءمة وصولاً إلى قيم الثوابت التي يحويها الأنموذج ليتم بعدها التوصل إلى لوغاريتم أنصاف اعمار النوى التي تناولها الباحث لجميع أنواع النوى، إذ إن قيمة الثابت يتحدد من خلال نوع النواة المدروسة، ومن الجدير بالذكر على أنه بالرغم من التأثيرات القوية لزيادة عدد النيوترونات عن عدد البروتونات إلا أن العدد الذري (عدد البروتونات) للنوى الوليدة كان له التأثير المباشر في وصف انبعاث جسيمات ألفا من خلال العلاقة شبه التجريبية التي تمثلت بالأنموذج، غير أن النوى وجوارها من النوى الأخرى التي تمتلك أعداداً سحرية مزدوجة في عدد النيوترونات وفي عدد البروتونات لم يتم تفسيرها بشكل جيد ومقتع من خلال هذا الأنموذج. يتمثل هذا الأنموذج بالعلاقة الآتية:

$$\log T = 0.80307 \left(\frac{A_d^{4/3} Z_d}{A} \right) \left(\frac{\arccos \sqrt{x}}{\sqrt{x}} - \sqrt{1-x} \right) - CH \dots \dots (3 - 11)$$

إذ إن المعامل X تتحد قيمته من خلال العلاقة الآتية:

$$X=0.538243QA_d^{1/3}/Z_d$$

إذ إن A_d : هو العدد الكتلي للنواة الوليدة ، Z_d : هو العدد الذري للنواة الوليدة
 A : هو العدد الكتلي للنواة الأم ، Q_α : هي طاقة جسيمة ألفا
 وان CH يساوي 20.347 للنوى الزوجية – الزوجية.
 إذ طبق هذا الأنموذج على جميع النوى قيد الدرس، كما سنرمز من الآن ولاحقاً على هذا الأنموذج
 بالرمز (H.M).

3-7 أنموذج كورا (K.M): Koure Model

اقترح الباحث كورا (Koura) في عام (2002) أنموذجاً يقترح من خلاله علاقة شبة تجريبية عامة ولجميع أنواع النوى الثقيلة والثقيلة جداً الذي اعتمد بصياغة أنموذجه على مبدأ إهمال الحدود ذات الرتب العالية من احتمالية اختراق حاجز الجهد (Penetration Probability neglecting higher order terms) إذ يتمثل الأنموذج بالصيغة الآتية:

$$\log_{10} T_\alpha = 1.7195 \sqrt{\frac{A-4}{A}} \frac{Z_d}{\sqrt{Q_\alpha}} - 1.2091 \sqrt{\frac{A-4}{A}} \sqrt{RZ_d} + 0.07466 \frac{R^{\frac{3}{2}}}{Z_d^{\frac{1}{2}}} Q_\alpha - \log_{10} N_{coll} - 1.59157 + h \dots \dots (3 - 12)$$

إذ إن $R = 1.08(A_d)^{1/3} + 2$ ، A : هو العدد الكتلي للنواة الأم.
 وان $h = h_0 \delta_{e0}$ ، δ_{e0} للنوى الزوجية – الزوجية ، كما ان N_{coll} تساوي $10^{20.05}$
 بينما Q_α : هي طاقة جسيمة ألفا العملية ، Z_d : العدد الذري للنواة الوليدة .
 وطبق هذا الأنموذج على النوى قيد الدرس كما سنرمز من الآن ولاحقاً على هذا الأنموذج بالرمز
 (K.M).

3-8 أنموذج روير (R.M): Royer Model

اقترح الباحث روير (Royer et al.,2010) عدة نماذج وذلك حسب نوع النوى المدروسة ذلك لحساب لوغاريتم أنصاف اعمار النوى وفيما يتعلق بالنوى الزوجية – الزوجية اقترح الأنموذج الآتي:

$$\log_{10} T = -27.69 - 1.0441A^{\frac{1}{3}} \sqrt{Z_p} + \frac{1.5702 Z_p}{\sqrt{Q_\alpha}} \dots \dots (3 - 13)$$

إذ إن A : يمثل العدد الكتلي للنواة الأم ، Z_p : يمثل العدد الذري للنواة الأم.
 وطبق هذا الأنموذج على النوى قيد الدراسة (الزوجية - الزوجية)، وسنرمز من الآن ولاحقاً لهذا الأنموذج
 بالرمز (R.M).

3-9 نموذج فراس وميان : Firas and Mayan Model

نتيجة للتطور الحاصل في اكتشاف نوى جديدة تزيد في أعدادها الذرية عن $Z=90$ (عناصر ما بعد اليورانيوم)، فضلاً عن امتلاكها أعماراً نصفية ما بين الطويلة والقصيرة، أصبح من الضروري تطوير نموذج نظري مترابط يسمح بتفسير عملية انحلال جسيمات ألفا وصولاً إلى تحديد أعمارها النصفية لذا سنعتمد على قاعدة كايكر - نوتال لوصف انبعاث جسيمات ألفا للنوى الزوجية- الزوجية قيد الدرس الذي ينص على أن لوغاريتم أعمار أنصاف النوى يتناسب عكسياً مع الجذر التربيعي لطاقة جسيمات ألفا المنبعثة. وسيحوي هذا النموذج على معاملات أخرى متعلقة بالنواة وتشمل على R_{α} و $(Z_p - 2)$ التي تتغير بتغير النظير وان زيادة الجذر التربيعي لتلك المتغيرات سيزيد من لوغاريتم أعمار أنصاف النوى قيد الدرس وبعبارة أخرى أن زيادة العدد الكتلي A عند التحول من نظير إلى آخر للنواة الواحدة سيزيد غالباً من لوغاريتم عمر النصف ولاسيما للنوى من ذوات أعمار الانصاف الطويلة النسبية. وانطلاقاً من النجاح الحاصل الذي يبينه الجدول (4-1) في الفصل اللاحق في قيم لوغاريتم أعمار أنصاف النوى قيد الدرس من خلال التحوير المقترح الذي اجري على نموذج الجسيم الواحد أثناء استبدال المعادلة (3-3) بالمعادلة (3-3a) التي سنعتمدها في أنموذجنا المقترح للحصول على علاقة شبه تجريبية مطورة لحساب أعمار أنصاف النوى قيد الدرس. وبناءً على النظامية المتعلقة بإضافة النيوترونات إلى النواة فان ذلك سيقال من طاقة الانحلال لجسيمات ألفا الذي بدوره يزيد من لوغاريتم عمر النصف حسب قاعدة كايكر - نوتال لتصبح أكثر استقراراً، حيث اضيف الحد $\left(\frac{N-Z_p}{A}\right)$ إلى المعادلة في أعلاه فيما يخص الأنموذج المقترح الذي يمثل نسبة زيادة النيوترونات. واقترحت عدة نوابت بالاعتماد على الصواب والخطأ إلى أن تم التوصل إلى تلامنات جيدة مع القيم العملية وأخيراً تمثل هذا الأنموذج بالصيغة شبه التجريبية الآتية:

$$\log T = \frac{1.65(Z_p-2)}{\sqrt{Q_{\alpha}}} - 26.6 - \sqrt{\left[(1.08)(A-4)^{\frac{1}{3}} + 2 \right] (Z_p - 2) + \left(\frac{N-Z_p}{A}\right) \dots (3-14)}$$

طبقت هذه الصيغة على 65 نواة زوجية - زوجية محصورة ما بين $82 \leq Z \leq 102$ وسنرمز لهذا الأنموذج من الآن ولاحقاً بالرمز (F.M.M) الذي يمثل (Firas and Mayan Model).

3-10 تحديد الانحراف على معدل الجذر التربيعي والانحراف المعياري وعامل التوافق للنماذج

المتداولة وأنموذج فراس وميان:

من اجل مقارنة لوغاريتم أنصاف أعمار النوى للقيم المحسوبة من خلال النماذج المتداولة وأنموذج فراس وميان (نظرياً) مع القيم المحسوبة عملياً احتسب الانحراف عن معدل الجذر التربيعي (Root mean square deviation) (rmsd) للقيم العملية والنظرية من خلال العلاقة الآتية : (Ni & Ren ,2009)

$$rmsd = \sqrt{\sum_{i=1}^N (\log_{10} T_{exp}^i - \log_{10} T_{calc}^i)^2 / N} \dots (3-15)$$

كما احتسب الانحراف المعياري Standard deviation (σ) للقيم العملية والنظرية من خلال العلاقة

الآتية : (Dong et al .,2008)

$$\sigma = \sum_{i=1}^N \frac{|\log_{10} T_{exp}^i - \log_{10} T_{calc}^i|}{N} \dots (3-16)$$

فضلاً عن حساب معامل التوافق (A.F) Agreement Factor وللنماذج جميعها وحسب العلاقة الآتية (Ni & Ren ,2009) :

$$A.F = 10^{\log_{10}(T_{1/2calc.}/T_{1/2exp.})} \dots \dots (3 - 17)$$

بُرجمت المعادلات أعلاه التابعة لقيم rmsd و σ و A.F بلغة ماتلاب (Matlab) كما موضحة في الملحق المسجل في نهاية الرسالة فضلاً عن برمجة جميع النماذج المتداولة والنماذج المقترحة أيضاً بلغة ماتلاب وحسب ما مبين في الملحق المسجل في نهاية الرسالة.

3-11 منحنيات المعايرة ما بين القيم العملية والنظرية للوغاريتم العمر النصفى للنوى المدروسة:

من أجل الحصول على علاقة تربط القيم العملية للوغاريتم العمر النصفى مع القيم النظرية للنوى قيد الدرس استخدمت الدالة (treat) في برنامج الماتلاب MatLab التي تقوم بترتيب قيم المحور (X) تصاعدياً تبعاً للمحور (Y) وقد أعد برنامج مبسط لهذه الغاية.

3-12 تحديد القدرة الناتجة عن انحلال جسيمات ألفا :

نتيجة للتطبيقات العملية المهمة لانبعاث جسيمات ألفا ودخولها في مجال التقانات والتكنولوجيا الحديثة . ويمكننا تعويض المعادلتين (2-2) و(2-3) في المعادلة (1-2) بعد ضربها في قيمة Q_{α} بوحدات الجول لكل نواة للحصول على القدرة الناتجة من انبعاث ألفا وبوحدات (watt/gm) ولجميع النوى قيد الدرس.



الفصل الرابع

النتائج والسناقص

الفصل الرابع

4- النتائج والمناقشة:

سنتناول في هذا الفصل عرض النتائج التي حصلنا عليها بعد القيام بإجراء الحسابات المتعلقة بجميع النماذج المتداولة وانموذج فراس وميان ومناقشة هذه النتائج في ضوء نظاميات انحلال ألفا في النوى الزوجية - الزوجية الثقيلة على أساس علاقة لوغاريتم عمر النصف مع طاقة انحلال جسيمة ألفا.

وبعد ذلك سنستعرض نتائج توافق القيم العملية والنظرية لأعمار أنصاف النوى قيد الدراسة طبقاً لأعدادها الذرية وذلك من خلال معامل التوافق (A.F) ولجميع النماذج المتداولة وانموذج فراس وميان. فضلاً عن علاقة القدرة لوحدة الكتلة مع طاقة انحلال جسيمة ألفا المنحلة من كل نواة في إطار تطبيقات انحلال جسيمات ألفا في التكنولوجيا الحديثة فضلاً عن العلاقة ما بين نسبة القيم العملية للوغاريتم عمر النصف إلى القيم النظرية مع العدد الكتلي للنوى جميعها. وكذلك استخدام منحنيات المعايرة للحصول على علاقة تربط القيم العملية للوغاريتم العمر النصف مع القيم النظرية للنوى قيد الدرس.

1-4 تحديد لوغاريتم عمر النصف للنماذج المتداولة وانموذج فراس وميان:

أجريت الحسابات اللازمة لتحديد لوغاريتم عمر النصف للنماذج المتداولة وانموذج فراس وميان وعليه فان الجداول (1,2,3,4)الموضحة في الملحق A تبين قيم الأعداد الكتلية والذرية وعدد النيوترونات فضلاً عن القيم العملية لطاقات انحلال ألفا بوحدات MeV فضلاً عن المقارنة بين القيم المحسوبة نظرياً مع القيم العملية للوغاريتم اعمار انصاف النوى قيد الدراسة طبقاً لنماذج الجسيم الواحد [(O.B.M₁) و (O.B.M₂) و (O.B.M₃)] ونماذج [(W.M) و (T.N.M) و (K.M.M)] إلى جانب النماذج [(K.M) و (H.M) و (R.M)] فضلاً عن النموذج (F.M.M) على التوالي.

نلاحظ من هذه الجداول بانطاقات جسيمات ألفا المنحلة (العملية) لتلك النوى ونظائرها تتراوح بين 9.849MeV-4.083MeV كما أن لوغاريتم عمر النصف يتراوح من 18.55 الى 6.96- لأطول وأقصر عمر نصف مثبت في الجداول أعلاه أي بمعنى تغير الطاقة مرتين تقريباً يتغير عمر النصف بوحدات الـ (sec) بمقدار 3.25×10^{25} مرة لنواة $^{232}_{90}Th$ ونواة $^{218}_{90}Th$ لذا فان عمر النصف للنوى يتغير تغيراً ملحوظاً بأقل تغير يقيم نطاقات جسيمات ألفا المنحلة وأن أطول عمر نصف لتلك النوى يبعث جسيمات ألفا بطاقات واطنة والعكس صحيح.

كما نلاحظ أن هناك توافقاً جيداً بين القيم العملية للوغاريتم اعمار أنصاف النوى ونظائرها والقيم المحسوبة نظرياً حسب أنموذج الجسيم الواحد (O.B.M₂) و (O.B.M₃) مما يدل على إمكانية استخدام أنموذج الجسيم الواحد في تفسير نظرية انبعاث جسيمات ألفا وحساب عمر النصف بشكل قريب من الدقة، أما الأنموذج (O.B.M₁) فقد أعطى تنبؤات ملحوظة ما بين القيم العملية والنظرية للوغاريتم اعمار أنصاف النوى قيد الدراسة، فعلى سبيل المثال لا الحصر ففي نواة البلوتونيوم $^{242}_{94}Pu$ فان القيمة العملية لعمر نصف النواة بوحدات الـ (sec) اكبر من القيمة النظرية بمقدار 22.5 مرة وان ارتفاع حاجز الجهد لتلك النواة يقترب من (28.49) وان طاقة جسيمة ألفا داخل النواة هي (4.985MeV) ولذا فمن غير المتوقع من وجهة النظر الكلاسيكية حدوث انحلال وانبعاث جسيمات ألفا بهذه الطاقة وفي الواقع فان انحلالاً يحدث من قبل $^{242}_{94}Pu$ يمكن تفسيره حسب النظرية الكمية فقط وذلك للتسرب من خلال نفق حاجز الجهد. ان احتمالية التسرب هذه نادرة إلى درجة بحيث أن جسيمات ألفا يجب أن تقوم بمعدل 10^{20} محاولة في الثانية ولمدة 10^5 سنة تقريباً أو 10^{13} ثانية تقريباً !

ومن الجدير بالذكر أن التنبؤات الملحوظة في قيم لوغاريتم عمر النصف العملية والنظرية في الأنموذج

(O.B.M₁) يعزى إلى نصف قطر النواة المتمثل بالمقدار $R = 1.2(A_d^{\frac{1}{3}} + A_a^{\frac{1}{3}})$ الذي كان له الاثر الكبير في تلك التنبؤات بالموازنة مع الأنموذجين (O.B.M₂) و (O.B.M₃). إذ نلاحظ أن تلك التنبؤات قد قلت بنسبة تصل إلى 100% ويتم ذلك من خلال مقارنة قيم (σ) و (rmsd) المثبتين بالجدول (4-1) علماً أن أنصاف

أقطار النوى في الأنموذجين في أعلاه تساوي $(R=1.08 A_d^{1/3} + 2)$ و $(R=1.4 A^{1/3})$ على التوالي وفي الحقيقة ان جسيمة ألفا لا تنفصل كلياً من النواة الوليدة عندما تغادر حاجز الجهد الكولومي (Wong, 1990). وان تغير نصف القطر بمقدار 2% سيغير من قيمة ثابت الانحلال بمقدار (2-3) إضعاف مما سينعكس على عمر النصف للنواة فضلاً عن التناسب العكسي ما بين نصف قطر النواة وارتفاع حاجز الجهد.

أما في بقية النماذج المتداولة التي يبينها الجدول (2) والجدول (3) فقد أعطت توافقات مقبولة وجيدة ما بين القيم العملية والنظرية للوغاريتم اعمار أنصاف التوي قيد الدرس ويمكننا اعتماد تلك النماذج في تفسير نظرية انبعاث جسيمات ألفا للنوى الزوجية - الزوجية.

ويبين الجدول (4) جميع المعطيات التي تضمنتها الجداول السابقة ولكن حسب انموذج فراس وميان، العمل الحالي، (F.M.M) والمذكورة في الفقرة (3-9) من الفصل الثالث.

وبالعودة إلى نتائج الجدول (4) فإن انموذج فراس وميان يمكن ان يكون أنموذجاً مقبولاً حيث يقدم وصفاً جيداً لنظائريات انحلال جسيمات ألفا وذلك للتوافق ما بين القيم العملية والنظرية للوغاريتم العمر النصفي هذا ما سيوضحه الجدول (4-1) الذي يتضمن مقارنات قيم الـ (rmsd) و (σ) .

4-2 حسابات الانحراف عن معدل الجذر التربيعي (rmsd) والانحراف المعياري (σ):

احتسبت قيم الانحراف عن معدل الجذر التربيعي (rmsd) والانحراف المعياري (σ) للنماذج المتداولة وانموذج فراس وميان ذلك من أجل إجراء المقارنات بين تلك النتائج والنماذج جميعها حيث بالإمكان الاستدلال على صحة التوافقات بين القيم العملية والنظرية للوغاريتم عمر النصف للنوى قيد الدرس إذ كلما كانت النتائج أقل من الواحد لكل من (rmsd) و (σ) يكون بالإمكان اعتماد الأنموذج في تفسير نظرية انبعاث جسيمات ألفا وتحديد لوغاريتم اعمار النصف لها، كما تعد تلك الاستدلالات عمليات إحصائية دقيقة تفسر لنا كثيراً من المتغيرات التي يتم معالجتها. حيث يبين الجدول (4-1) قيم الانحراف عن معدل الجذر التربيعي وقيم الانحراف المعياري والنماذج جميعها.

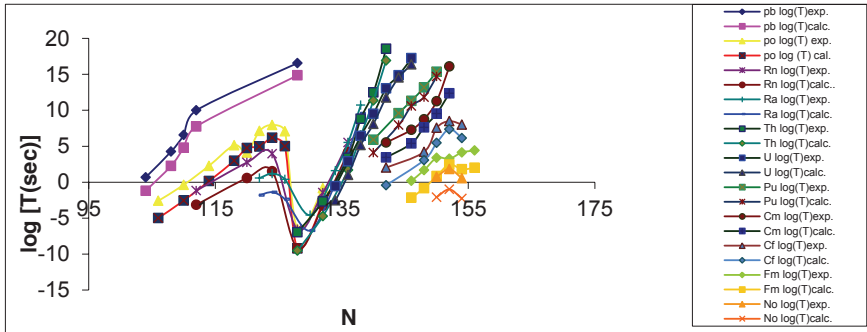
جدول (4-1): يبين قيم الانحراف عن معدل الجذر التربيعي (rmsd) وقيم الانحراف المعياري (σ) للنماذج جميعها.

النماذج	rmsd	σ
O.B.M ₁	2.008	1.9058
O.B.M ₂	0.92	0.77
O.B.M ₃	0.91	0.75
W.M	0.797	0.687
T.N.M	0.77	0.619
K.M.M	0.609	0.431
H.M	0.583	0.4088
K.M	0.611	0.42
R.M	0.629	0.424
F.M.M	0.68	0.5

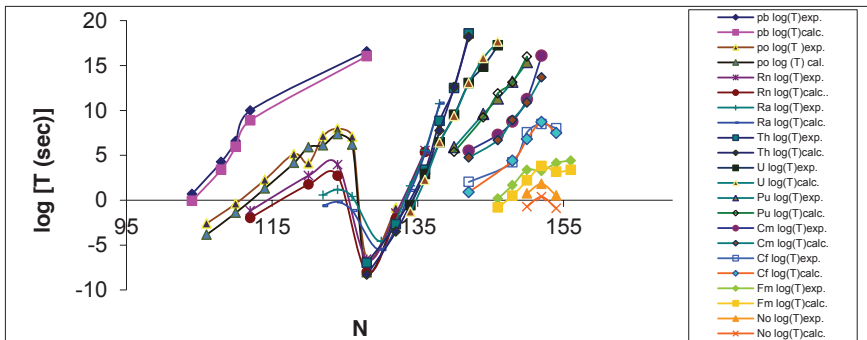
يتضح لنا جلياً من الجدول (4-1) أن نموذج فراس وميان (F.M.M) يعد من النماذج التي يمكن أن نعول عليها في تحديد قيم لوغاريتم اعمار النصف للنوى الزوجية – الزوجية قيد الدرس إلى جانب جميع النماذج المتداولة. حيث تتراوح ضمن المدى المقبول ما عدا الأنموذج (O.B.M₁) الذي سجل انحرافات عالية القيمة وتباينات ملحوظة بين القيم النظرية والعملية للوغاريتم اعمار النصف وتم تعليل ذلك في الفقرة (4-1) من هذا الفصل.

4-3 علاقة لوغاريتم عمر النصف مع عدد النيوترونات :

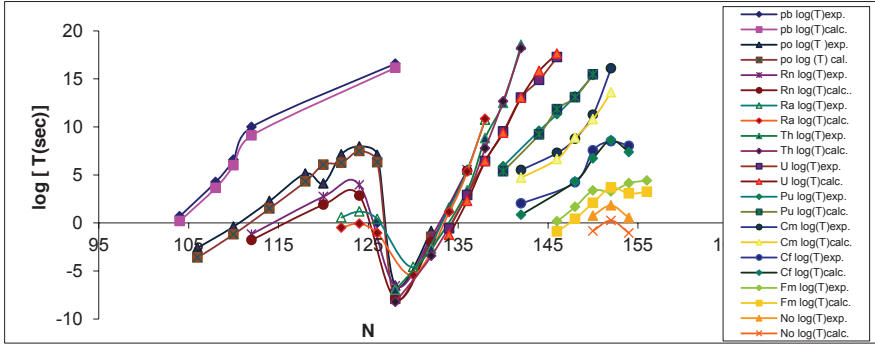
ولأجل إجراء مقارنات ما بين القيم العملية والنظرية لأعمار أنصاف النوى قيد الدرس يمكن ذلك من خلال الأشكال (4-1,2,3,4,5,6,7,8,9,10) التي تبين العلاقة ما بين القيم المشار إليها في أعلاه مع عدد النيوترونات للنماذج جميعها.



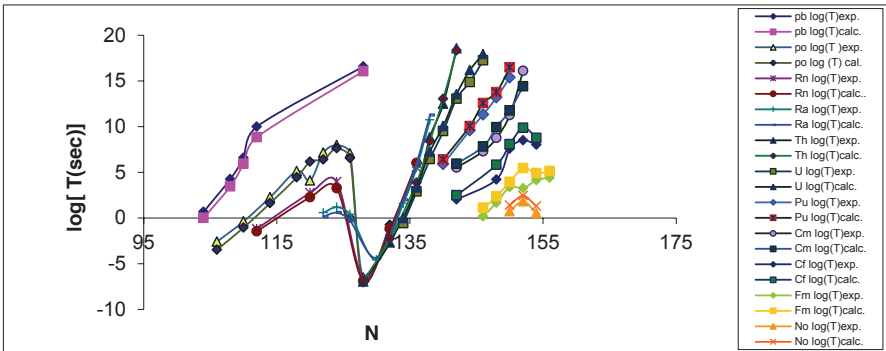
الشكل (4-1) علاقة لوغاريتم عمر النصف مع عدد النيوترونات N للنوى الزوجية – الزوجية حسب أنموذج (O.B.M₁)



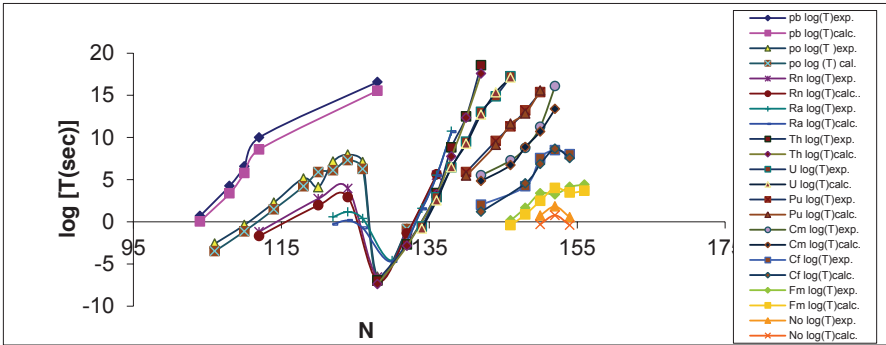
الشكل (4-2) علاقة لوغاريتم عمر النصف مع عدد النيوترونات N للنوى الزوجية-الزوجية حسب أنموذج (O.B.M₂)



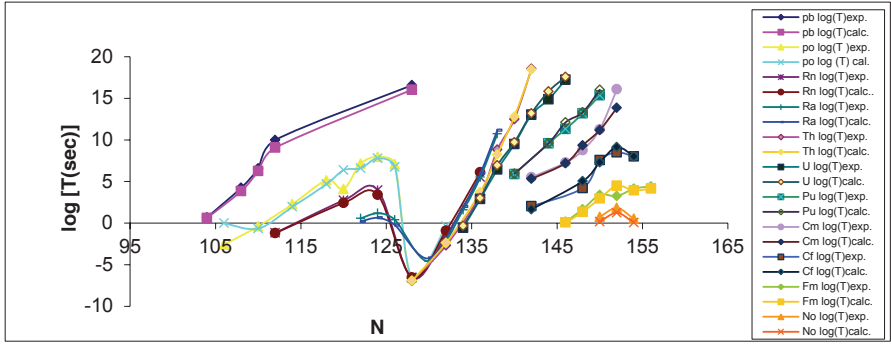
الشكل (4-3) علاقة لوغاريتم عمر النصف مع عدد النيوترونات N للنوى الزوجية - الزوجية حسب نموذج (O.B.M₃)



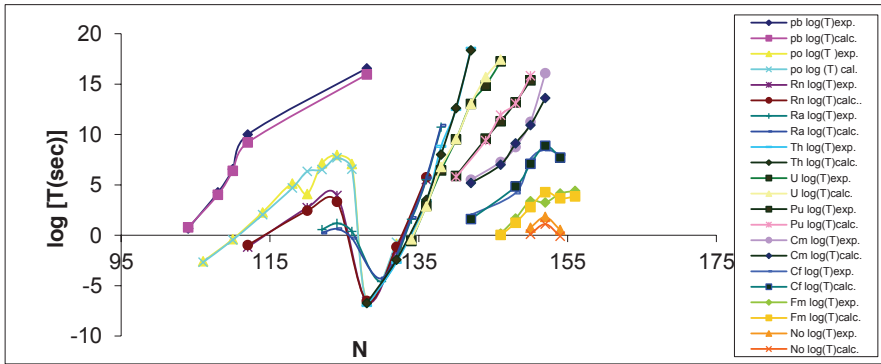
الشكل (4-4) علاقة لوغاريتم عمر النصف مع عدد النيوترونات N للنوى الزوجية - الزوجية حسب نموذج (W.M)



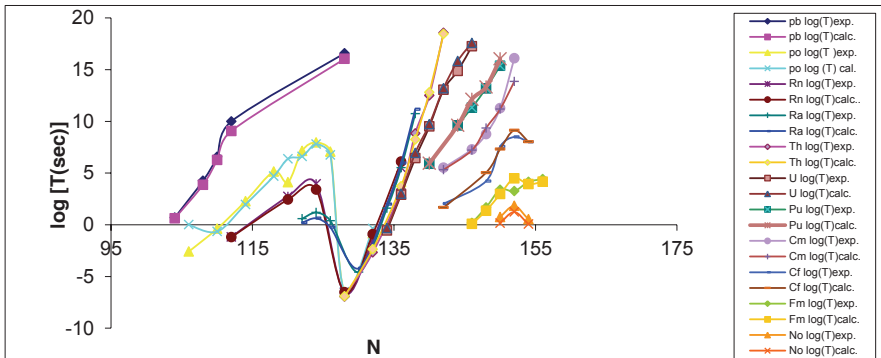
الشكل (4-5) علاقة لوغاريتم عمر النصف مع عدد النيوترونات N للنوى الزوجية - الزوجية حسب نموذج (T.N.M)



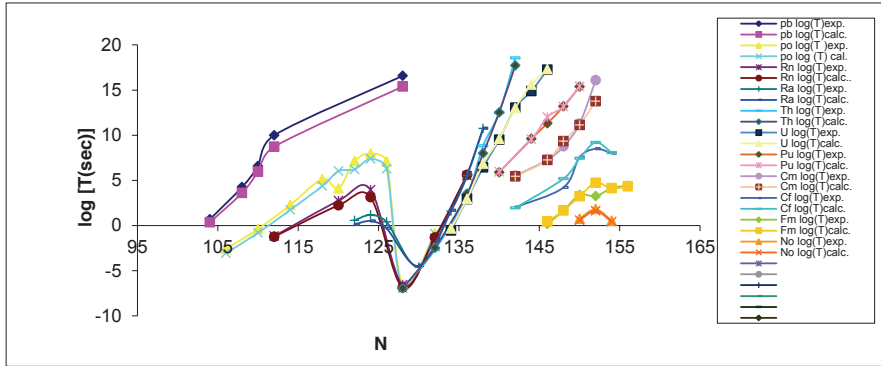
الشكل (4-6) علاقة لوغاريتم عمر النصف مع عدد النيوترونات N للنوى الزوجية - الزوجية حسب نموذج (K.M.M)



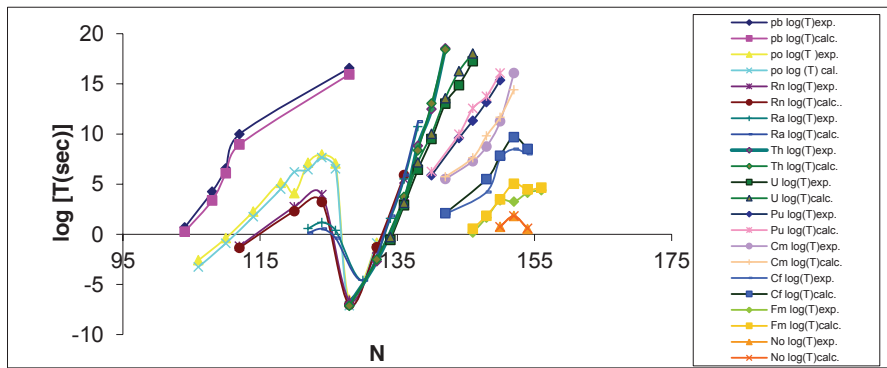
الشكل (4-7) علاقة لوغاريتم عمر النصف مع عدد النيوترونات N للنوى الزوجية - الزوجية حسب نموذج (H.M)



الشكل (4-8) علاقة لوغاريتم عمر النصف مع عدد النيوترونات N للنوى الزوجية - الزوجية حسب نموذج (K.M)



الشكل (4-9) علاقة لوغاريتم عمر النصف مع عدد النيوترونات N للنوى الزوجية - الزوجية حسب نموذج (R.M)



الشكل (4-10) علاقة لوغاريتم عمر النصف مع عدد النيوترونات N للنوى الزوجية - الزوجية حسب نموذج (F.M.M).

يتبين من الأشكال في أعلاه والتابعة لجميع النماذج المتداولة وانموذج فراس وميان إن لوغاريتم عمر النصف يزداد مع زيادة عدد النيوترونات (N) ماعدا النوى التي تمتلك أعداداً سحرية سواء في عدد النيوترونات (N) أو في عدد البروتونات (Z) أو كليهما أو النوى التي تمتلك أعداداً قريبة من الأعداد السحرية، حيث نلاحظ أن نوى البولونيوم $^{210}Po_{126}$ والبولونيوم $^{212}Po_{128}$ والرادون $^{214}Rn_{128}$ والراديوم $^{214}Ra_{126}$ بان لوغاريتم عمر النصف يقل عند هذه النوى ويعود السبب في ذلك إلى امتلاكها أعداداً سحرية أو أعداداً قريبة من الأعداد السحرية التي تشير إلى قشرة نيوترونات مغلقة بمعنى أن النواة تصبح أكثر استقراراً فيزداد العمر النصفى مع زيادة عدد النيوترونات بعد الأعداد السحرية.

ومن الجدير بالملاحظة أن لو غاريتم العمر النصفى لنواتي الرصاص $^{182}Pb_{104}$ ونواة الثوريوم $^{218}Th_{90}$ كان أقل ما يمكن بالموازنة مع نظائرها ولكن السلوك اختلف عن سلوك النوى المذكورة آنفاً من حيث الزيادة والنقصان في لو غاريتم عمر النصف بسبب أننا قد ابتدأنا بهذه النظائر التي تمتلك أعداداً سحرية أو قريبة من الأعداد السحرية.

وبشكل عام فإن طاقة جسيمات ألفا قبل ($N=126$) تزداد ببطء مع زيادة عدد النيوترونات (N) وان العمر النصفى يتذبذب مع عدد النيوترونات كما أن طاقة جسيمة ألفا (Q_α) تقل بحدّة والعمر النصفى يزداد بسرعة بين ($N=126$) و ($N=142$) وبعد ذلك تزداد طاقة جسيمة ألفا (Q_α) مرة أخرى والعمر النصفى يقل عندما يزداد عدد النيوترونات.

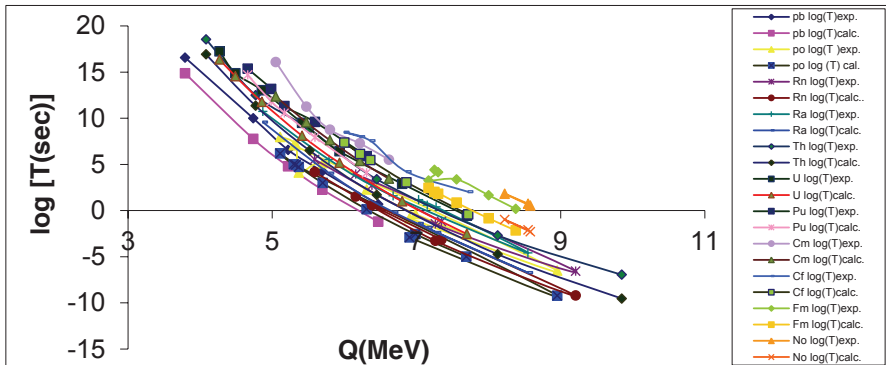
إن النواة التي تمتلك ($Z=82$) كعدد سحري تكون مستقرة بشكل كافٍ وبهذا ستحلل بانبعث جسيمة ألفا بطاقة عالية كما أن النواة التي تمتلك ($Z=82$) لها تأثير أقل في خواص انحلال ألفا من النوى التي تمتلك ($N=126$) لأن زيادة عدد النيوترونات يتغلب على قوة التنافر الكولومي بين البروتونات فتجعل النواة أكثر استقراراً وبهذا يزداد العمر النصفى وتقل طاقة انحلال ألفا.

4-4 علاقة لو غاريتم عمر النصف مع طاقة انحلال ألفا:

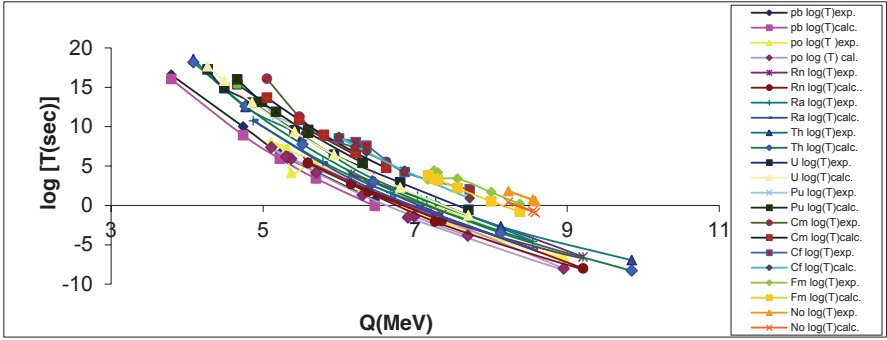
من النظاميات والنهج التي يمكن ملاحظتها في انحلالات جسيمة ألفا وهي أن القوى الباعثة لجسيمات ألفا بطاقات انحلال كبيرة تكون ذات اعمار نصفية قصيرة وبالعكس وضعت صيغة رياضية تجريبية عام 1928 حسب قاعدة كايكر – نوتال وهي أن التغيير الكبير في اعمار النصف ربما ينسب إلى الجذر التربيعي لطاقة جسيمات ألفا $\sqrt{Q_\alpha}$ المنبعثة.

إن اعتماد طاقة الانحلال لجسيمات ألفا على العدد الكتلي A (أو على Z أو N) تكون "منتظمة ما عدا قرب الأعداد السحرية ولا سيما عند ($Z=82$) أو ($N=126$).

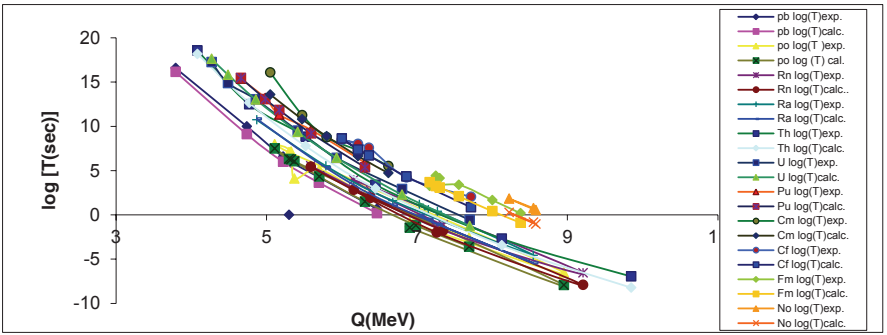
الأشكال ((4-11) إلى ((4-20)) تقارن انحراف اعمار النصف المحسوبة نظرياً حسب النماذج المتداولة والأنموذج المقترح عن القيم العملية مع طاقة انحلال جسيمة ألفا Q_α للنوى قيد الدراسة الأشكال.



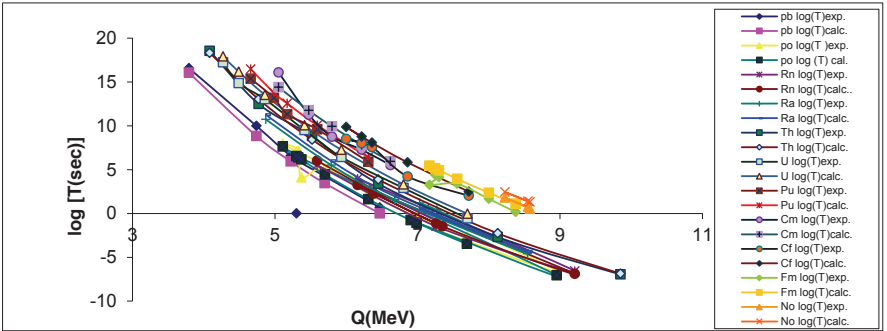
الشكل (4-11) علاقة لو غاريتم عمر النصف مع طاقة جسيمة ألفا (Q_α) للنوى الزوجية – الزوجية حسب أنموذج (O.B.M₁)



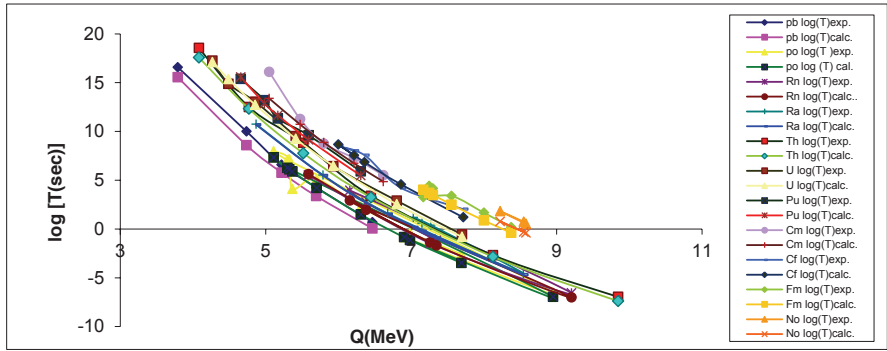
الشكل (4-12) علاقة لوغاريتم عمر النصف مع طاقة انحلال جسيمة ألفا (Q_{α}) للنوى الزوجية - الزوجية حسب نموذج (O.B.M₂)



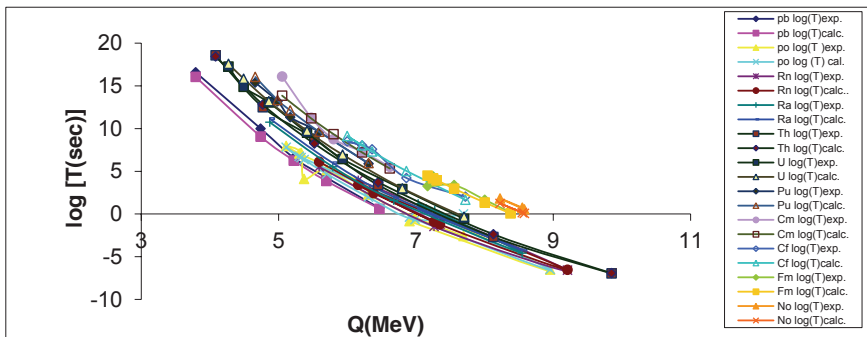
الشكل (4-13) علاقة لوغاريتم عمر النصف مع طاقة انحلال جسيمة ألفا (Q_{α}) للنوى الزوجية - الزوجية حسب نموذج (O.B.M₃)



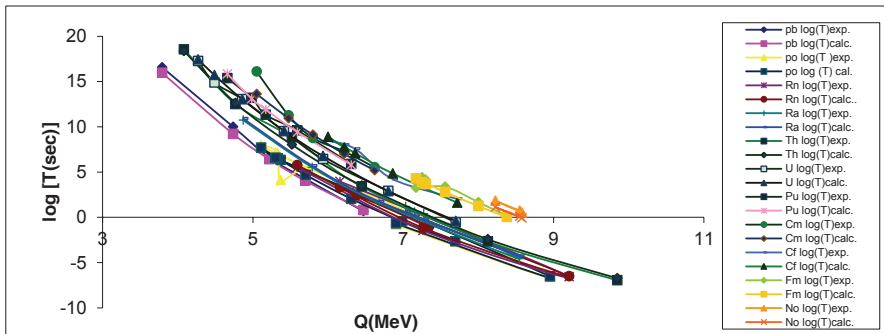
الشكل (4-14) علاقة لوغاريتم عمر النصف مع طاقة انحلال جسيمة ألفا (Q_{α}) للنوى الزوجية - الزوجية حسب نموذج (W.M)



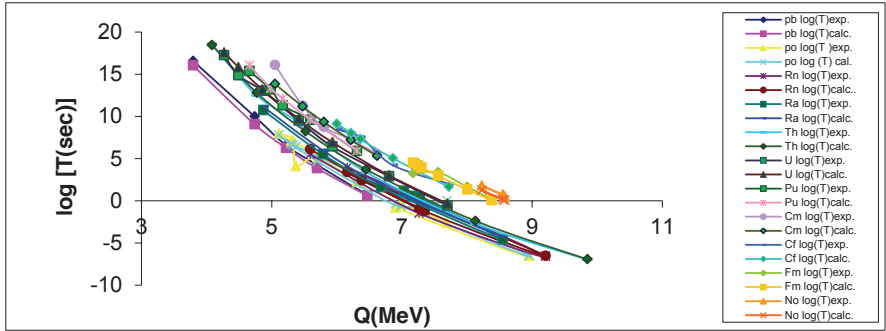
الشكل (4-15) علاقة لوغاريتم عمر النصف مع طاقة انحلال جسيمة ألفا (Q_α) للنوى الزوجية - الزوجية حسب أنموذج (T.N.M)



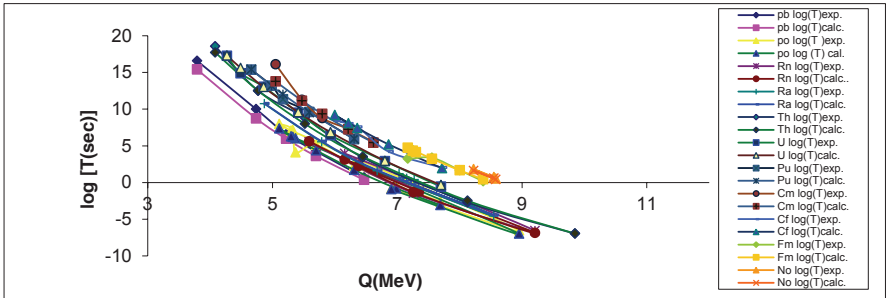
الشكل (4-16) علاقة لوغاريتم عمر النصف مع طاقة انحلال جسيمة ألفا (Q_α) للنوى الزوجية - الزوجية حسب أنموذج (K.M.M)



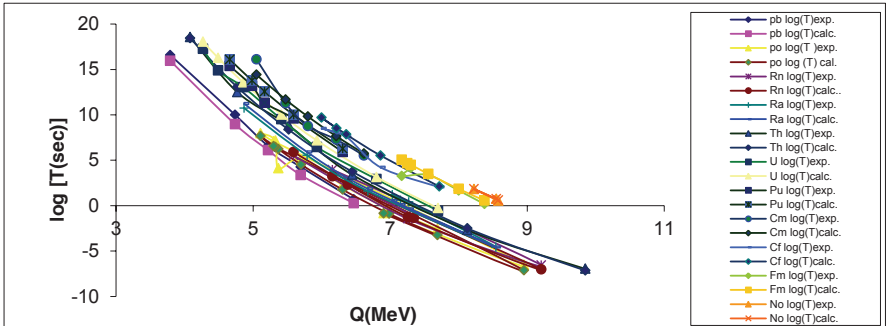
الشكل (4-17) علاقة لوغاريتم عمر النصف مع طاقة انحلال جسيمة ألفا (Q_α) للنوى الزوجية - الزوجية حسب أنموذج (H.M)



الشكل (4-18) علاقة لو غاريتم عمر النصف مع طاقة انحلال جسيمة ألفا (Q_{α}) للنوى الزوجية - الزوجية حسب نموذج



الشكل (4-19) علاقة لو غاريتم عمر النصف مع طاقة انحلال جسيمة ألفا (Q_{α}) للنوى الزوجية - الزوجية نموذج (R.M)



الشكل (4-20) علاقة لو غاريتم عمر النصف مع طاقة انحلال جسيمة ألفا (Q_{α}) للنوى الزوجية - الزوجية حسب نموذج (F.M.M)

تبيين الأشكال (4-11,12,13,14,15,16,17,18,19,20) علاقة لوغاريتم عمر النصف مع طاقة انحلال ألفا للنوى الزوجية - الزوجية قيد الدرس حسب قاعدة كايكر - نوتال إذ تكون العلاقة عكسية تقريباً، فيما عدا النوى التي تحمل أعداداً سحرية سواءً في عدد البروتونات أو عدد النيوترونات كما في نواة $^{210}_{84}Po_{126}$ و $^{212}_{84}Po_{128}$ و $^{214}_{86}Rn_{128}$ و $^{214}_{88}Ra_{126}$ و $^{218}_{88}Ra_{130}$ إذ تحوي على أعداد سحرية أو أعداد قريبة من الأعداد السحرية وبهذا لا تخضع هذه النوى لتلك النظامية.

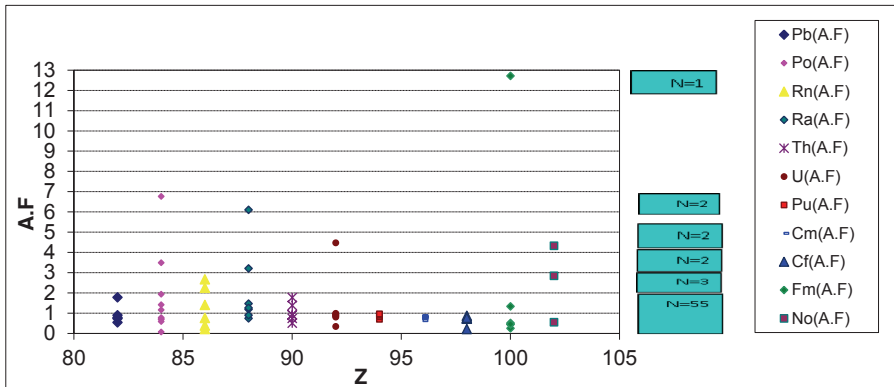
وتجدر الإشارة إلى النوى المتمثلة بـ $^{252}_{98}Cf_{154}$ و $^{254}_{100}Fm_{154}$ و $^{256}_{102}No_{154}$ بالرغم من عدم امتلاكها أعداداً سحرية أو أعداداً قريبة منها فإن لوغاريتم عمر النصف لهذه النوى سواء أكان نظرياً أو عملياً قد سلك سلوك النوى التي تمتلك أعداداً سحرية وهذا الوصف ينطبق على النماذج جميعها.

نتيجة قصر مدى القوى النووية فإن طاقة الترابط الكلية للنواة تتناسب تقريباً مع عددها الكتلي (A) أي عدد النيكلونات في النواة، ومن ناحية أخرى فإن قوى التنافر الالكتروستاتيكية بين البروتونات ذات مدى طويل جداً ولذلك نجد إن الطاقة الالكتروستاتيكية تتناسب تقريباً مع Z^2 وعليه فالنوى ذات عدد كتلي 210 أو أكثر تكون كبيرة جداً بحيث أن القوة النووية قصيرة المدى لا تستطيع أن تحفظ النيكلونات بعضها مع بعض ضد تأثير القوة الالكتروستاتيكية وعليه تنبعث من هذه النوى جسيمات ألفا لكي تساعد على استقرارية النواة عن طريق تقليص حجمها كونها جسيمات تكون مترابطة بقوة عالية جداً فيما بينها، فلكي تنبعث جسيمة من النواة فأنها يجب أن تمتلك طاقة حركية وتكتسب جسيمة ألفا هذه الطاقة بدلاً من نويات مفردة أو نوى 3_2He نتيجة للفرق بين كتلتها وكتلة نيكلوناتها الأربعة المأخوذة من النواة وإن انبعاث جسيمات ألفا فقط هو ممكن إن يحدث تلقائياً حيث $Q_{\alpha} > 0$ في حين يتطلب انبعاث جسيمات أخرى طاقة خارجية لإنجاز عملية الانبعاث (Beiser,2003).

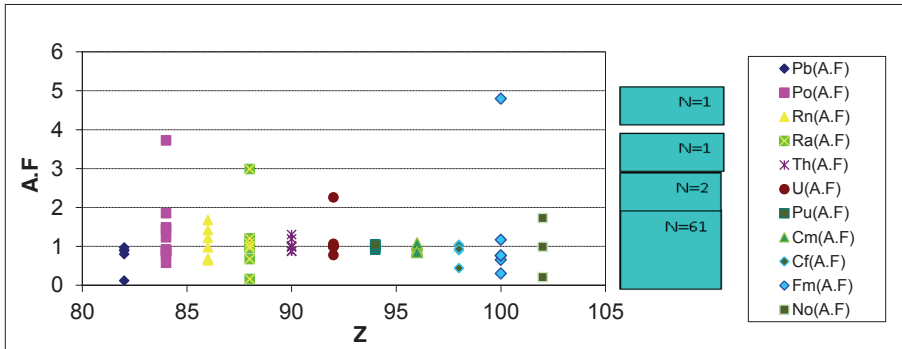
4-5 علاقة معامل التوافق بين القيم العملية والنظرية للوغاريتم العمر النصف مع العدد الذري للنوى:

من العمليات الإحصائية الدقيقة التي يمكن من خلالها اختبار النتائج المحسوبة لعدد من المتغيرات الفيزيائية ومقارنتها مع النتائج العملية المثبتة والمعتمد عليها هو تحديد معامل التوافق الذي احتسب من خلال المعادلة (3-17) من الفصل الثالث وللنماذج جميعها وبناءً على القيم المستحصلة لهذا المعامل يمكن لنا تحديد التوافقات ومدى دقتها ما بين القيم المحسوبة نظرياً والقيم العملية للوغاريتم أعمار النصف للنوى الزوجية- الزوجية قيد الدرس.

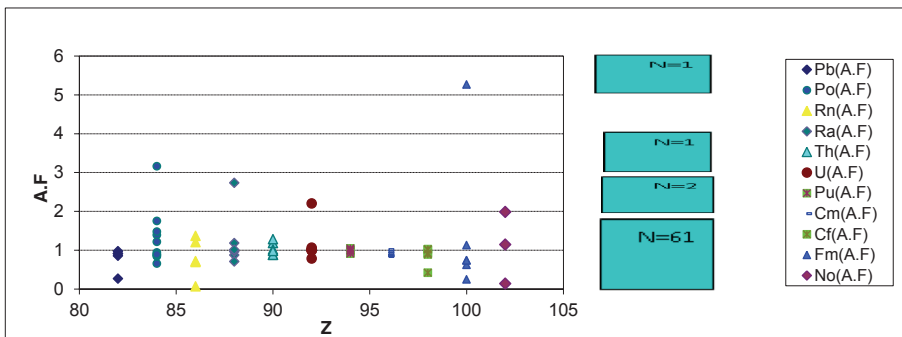
والأشكال (4-21,22,23,24,25,26,27,28,29,30) توضح العلاقة ما بين معامل التوافق والعدد الذري للنوى وللنماذج جميعها.



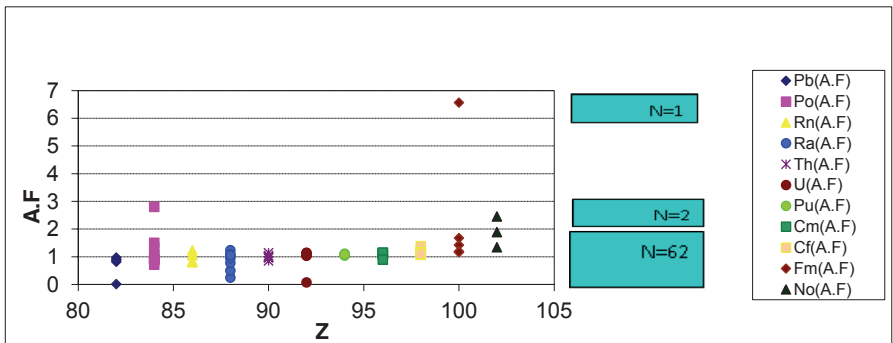
الشكل (4-21) علاقة معامل التوافق (A.F) مع العدد الذري Z للنوى الزوجية - الزوجية حسب نموذج (O.B.M₁)



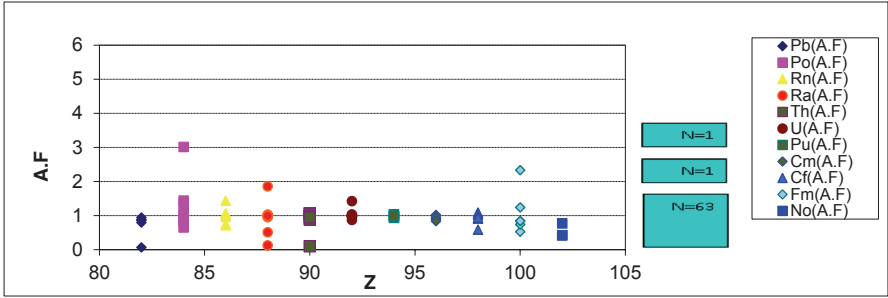
الشكل (4-22) علاقة معامل التوافق (A.F) مع العدد الذري Z للنوى الزوجية - الزوجية حسب أنموذج (O.B.M₂)



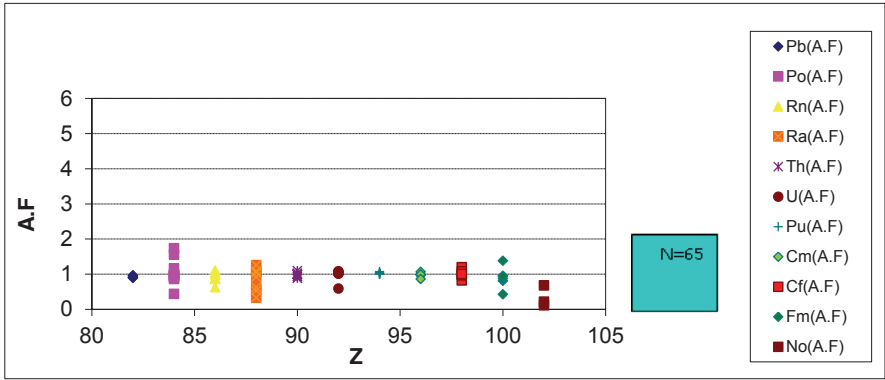
الشكل (4-23) علاقة معامل التوافق (A.F) مع العدد الذري Z للنوى الزوجية - الزوجية حسب أنموذج (O.B.M₃)



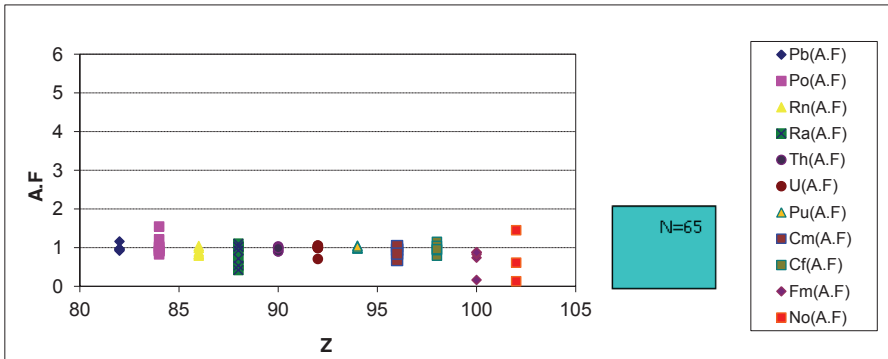
الشكل (4-24) علاقة مع معامل التوافق (A.F) مع العدد الذري Z للنوى الزوجية - الزوجية حسب أنموذج (W.M)



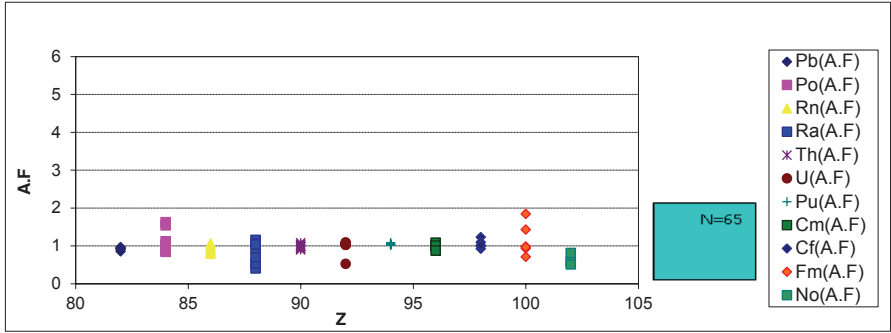
الشكل (4-25) علاقة معامل التوافق (A.F) مع العدد الذري Z للنوى الزوجية - الزوجية حسب أنموذج (T.N.M)



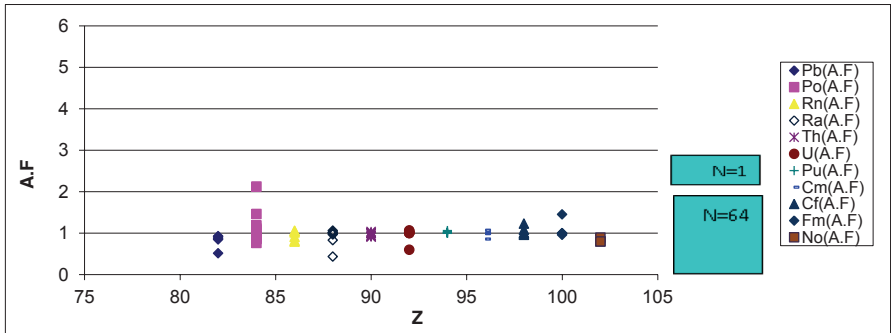
الشكل (4-26) علاقة معامل التوافق (A.F) مع العدد الذري Z للنوى الزوجية - الزوجية حسب أنموذج (K.M.M)



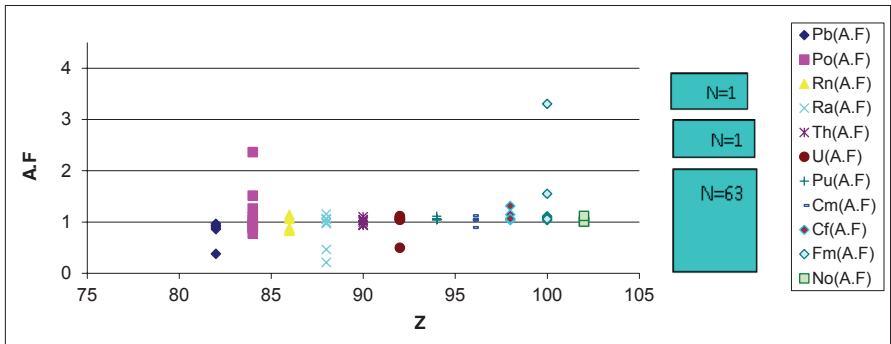
الشكل (4-27) علاقة معامل التوافق (A.F) مع العدد الذري Z للنوى الزوجية - الزوجية حسب أنموذج (H.M)



الشكل (4-28) علاقة معامل التوافق (A.F) مع العدد الذري Z للنوى الزوجية - الزوجية حسب نموذج (K.M)



الشكل (4-29) علاقة معامل التوافق (A.F) مع العدد الذري Z للنوى الزوجية - الزوجية حسب نموذج (R.M)



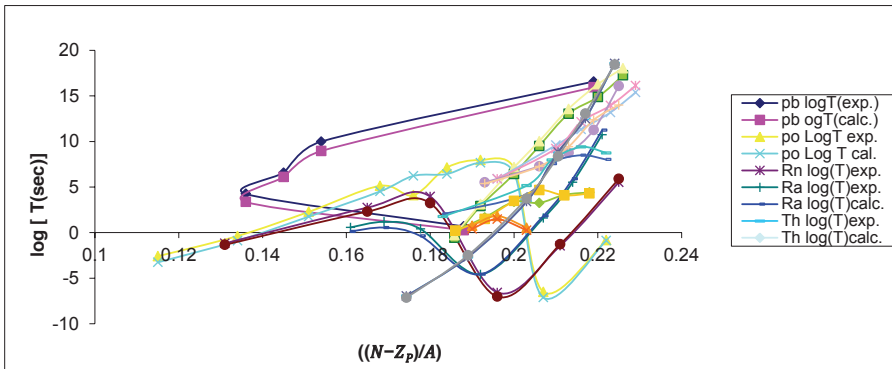
الشكل (4-30) علاقة معامل التوافق (A.F) مع العدد الذري Z للنوى الزوجية - الزوجية حسب نموذج (F.M.M)

يتضح جلياً من الأشكال (4-21,22,23,24,25,26,27,28,29,30) إن معظم النوى تقع ضمن المدى (0-2) إذ نلاحظ من النماذج (K.M.M) و (H.M) و (K.M) إن عدد النوى التي وقعت ضمن المدى (0-2) كعامل توافق مقدارها 65 نواة. وإن الأنموذج (R.M) قد أعطى 64 نواة ضمن المدى (0-2) ونواة واحدة خارج هذا المدى، والأنموذج (T.N.M) وأنموذج فراس وميان (F.M.M) قد أعطت 63 نواة ضمن المدى (0-2) ونواتين خارج هذا المدى، أما الأنموذج (W.M) فقد أعطى 62 نواة ضمن المدى (0-2) وثلاث نويات خارج هذا المدى، في حين إن الأنموذجين (O.B.M₂) و (O.B.M₃) قد أعطيا 61 نواة ضمن المدى (0-2) وأربع نويات خارج هذا المدى. أما الأنموذج (O.B.M₁) فقد أعطى 55 نواة ضمن المدى (0-2) وعشرة نويات قد توزعت على عدة مديات.

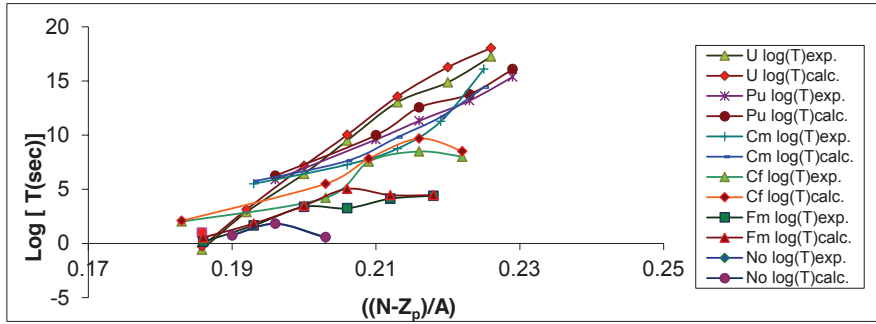
ويمكننا القول بأن النماذج (K.M.M) و (H.M) و (K.M) فضلاً عن الأنموذجين (R.M) و (F.M.M) تعد من النماذج التي أعطت أقل ما يمكن من التباينات وبهذا قد توافقت القيم المحسوبة نظرياً مع القيم العملية للوغاريتم اعمار النصف للنوى الزوجية - الزوجية المتداولة ، هذا ما وضحه أيضاً الجدول (4-1) المتعلق بقيم الانحراف عن معدل الجذر التربيعي (rmsd) وقيم الانحراف المعياري (σ).

4-6 علاقة لوغاريتم عمر النصف مع نسبة زيادة النيوترونات : $\left(\frac{N-Z_p}{A}\right)$

يعتمد انموذج فراس وميان (F.M.M) في تفسير نظرية انحلال ألفا وتقدير لوغاريتم اعمار النصف للنوى الزوجية - الزوجية قيد الدراسة في احد حدوده الأساسية على الحد الذي يمثل نسبة زيادة النيوترونات $\left(\frac{N-Z_p}{A}\right)$. يبين الشكل (4-31) والشكل (4-32) علاقة لوغاريتم عمر النصف طبقاً لنسبة زيادة النيوترونات $\left(\frac{N-Z_p}{A}\right)$ للنوى المحصورة ما بين $82 \leq Z \leq 90$ والنوى ضمن المدى $92 \leq Z \leq 102$ على التوالي.



الشكل (4-31) علاقة $\left(\frac{N-Z_p}{A}\right)$ مع لوغاريتم عمر النصف للنوى الزوجية - الزوجية حسب أنموذج (F.M.M) وللنوى ضمن المدى $82 \leq Z \leq 90$



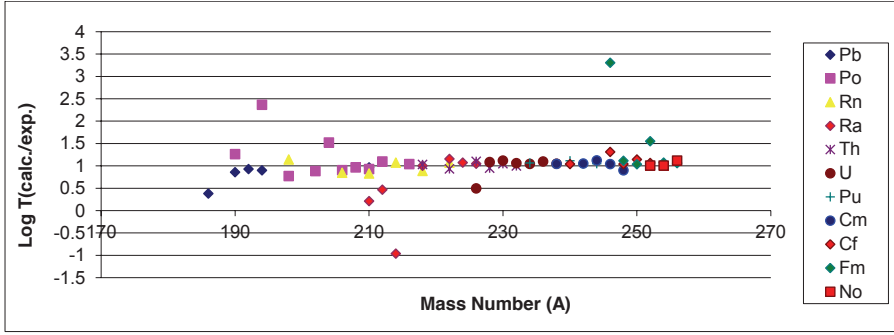
الشكل (4-32) علاقة لوغاريتم عمر النصف مع زيادة النيوترونات النسبية حسب نموذج (F.M.M) وللنوى ضمن المدى $92 \leq Z \leq 102$

نلاحظ من خلال الشكل (4-31) أن لوغاريتم عمر النصف العملي والنظري للنوى ذوات المدى $82 \leq Z \leq 90$ ونظائرها لاتعطي زيادة طردية دائماً مع نسبة زيادة النيوترونات $\left(\frac{N-Zp}{A}\right)$ ويعزى السبب في ذلك إلى امتلاك بعض النوى ونظائرها في المدى المذكور في أعلاه أعداداً سحرية سواء في العدد الذري أو عدد النيوترونات أو أعداد قريبة من الأعداد السحرية كما ذكر ذلك مسبقاً في الفقرة (4-1) من هذا الفصل. في حين نلاحظ من خلال الشكل (4-32) أن لوغاريتم عمر النصف العملي والنظري لمعظم النوى ذوات المدى $92 \leq Z \leq 102$ ونظائرها يزداد طردياً مع نسبة زيادة النيوترونات $\left(\frac{N-Zp}{A}\right)$ بمعنى أن إضافة هذا الحد أعطى زيادة نسبية للوغاريتم عمر النصف لهذه النوى.

4-7 علاقة النسبة بين لوغاريتم عمر النصف النظري إلى العملي مع العدد الكتلي للنوى قيد الدرس طبقاً لـ نموذج فراس وميان (F.M.M):

يبين الشكل (4-33) علاقة النسبة بين لوغاريتم عمر النصف النظري إلى العملي مع العدد الكتلي للنوى الزوجية – الزوجية قيد الدرس، إذ يتبين بأن النسبة تتمحور حول القيمة واحد تقريباً لمعظم النوى مما يؤكد التقارب الكبير ما بين القيم المحسوبة نظرياً للوغاريتم العمر النصف مع القيم العملية طبقاً لـ نموذج فراس وميان (F.M.M) وبهذا تعد تلك النسبة من الاختبارات المهمة إلى جانب الاختبارات التي قمنا بها سابقاً ولاسيما قيم الانحراف عند معدل الجذر التربيعي (rmsd) والانحراف المعياري (σ) فضلاً عن معامل التوافق (A.F).

يبين الشكل (4-33) علاقة النسبة بين لوغاريتم عمر النصف النظري إلى العملي مع العدد الكتلي للنوى الزوجية – الزوجية قيد الدرس



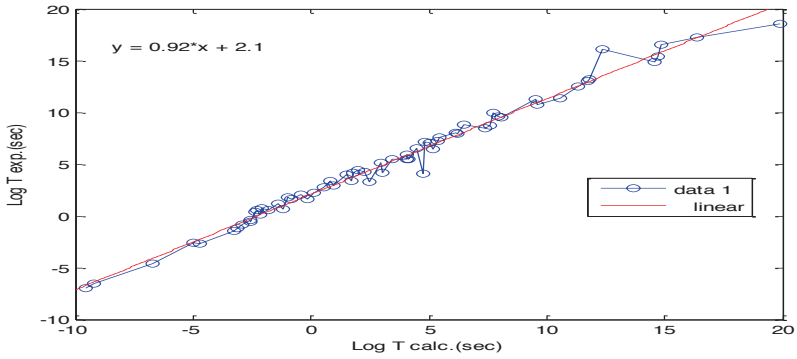
الشكل (4-33) علاقة النسبة بين لوغاريتم عمر النصف النظري إلى العملي مع العدد الكتلي A

4-8 منحنيات المعايرة ما بين القيم العملية والنظرية للوغاريتم العمر النصفى للنوى المدروسة:
 تبين الأشكال (4-34,35,36,37,38,39,40,41,42,42) العلاقة القوية ما بين لوغاريتم العمر النصفى العملي إلى النظري للنماذج المتداولة جميعها وانموذج فراس وميان (F.M.M).
 إذ يبين الجدول (4-2) معادلات الملائمة للنماذج المتداولة والأنموذج المقترح التي تضم قيم الميل m وثوابت الملائمة.

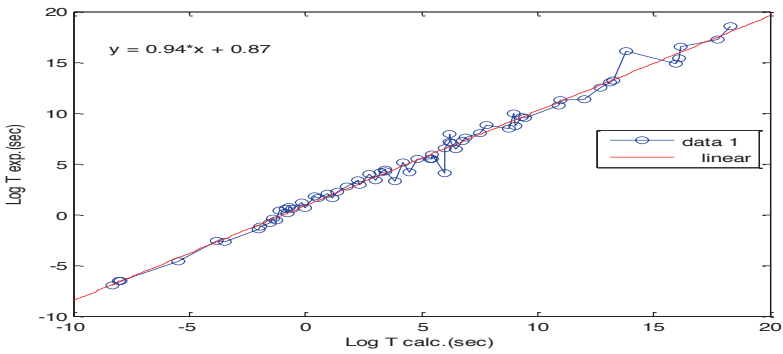
جدول (4-2) : يبين معادلات الملائمة للنماذج المتداولة جميعها وانموذج فراس وميان.

النماذج	معادلات الملائمة
O.B.M ₁	$y = 0.92X + 2.1$
O.B.M ₂	$y = 0.94X + 0.87$
O.B.M ₃	$y = 0.94X + 0.88$
W.M	$y = 0.97X + 0.072$
T.N.M	$y = 0.99X + 0.52$
K.K.M	$y = 0.99X + 0.048$
H.M	$y = 1X + 0.098$
K.M	$y = 0.98X + 0.048$
R.M	$y = 1X + 0.12$
F.M.M	$y = 0.96X + 0.073$

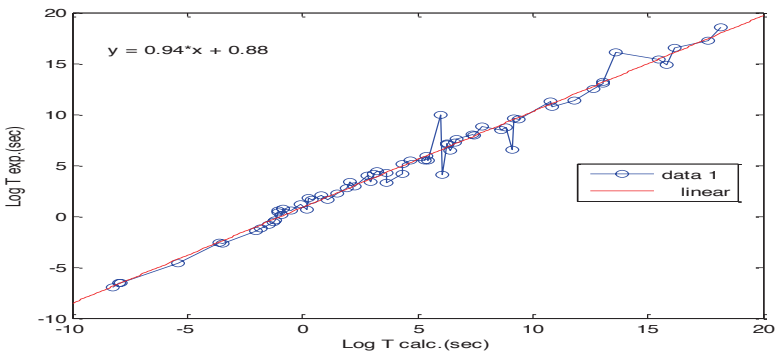
يتضح من الجدول في اعلاه ان أنموذج (H.M) يعد من النماذج التي يمكن ان نعول عليها في تقريب قيم لوغاريتم عمر النصف النظري والعملي كونه أعطى قيم لـ m تساوي واحد الى جانب انموذج فراس وميان. وان درجة الملائمة لجميع المعادلات اعلاه تقدر بـ 0.94.



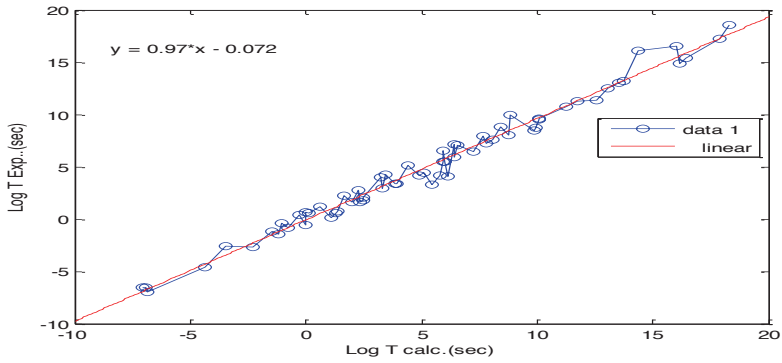
الشكل (4-34) العلاقة بين لوغاريتم العمر النصفى العملي الى النظري لامتودج (O.B.M₁)



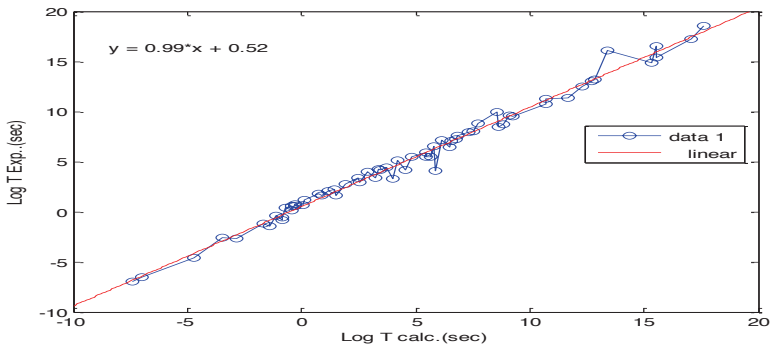
الشكل (4-35) العلاقة بين لوغاريتم العمر النصفى العملي الى النظري لامتودج (O.B.M₂)



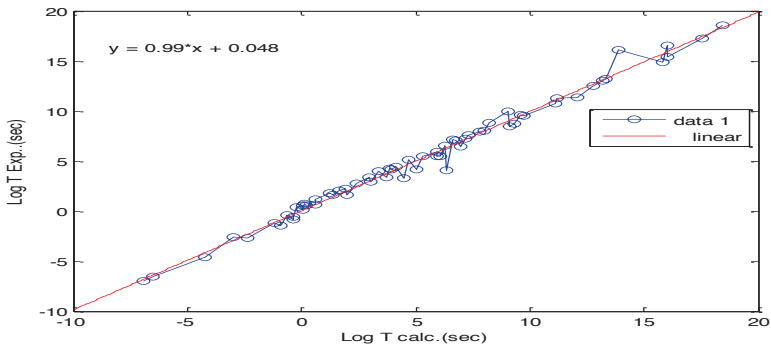
الشكل (4-36) العلاقة بين لوغاريتم العمر النصفى العملي الى النظري لامتودج (O.B.M₃)



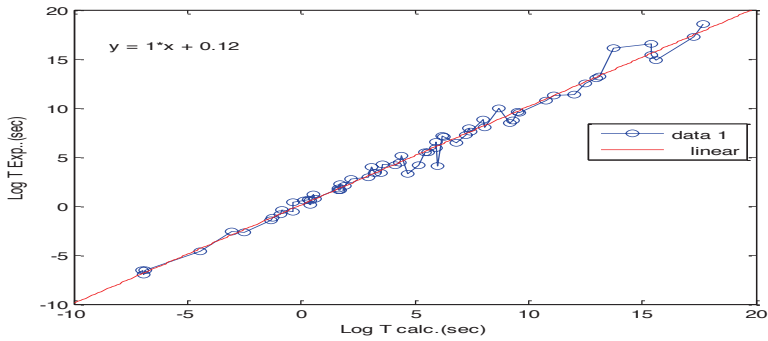
الشكل (4-37) العلاقة بين لوغاريتم العمر النصفى العملي الى النظري لانموذج (W.M)



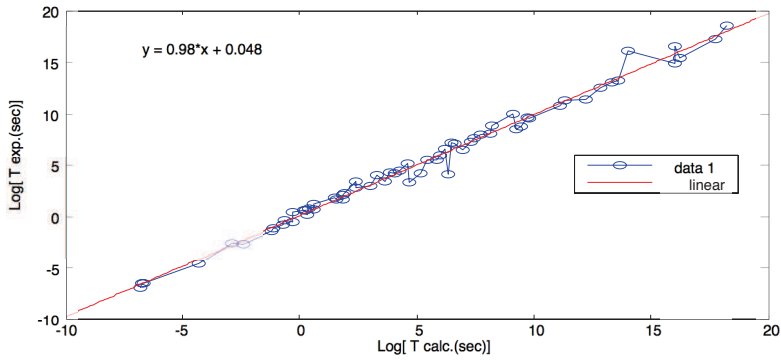
الشكل (4-38) العلاقة بين لوغاريتم العمر النصفى العملي الى النظري لانموذج (T.N.M)



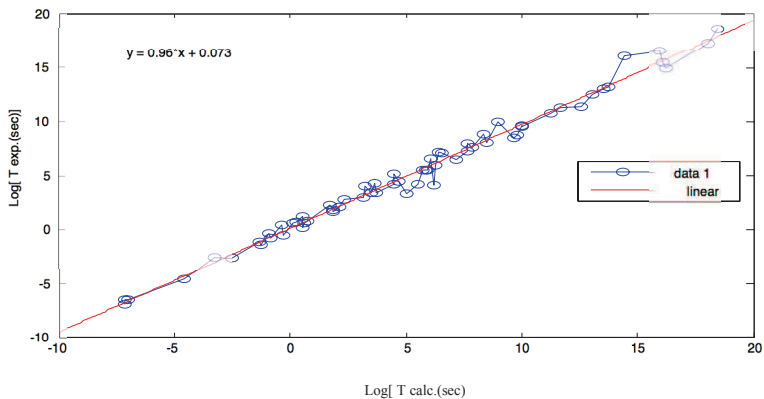
الشكل (4-39) العلاقة بين لوغاريتم العمر النصفى العملي الى النظري لانموذج (K.M.M)



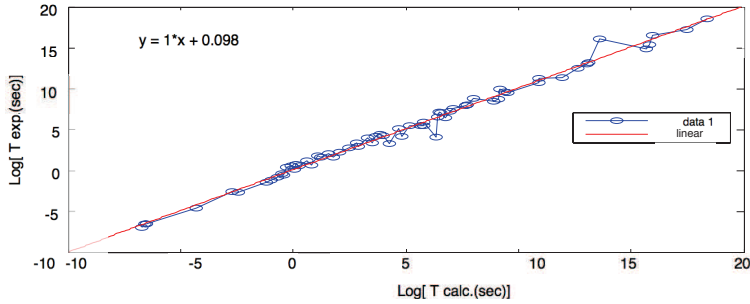
الشكل (4-40) العلاقة بين لوغاريتم العمر النصفى العملي الى النظري لانموذج (R.M)



الشكل (4-41) العلاقة بين لوغاريتم العمر النصفى العملي الى النظري لانموذج (K.M)



الشكل (4-42) العلاقة بين لوغاريتم العمر النصفى العملي الى النظري لانموذج (F.MM)



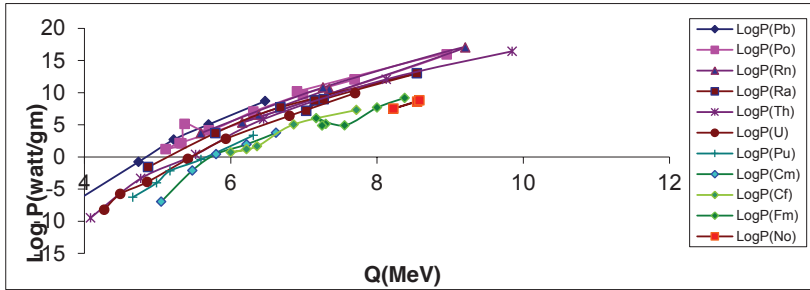
الشكل (4-43) العلاقة بين لوغاريتم العمر النصف العملي الى النظري لانموذج (H. M)

نلاحظ من الأشكال (4-34,35,36,37,38,39,40,41,42,43) إن قيمة المعامل (m) تقدر بـ (0.96) لأنموذج فراس وميان و (0.98) لأنموذج كورا و (1) للأنموذجين (H.M) و (R.M) وتقدر قيمة m لأنموذج (T.N.M) وأنموذج (K.M.M) بـ (0.99) ولأنموذج (W.M) تساوي (0.97) و (0.92) لأنموذج (O.B.M₁) و (0.94) للأنموذجين (O.B.M₂) و (O.B.M₃) إذ إن m يمثل ميل العلاقة وكلما كان الميل قريباً من الواحد اقتربنا من توافقات أكثر دقة ما بين القيم العملية والنظرية للوغاريتم العمر النصف العملي إذ يتضح أن الأنموذج (H.M) يُعد من النماذج التي يمكن أن نعول عليها في توصيف نظرية انبعاث ألفا إلى جانب أنموذج فراس وميان وهذا ما أكدته القيم الإحصائية المثبتة في الجدول (4-2) وإن النماذج المتداولة الأخرى بالتأكيد ستعطي قيم لـ m مقاربة لقيم الأنموذجين (F.M.M) و (H.M) ما عدا الأنموذج (O.B.M₁). ومن الجدير بالذكر انه على الرغم من قيمة (rmsd) التي تكون لأنموذج روير أعلى من أنموذج كورا وكما موضح في الجدول (4-2) إلا إن أنموذج كورا أعطى قيمة لـ (m=0.98) في حين ان أنموذج روير أعطى قيمة لـ (m=1) و يؤدي الثابت في معادلة الملاءمة دوراً في تقريب قيم لوغاريتم عمر النصف النظري من العملي. فعلى سبيل المثال لو أخذنا نواة ¹⁹⁴Pb وطبقنا عليها معادلات الملاءمة للأنموذجين كورا وروير نجد أن نسبة التطابق بين لوغاريتم عمر النصف العملي والنظري هي 98% لأنموذج روير في حين كانت هذه النسبة تقريباً 100% لأنموذج كورا.

4-9 علاقة القدرة الناتجة طبقاً لطاقة جسيمات ألفا المنحلة:

بعد تطبيق المعادلات التي اشرنا إليها في الفقرة (4-2) من الفصل الثاني الخاصة بتطبيقات انحلال ألفا تم الحصول على القدرة الناتجة عند كل نواة منحلة بوحدات (watt/gm) إذ يوضح الجدول (5) المثبت في الملحق A قيم طاقات جسيمات ألفا المنحلة والقدرة الناتجة عن كل انحلال ولوغاريتم القدرة الناتجة وللنوى جميعها.

يوضح الشكل (4-44) العلاقة بين لوغاريتم القدرة الناتجة بوحدات مع طاقات جسيمات ألفا المنحلة.



الشكل (4-44) علاقة لوغاريتم القدرة مع طاقة انحلال جسيمات ألفا بوحدات (MeV)

يوضح الشكل (4-44) العلاقة بين لوغاريتم القدرة الناتجة مع طاقات جسيمات ألفا المنحلة إذ تزداد القدرة الناتجة بزيادة طاقة جسيمات ألفا المنحلة لمعظم الحالات، و يمكن الاستفادة من تلك الطاقة في كثير من التطبيقات التكنولوجية ولاسيما للنوى التي تبعث جسيمات ألفا بطاقات أحادية وبمعدل ثابت.

4-10 الاستنتاجات :

- 1- أظهرت النماذج المتداولة ($O.B.M_2$) و ($O.B.M_3$) ($K.M.M$) و ($H.M$) و ($K.M$) و ($W.M$)($R.M$) و ($T.N.M$) وانموذج فراس وميان ($F.M.M$) من خلال قيم (rmsd) و (σ) ومعامل التوافق (AF) تقاربات مقبولة وجيدة بين لوغاريتم عمر النصف العملي والنظري فيما عدا الأنموذج ($O.B.M_1$)، إذ يمكن الاعتماد عليهم في وصف انبعاث جسيمة ألفا وتحديد الاعمار النصفية للنوى الزوجية – الزوجية قيد الدرس.
- 2- أظهرت النسبة ما بين القيمة النظرية إلى القيمة العملية لإعمار أنصاف النوى المدروسة مع العدد الكتلي (A) قيمة تتمحور حول الواحد مما يدل على إمكانية الاعتماد على انموذج فراس وميان في تفسير نظرية انبعاث ألفا.
- 3- أظهرت المتغيرات التي اعتمدها في اقتراح أنموذجنا الحالي ولاسيما قيم الأعداد الذرية للنوى الوليدة إلى جانب قيمة أنصاف أقطار النوى التي تضمنها أنموذج الجسيم الواحد، فضلاً عن قيم الثوابت المستحصلة من خلال الملاءمة، صحتها في حصول توافقات جيدة.
- 4- إن اعتماد طاقة الانحلال على A أو (Z,N) يكون منتظماً فيما عدا القيم التي تمثل أعداداً سحرية وهذه الخواص مشابهة لما هو متوقع من القانون شبه التجريبي للكتلة.
- 5- إن عمر نصف النوى التي لها قيمة معينة للعدد الذري Z هو عبارة عن دالة مستمرة لطاقة الانحلال ولا سيما بالنسبة للنوى الزوجية – الزوجية وهذه العلاقة تعكس طبيعة عملية الانحلال.
- 6- يمكن اعتماد المعادلات المستحصلة من منحنيات المعايرة في حساب لوغاريتم العمر النصفى للنوى قيد الدرس التي بينت أن انموذج فراس وميان أعطى قيمة m قريبة من الواحد مما يدل على التقارب ما بين القيم العملية والنظرية للوغاريتم العمر النصفى.
- 7- أظهرت قيم القدرة الناتجة بوحدة watt/gm زيادات طردية مع زيادة طاقة جسيمة ألفا المنحلة لمعظم النوى التي يمكن توظيفها والاستفادة منها في العديد من التطبيقات المهمة في التكنولوجيا الحديثة.

4-11 المقترحات:

- 1- استخدام علاقتنا شبه التجريبية المتمثلة ب F.M.M لنوى زوجية - زوجية تمتد إلى ($Z=130$).
- 2- استخدام علاقتنا شبه التجريبية المتمثلة ب F.M.M ضمن المدى من $Z=82$ إلى $Z=130$ لبقية النوى الفردية - الفردية، الزوجية - الفردية إلى جانب النوى الفردية - الزوجية مع إضافة الحد الذي يمثل تأثير الزخم الزاوي لما له من أهمية في تحديد أعمار النصف وفي حالة عدم تطابق القيم النظرية والعملية عندها يلزم إعادة عملية الملاءمة للحصول على ثوابت جديدة.
- 3- محاولة اقتراح طريقة نظرية لحساب طاقة انحلال جسيمة ألفا Q_α ومقارنتها بالقيم العملية من دون معرفة طاقة الانحلال الكلية والمتمثلة بالمعادلة (2-7) معتمدين على طاقة الارتباط الكلية لجسيمة ألفا.
- 4- تحديد الأعمار النصفية الثقيلة جداً (Super heavy) من انحلال الانشطارات التلقائي كونه الانحلال المهيمن في تلك النوى، من خلال اقتراح علاقة شبه تجريبية مع إدخال الحد المتمثل بنسبة زيادة النيوترونات $(\frac{N-Z}{A})$ ومقارنتها مع القيم العملية .

السلامة



الملحق A :

جدول (1): الأعداد الكتلية والذرية وعدد النيوترونات والقيم العملية لطاقتات انحلال ألفا بوحدات MeV ومقارنة بين القيم العملية للوغاريتم اعمار أنصاف النوى مع القيم النظرية حسب النماذج (O.B.M₁) و(O.B.M₂) و(O.B.M₃)

A , Z , N	Q _α (MeV)	logT(exp.)	logT(calc.) for O.B.M ₁	logT(calc.) for O.B.M ₂	logT(calc.) for O.B.M ₃
186,82,104	6.47	0.68	-1.2069	-0.0211	0.1799
190,82,108	5.697	4.25	2.2649	3.4701	3.633
192,82,110	5.221	6.57	4.797	6.0148	9.104
194,82,116	4.738	9.99	7.7541	8.9862	5.9927
210,82,128	3.792	16.57	14.863	16.1457	16.1433
190,84,106	7.693	-2.59	-4.9918	-3.7998	-3.6062
194,84,110	6.987	-0.38	-2.5678	-1.3604	-1.2007
198,84,114	6.309	2.27	0.1443	1.3682	1.4934
202,84,118	5.701	5.13	2.9818	4.2233	4.313
204,84,120	5.37	4.1	4.7356	5.9858	6.0581
206,84,122	5.327	7.14	4.9373	6.1912	6.251
208,84,124	5.11	7.96	6.1808	6.1912	7.486
210,84,126	5.3	7.07	5.0058	6.2658	6.3024
212,84,128	8.954	-6.52	-9.2189	-8.0098	-7.9308
216,84,132	6.906	-0.84	-2.9271	-1.5016	-1.4695
198,86,112	7.349	-1.18	-3.1514	-1.9258	-1.7856
206,86,120	6.384	2.74	0.5674	1.8192	1.8975
210,86,124	6.159	3.95	1.5173	2.7786	2.8301
214,86,128	9.208	-6.57	-9.2148	-7.9883	-7.9191
218,86,132	7.263	-1.46	-3.2779	-2.0232	-1.999
222,86,136	5.59	5.52	4.1596	5.448	5.422
210,88,122	7.152	0.57	-1.8263	-0.5634	-0.4976
212,88,124	7.032	1.18	-1.399	-0.1315	-0.079
214,88,126	7.273	0.39	-2.378	-1.1113	-1.0666
218,88,130	8.546	-4.59	-6.7309	-5.4749	-5.4365
222,88,134	6.679	1.59	-0.1552	1.1313	1.1225
224,88,136	5.789	5.52	4.0574	5.3627	5.3269
226,88,138	4.871	10.73	9.5718	10.9008	10.8331
218,90,128	9.849	-6.96	-9.5359	-8.2762	-8.2262
222,90,132	8.127	-2.69	-4.7378	-3.4543	-3.445
226,90,136	6.45	3.39	1.7024	3.0159	2.9786
228,90,138	5.52	8.825	6.4979	7.8324	7.766
230,90,140	4.77	12.49	11.3462	12.7018	12.6561
232,90,142	4.083	18.55	16.9175	18.297	18.1694
226,92,134	7.701	-0.57	-2.5472	-1.2354	-1.2561
228,92,136	6.803	2.9	0.989	2.3169	2.2717
230,92,138	5.933	6.43	5.1605	6.507	6.435
232,92,140	5.414	9.5	8.1017	9.4621	9.368
234,92,142	4.858	13.04	11.7712	13.1483	13.0294
236,92,144	4.49	14.87	14.5558	15.9462	15.806
238,92,146	4.27	17.25	16.3757	17.7757	17.6179
234,94,140	6.31	5.89	4.0977	5.46	5.3702
238,94,144	5.593	9.59	7.9392	9.3215	9.1955
240,94,146	5.17	11.316	10.5865	11.9816	11.8348
242,94,148	4.985	13.18	11.8273	13.2298	13.0676
244,94,150	4.66	15.37	14.6974	16.1135	15.4527
238,96,142	6.62	5.51	3.4426	4.822	4.7128
242,96,146	6.216	7.28	5.374	6.7662	6.628
244,96,148	5.8	8.755	7.623	9.0265	8.8691
246,96,150	5.475	11.26	9.5497	10.9632	10.7879
248,96,152	5.05	16.09	12.3628	13.7896	13.5932
240,98,142	7.719	2.03	-0.4268	0.9457	0.849
246,98,148	6.862	4.21	3.0598	4.4628	4.3114
248,98,150	6.361	7.56	5.4597	6.8744	6.7033
250,98,152	6	8.49	7.3637	8.7883	8.5995
252,98,154	6.217	8.01	6.1336	7.5563	7.3616
246,100,146	8.378	0.17	-2.1608	-0.7636	-0.8959
248,100,148	8.002	1.66	-0.8459	0.559	0.411
250,100,150	7.557	3.38	0.8469	2.2609	2.0958
252,100,152	7.17	3.254	2.4431	3.8658	3.6841
254,100,154	7.301	4.14	1.8036	3.2266	3.0667
256,100,156	7.25	4.405	2.0126	3.4391	3.238
252,102,150	8.55	0.74	-2.1008	-0.6814	-0.8469
254,102,152	8.226	1.82	-0.9914	0.4349	0.2546
256,102,154	8.581	0.53	-2.2897	-0.8656	-1.0515

جدول (2): الأعداد الكتلية والذرية وعدد النيوترونات والقيم العملية لطاقات انحلال ألفا بوحدات MeV ومقارنة بين القيم العملية للوغاريتم اعمار أنصاف النوى مع القيم النظرية حسب النماذج (W.M) و(T.N.M) و(K.M.M)

A, Z, N	Q_α (MeV)	logT(exp.)	logT(calc.) for W.M	logT(calc.) for T.N.M	logT(calc.) for K.M.M
186,82,104	6.47	0.68	0.0056	0.0429	0.6058
190,82,108	5.697	4.25	3.4479	3.369	3.8535
192,82,110	5.221	6.57	5.9382	5.7752	6.2597
194,82,116	4.738	9.99	8.8396	8.5786	9.0632
210,82,128	3.792	16.57	16.0536	15.549	16.0336
190,84,106	7.693	-2.59	-3.4749	-3.4895	-3.0067
194,84,110	6.987	-0.38	-1.0625	-1.1426	-0.6598
198,84,114	6.309	2.27	1.6256	1.4727	1.9554
202,84,118	5.701	5.13	4.4335	4.2044	4.6872
204,84,120	5.37	4.1	6.1589	5.883	6.3658
206,84,122	5.327	7.14	6.3947	6.1125	6.5953
208,84,124	5.11	7.96	7.6301	7.3144	7.7972
210,84,126	5.3	7.07	6.5443	6.258	6.7408
212,84,128	8.954	-6.52	-7.0506	-6.9683	-6.4855
216,84,132	6.906	-0.84	-0.7623	-0.8505	-0.3677
198,86,112	7.349	-1.18	-1.4576	-1.6906	-1.2096
206,86,120	6.384	2.74	2.2572	1.9472	2.4283
210,86,124	6.159	3.95	3.2466	2.9162	3.3972
214,86,128	9.208	-6.57	-6.8896	-7.0101	-6.529
218,86,132	7.263	-1.46	-1.1569	-1.3961	-0.9151
222,86,136	5.59	5.52	6.0101	5.6224	6.1034
210,88,122	7.152	0.57	0.1367	-0.2905	0.1888
212,88,124	7.032	1.18	0.583	0.1494	0.6287
214,88,126	7.273	0.39	-0.3022	-0.7229	-0.2436
218,88,130	8.546	-4.59	-4.3388	-4.7009	-4.2216
222,88,134	6.679	1.59	1.9652	1.5115	1.9908
224,88,136	5.789	5.52	5.9949	5.4827	5.962
226,88,138	4.871	10.73	11.2601	10.6714	11.1507
218,90,128	9.849	-6.96	-6.866	-7.4016	-6.924
222,90,132	8.127	-2.69	-2.2735	-2.8484	-2.3708
226,90,136	6.45	3.39	3.8668	3.2396	3.7171
228,90,138	5.52	8.825	8.4223	7.7561	8.2337
230,90,140	4.77	12.49	13.0294	12.3239	12.8015
232,90,142	4.083	18.55	18.32	17.5694	18.4366
226,92,134	7.701	-0.57	-0.0409	-0.8108	-0.335
228,92,136	6.803	2.9	3.3077	2.5286	3.0044
230,92,138	5.933	6.43	7.2525	6.4625	6.9383
232,92,140	5.414	9.5	10.0463	9.2486	9.7244
234,92,142	4.858	13.04	13.523	12.7157	13.1916
236,92,144	4.49	14.87	16.1713	15.3568	15.8326
238,92,146	4.27	17.25	17.9156	17.0963	17.5721
234,94,140	6.31	5.89	6.3984	5.4645	5.9387
238,94,144	5.593	9.59	10.0537	9.1302	9.6043
240,94,146	5.17	11.316	12.5584	11.642	12.1161
242,94,148	4.985	13.18	13.7528	12.8398	13.3139
244,94,150	4.66	15.37	16.4655	15.5602	16.0343
238,96,142	6.62	5.51	5.938	4.8469	5.3194
242,96,146	6.216	7.28	7.804	6.7283	7.2007
244,96,148	5.8	8.755	9.9256	8.8675	9.3399
246,96,150	5.475	11.26	11.7488	10.7057	11.1782
248,96,152	5.05	16.09	14.3936	13.3724	13.8488
240,98,142	7.719	2.03	2.4895	1.1894	1.6601
246,98,148	6.862	4.21	5.8163	4.5611	5.0318
248,98,150	6.361	7.56	8.0654	6.8406	7.3113
250,98,152	6	8.49	9.8579	8.6573	9.128
252,98,154	6.217	8.01	8.7617	7.5463	8.017
246,100,146	8.378	0.17	1.1157	-0.3962	0.0728
248,100,148	8.002	1.66	2.3586	0.8698	1.3388
250,100,150	7.557	3.38	3.9478	2.4885	2.9575
252,100,152	7.17	3.254	5.4485	4.0171	4.4861
254,100,154	7.301	4.14	4.8997	3.4581	3.9271
256,100,156	7.25	4.405	5.1284	3.6911	4.1601
252,102,150	8.55	0.74	1.3955	-0.3082	0.1591
254,102,152	8.226	1.82	2.4447	0.7656	1.233
256,102,154	8.581	0.53	1.2982	-0.4078	0.0595

جدول (3): الأعداد الكتلية والذرية وعدد النيوترونات والقيم العملية لطاقات انحلال ألفا بوحدات MeV ومقارنة بين القيم العملية للوغاريتم اعمار أنصاف النوى مع القيم النظرية حسب النماذج (H.M) و (K.M) و (R.M).

A , Z ,N	Q_{α} (MeV)	logT(exp.)	logT(calc.)for H.M	log T (calc.)for K.M	logT(calc.) for R.M
186,82,104	6.47	0.68	0.7907	0.5826	0.348
190,82,108	5.697	4.52	4.0227	3.8751	3.5928
192,82,110	5.221	6.57	6.4037	6.1811	5.9586
194,82,116	4.738	9.99	9.2034	9.1226	8.7219
210,82,128	3.792	16.57	15.9549	16.0239	15.3877
190,84,106	7.693	-2.59	-2.6757	-2.8894	-3.0723
194,84,110	6.987	-0.38	-0.462	-0.6166	-0.8073
198,84,114	6.309	2.27	2.0427	1.9453	1.7271
202,82,118	5.701	5.13	4.6879	4.6441	4.3792
204,84,120	5.37	4.1	6.3351	6.3191	6.0182
206,84,122	5.327	7.14	6.5187	6.518	6.2097
208,84,124	5.11	7.96	7.6894	7.7115	7.373
210,84,126	5.3	7.07	6.5695	6.5968	6.2804
212,84,128	8.954	-6.52	-6.5595	-6.7048	-6.9703
216,84,132	6.906	-0.84	-0.6957	-0.7066	-0.9312
198,86,112	7.349	-1.18	-0.9766	-1.0992	-1.2451
206,86,120	6.384	2.74	2.4447	2.419	2.2326
210,86,124	6.159	3.95	3.319	3.3298	3.1246
214,86,128	9.208	-6.57	-6.5192	-6.6415	-6.8611
218,86,132	7.263	-1.46	-1.1593	-1.1523	-1.3287
222,86,136	5.59	5.52	5.7614	5.8751	5.6073
210,88,122	7.152	0.57	0.2421	0.2289	0.1076
212,88,124	7.032	1.18	0.6308	0.6361	0.5088
214,88,126	7.273	0.39	-0.2808	-0.2747	-0.324
218,88,130	8.546	-4.59	-4.2668	-4.3032	-4.443
222,88,134	6.679	1.59	1.7521	1.8368	1.6838
224,88,136	5.789	5.52	5.6902	5.8302	5.6109
226,88,138	4.871	10.73	10.9118	11.1065	10.7533
218,90,128	9.849	-6.96	-6.7313	-6.8155	-6.9513
222,90,132	8.127	-2.69	-2.4333	-2.3987	-2.4834
226,90,136	6.45	3.39	3.5052	3.6493	3.5163
228,90,138	5.52	8.825	8.0129	8.2135	7.9855
230,90,140	4.77	12.49	12.62	12.8672	12.506
232,90,142	4.083	18.55	18.3625	18.2509	17.7027
226,92,134	7.701	-0.57	-0.4035	-0.2982	-0.3418
228,92,136	6.803	2.9	2.8655	3.0282	2.9512
230,92,138	5.933	6.43	6.7721	6.9889	6.837
232,92,140	5.414	9.5	9.5496	9.8031	9.5789
234,92,142	4.858	13.04	13.0396	13.3309	12.9999
236,92,144	4.49	14.87	15.7008	16.0212	15.5977
238,92,146	4.27	17.25	17.4433	17.7862	17.2968
234,94,140	6.31	5.89	5.7884	6.0354	5.9483
238,94,144	5.593	9.59	9.4037	9.7095	9.53
240,94,146	5.17	11.316	11.9151	12.2529	11.9978
242,94,148	4.985	13.18	13.0928	13.6336	13.1565
244,94,150	4.66	15.37	15.8348	16.2237	15.3882
238,96,142	6.62	5.51	5.1909	5.4708	5.439
242,96,146	6.216	7.28	6.9936	7.3176	7.2421
244,96,148	5.8	8.755	9.1124	9.4686	9.3377
246,96,150	5.475	11.26	10.9348	11.3187	11.1339
248,96,152	5.05	16.09	13.6106	14.0268	13.7554
240,98,142	7.719	2.03	1.6112	1.8717	1.9389
246,98,148	6.862	4.21	4.8372	5.177	5.1896
248,98,150	6.361	7.56	7.0842	7.461	7.4242
250,98,152	6	8.49	8.8753	9.2819	9.1981
252,98,154	6.217	8.01	7.7067	8.1144	8.0576
246,100,146	8.378	0.17	0.0283	0.3133	0.4322
248,100,148	8.002	1.66	1.2321	1.5488	1.6568
250,100,150	7.557	3.38	2.7928	2.3992	3.2327
252,100,152	7.17	3.254	4.2725	4.6561	4.7192
254,100,154	7.301	4.14	3.6701	4.058	4.1283
256,100,156	7.25	4.405	3.8587	4.261	4.3258
252,102,150	8.55	0.74	0.0989	0.4337	0.5917
254,102,152	8.226	1.82	1.1125	1.4763	1.625
256,102,154	8.581	0.53	-0.086	0.2691	0.423

جدول (4): الأعداد الكتلية والذرية وعدد النيوترونات والقيم العملية لطاقات انحلال ألفا بوحدة MeV ومقارنة بين القيم العملية للوغاريتم اعمار أنصاف لنوى مع القيم النظرية حسب نموذج (F.M.M)

A . Z . N	Q_α (MeV)	logT(exp.)	logT(calc.) for F.M.M
186,82,104	6.47	0.68	0.2561
190,82,108	5.697	4.25	3.6344
192,82,110	5.221	6.57	6.09
194,82,116	4.738	9.99	8.9553
210,82,128	3.792	16.57	15.9437
190,84,106	7.693	-2.59	-3.2658
194,84,110	6.987	-0.38	-0.8971
198,84,114	6.309	2.27	1.7487
202,84,118	5.701	5.13	4.5151
204,84,120	5.37	4.1	6.2208
206,84,122	5.327	7.14	6.4326
208,84,124	5.11	7.96	7.647
210,84,126	5.3	7.07	6.5332
212,84,128	8.954	-6.52	-7.1284
216,84,132	6.906	-0.84	-0.8694
198,86,112	7.349	-1.18	-1.3427
206,86,120	6.384	2.74	2.3072
210,86,124	6.159	3.95	3.2564
214,86,128	9.208	-6.57	-7.0275
218,86,132	7.263	-1.46	-1.2882
222,86,136	5.59	5.52	5.8997
210,88,122	7.152	0.57	0.1188
212,88,124	7.032	1.18	0.5474
214,88,126	7.273	0.39	-0.3769
218,88,130	8.546	-4.59	-4.5792
222,88,134	6.679	1.59	1.8285
224,88,136	5.789	5.52	5.8986
226,88,138	4.871	10.73	11.2243
218,90,128	9.849	-6.96	-7.1448
222,90,132	8.127	-2.69	-2.4996
226,90,136	6.45	3.39	3.7284
228,90,138	5.52	8.825	8.3609
230,90,140	4.77	12.49	13.0463
232,90,142	4.083	18.55	18.4305
226,92,134	7.701	-0.57	-0.2813
228,92,136	6.803	2.9	3.1373
230,92,138	5.933	6.43	7.1689
232,92,140	5.414	9.5	10.0172
234,92,142	4.858	13.04	13.5677
236,92,144	4.49	14.87	16.2666
238,92,146	4.27	17.25	18.0361
234,94,140	6.31	5.89	6.2568
238,94,144	5.593	9.59	9.9877
240,94,146	5.17	11.316	12.5534
242,94,148	4.985	13.18	13.7643
244,94,150	4.66	15.37	16.0854
238,96,142	6.62	5.51	5.7364
242,96,146	6.216	7.28	7.6276
244,96,148	5.8	8.755	9.809
246,96,150	5.475	11.26	11.6803
248,96,152	5.05	16.09	14.4058
240,98,142	7.719	2.03	2.1054
246,98,148	6.862	4.21	5.5088
248,98,150	6.361	7.56	7.8349
250,98,152	6	8.49	9.6839
252,98,154	6.217	8.01	8.5145
246,100,146	8.378	0.17	0.5612
248,100,148	8.002	1.66	1.8422
250,100,150	7.557	3.38	3.4869
252,100,152	7.17	3.254	5.0389
254,100,154	7.301	4.14	4.4673
256,100,156	7.25	4.405	4.6547
252,102,150	8.55	0.74	0.7422
254,102,152	8.226	1.82	1.8252
256,102,154	8.581	0.53	0.5911

جدول (5) بوضوح قيم طاقات جسيمات ألفا المنحلة والقدرة الناتجة ولو غار يتم القدرة الناتجة وللنوى جميعها

A, Z, N	Q _α (MeV)	P(watt/gm)	Log[P(watt/gm)]
186,82,104	6.47	485110000	8.685
190,82,108	5.697	112250	5.05
192,82,110	5.221	487.17	2.687
194,82,116	4.738	0.166	-0.779
210,82,128	3.792	0.00000032	-7.494
190,84,106	7.693	1.08106*10 ¹²	12.033
194,84,110	6.987	5766800000	9.763
198,84,114	6.309	11420000	7.057
202,84,118	5.701	13900	4.143
204,84,120	5.37	139000	5.143
206,84,122	5.327	122	2.086
208,84,124	5.11	16.564	1.219
210,84,126	5.3	140.99	2.149
212,84,128	8.954	9.05*10 ¹⁵	15.95
216,84,132	6.906	1.46*10 ¹⁰	10.167
198,86,112	7.349	3.74*10 ¹⁰	10.574
206,86,120	6.384	3761220	6.575
210,86,124	6.159	219000	5.34
214,86,128	9.208	1.066*10 ¹⁵	17.027
218,86,132	7.263	6.41*10 ¹⁰	10.806
222,86,136	5.59	5072	3.705
210,88,122	7.152	610440000	8.785
212,88,124	7.032	14578000	7.163
214,88,126	7.273	923150000	8.965
218,88,130	8.546	1.046*10 ¹³	13.019
222,88,134	6.679	51586000	7.712
224,88,136	5.789	5195.071	3.715
226,88,138	4.871	0.026	-1.585
218,90,128	9.849	2.76*10 ¹⁶	16.441
222,90,132	8.127	1.1978*10 ¹²	12.078
226,90,136	6.45	774000	5.888
228,90,138	5.52	2.417	0.383
230,90,140	4.77	0.000446696	-3.349
232,90,142	4.083	3.26*10 ¹⁰	-9.485
226,92,134	7.701	8438829440	9.926
228,92,136	6.803	2507018.941	6.399
230,92,138	5.933	637.922	2.804
232,92,140	5.414	0.4925	-0.307
234,92,142	4.858	0.001123966	-3.906
236,92,144	4.49	0.000001712	-5.766
238,92,146	4.27	0.000000006	-8.221
234,94,140	6.31	2316.411	3.364
238,94,144	5.593	0.403	-0.394
240,94,146	5.17	0.0069	-2.161
242,94,148	4.985	0.000089	-4.05
244,94,150	4.66	0.000000535	-6.271
238,96,142	6.62	5716.25	3.757
242,96,146	6.216	89.006	1.949
244,96,148	5.8	2.78	0.444
246,96,150	5.475	0.0078	-2.107
248,96,152	5.05	0.00000011	-6.958
240,98,142	7.719	19968905.74	7.3
246,98,148	6.862	114470.5468	5.058
248,98,150	6.361	46.263	1.665
250,98,152	6	5.149	0.711
252,98,154	6.217	15.73	1.196
246,100,146	8.378	1532439718	9.185
248,100,148	8.002	47119073	7.673
250,100,150	7.557	828676.572	4.918
252,100,152	7.17	1054263.886	6.022
254,100,154	7.301	139161.4484	5.143
256,100,156	7.25	74395	4.871
252,102,150	8.55	410578580.6	8.613
254,102,152	8.226	32718265.21	7.514
256,102,154	8.581	637407217.1	8.8044

الملحق B:

1- برمجة نموذج الجسيم الواحد (O.B.M₁) و (O.B.M₂) و (O.B.M₃):

```
Q=6.47;
M=4*1.65e-27;
% r0=1.08;
r0=1.4;
r0=1.2;
A=186;
Z=82;
A1=A-4;
% A2=4;
% R=r0*A1^0.33333+2;
R=r0*(A)^0.33;
R=r0*(A1^0.333+A2^0.3333);
h=1.054e-34;
X=1.44;
B=X*(2*(Z-2))/R;
F=(sqrt((2*Q*1.6e-13)/M))/(2*R*1e-15);
n1=(1/h)*sqrt((2*M)/(Q*1.6e-13));
n2=(X*2*(Z-2))*1.6e-28;
n3=1.57-(2*sqrt(Q/B));
G=n1*n2*n3;
P=exp(-2*G);
D=F*P;
T=0.693/D;
log10(T)
```

2- برمجة نموذج وابسترا (W.M):

```
clc;
Z=82;
Q=2.6;
CW=52.400;
T=(1.2*Z+34.9)/sqrt(Q)-CW
```


3- برمجة أنموذج تاجيبيرا ونورميا (T.N.M):

CLC;
Z=102;
Zd=Z-2;
Q=8.581;
CT=20.789;
T=1.61*(Zd/sqrt(Q)-Zd^0.666)-CT

4- برمجة أنموذج كيلر ومونزل (K.M.M):

CLC;
Z=102;
Zd=Z-2;
Q=8.581;
HK=1.61;
CK=20.226;
T=HK*(Zd/sqrt(Q)-Zd^0.666)-CK

5- برمجة أنموذج كورا (K.M):

CLC;
r0=1.08;
A=204;
Ad=200;
ZD=80,
Q=2.6;
R=(r0*Ad^0.333+2);
N=20.05;
S=(1.7195*sqrt((A-4)/A)*ZD)/sqrt(Q);
U=1.2901*sqrt((A-4)/A)*sqrt(R*ZD);
O=((0.07466*sqrt((A-4)/A)*(R^1.5))/sqrt(ZD))*Q-N-1.59175;

6- برمجة نموذج روير (R.M.):

```
clc;
Q=6.62;
Z=96;
A=238;
T=-27.69-1.0441*(A^0.3333*sqrt(Z))+1.5702*(Z)/sqrt(Q)
```

7- برمجة نموذج فراس وميان (F.M.M.):

```
clc;
Q=6.47;
A=186;
Z=82;
N=A-Z;
T=1.66*(Z-2)/sqrt(Q)-26.6-sqrt((1.08*(A-4)^0.333+2)*(Z-2))+N-Zp/A
```

8- برمجة منحنيات المعايرة :

```
x1=[0.0056 3.4479 5.9382 8.8396 16.0536 -3.4749 -1.0625 1.6256 4.4335 6.1589
6.3947 7.6301];
x2=[0.68 4.25 6.57 9.99 16.57 -2.59 -0.38 2.27 5.13 4.1 7.14 7.96 7.07 -6.52 -0.84 -
1.18 2.74];
[xx1,xx2]=treat(x1,x2);
close all
plot(xx1,xx2,'o-')
xlabel('Log T calc.(sec)')
ylabel('Log T Exp.(sec)')

figure
hist(xx1-xx2,20)
```



1960

References:

المصادر:

المصادر العربية:

- خليل، منيب عادل،(1996).الفيزياء النووية، دار الكتب للطباعة والنشر، جامعة الموصل، العراق.
- رشيد، قصي،(1986). الوقاية من الإشعاع والتلوث، منظمة الطاقة الذرية العراقية.
- ماير هوف، (1982). مبادئ الفيزياء النووية. ترجمة عاصم عبد الكريم عزوز، قسم البحث والتطوير، المنشأة العامة لكبريت المشراق.

المصادر الأجنبية:

- Beiser, A. (2003). Concepts of Modern Physics, Sixth Edition, The McGraw-Hill, Inc., 1221, New York.
- Bohr.N.(1913). On the constitution of Atoms and Molecules. Philosophical Magazine and Journal of Science, Series 6, Vol. 25, No. 151, 1-25, Abstract.
- Brandan, M.E. and Satcher ,C.R. (1997). The interaction between light heavy ions and what it tells use. Physics Reports 285, 143-243.
- Buck ,B., Merchant, A. C. and Perez, S.M.(1991). Recent developments in the heavy of alpha decay. Modern Physics Letters A, Vol. 6, No. 27, 31-39.
- Cohen, B.L.(1971). Concepts of Nuclear Physics, McGraw-Hill company, Inc, 453-2461.
- Curie, M. (1900). C.R. Acad. Sci. Paris 130, 76, Cited by peltanen, S.(2009). Alpha decay fine structure in even-even nuclei. Academic dissertation for the degree of doctor.
- Chowdhury, P.R. Samanta, C. and Basu, D.N.(2006). Predictions of Alpha Decay Half lives of Heavy and Super heavy Element. Phys. Rev. C 73, 014612.
- Dong, J., Zuo, W. and Scheid, W. (2011). New approach for alpha decay half-lives of super heavy nuclei and applicability of WKB approximation. Nuclear Physics A, Vol. 861, Issue 1, 1-13, Abstract.
- Dong, J.M., Hongfei, Z., Wei, Z. and Qing, L.J.(2008). Half lives of super heavy Nuclei in Z=113 Alpha decay chain , Chin. Phys. Lett , Vol. 25, No. 12, 4230.

- Dong ,T. and Ren, Z. (2005).New calculations of α – decay half-lives by the Viola –Seaborg Formula.Eur. Phs. J.A26, 69-72.
- Evaluated Nuclear Structure Data File (ENSDF).(2000).Communicated through Nuclear Data Center, Japan Atomic Energy Research Institute.
- Garrote, F.B., Fernandez, J.A., and Hoyos, O.R. (2011). Alpha decay half-lives of super heavy nuclei in the WKB approximation. CienciasNucleares,No.49, Version ISSN 0864-084X.
- Giriya, K.K. and Joseph, A. (2013). A fission model approach to alpha decay and cluster radioactivity of Dy, Ey, and Yb Isotopes, Turk. J.Phys.37, 172-181.
- Greiner, W.(2007).Anew in sight in the Decay Modes of heavy nuclei, Romanian Reports in Physics ,Vol.59,No.2,p.193-204.
- Harb, S. (2004).On the human radiation exposure as derived from the analysis of natural and man-made radionuclide in Soil. PhD Thesis, VomFachbereich Physikder University Hannover.
- Hornshoj, P.H., Hansen, P.J., Jonson, B., Ravn, H.L.,Westgaard,L. and Nielsen, O.N. (1974). Nucl.Phys.,A230,365 .
- Keller, K.A. and Munzel, H.Z. (1972). Physik255-419, Cited by Poenaru, D.N and Ivascu, M.(1983).Estimation of the alpha decay half-lives, J.Physique 44,791-796.
- Krane, K.S.(1988).Introductory Nuclear Physics, John Wiley & Sons.Inc, New York.
- Kondev, F.G., Ahmad, I reene, J.P., Kellett, M.A. and Nichols, A.L. (2007). Measurement of the half-life of ^{246}Cm and the α – decay emission probabilities of $^{246}_{96}\text{Cm}$ and $^{250}_{98}\text{Cf}$.Applied Radiation and isotopes,Vol.65,Issue 3, 335-340,Abstract.
- Koura, H.(2002).Alpha - decay half- lives and fission barriers for super heavy Nuclei Predicted by a nuclear mass formula, Journal of Nuclear and Radiochemical Sciences, Vol.3,No.1,pp201-203.
- Lawson, R.S. (1999). An Introduction to Radioactivity. Manchester Royer Infirmary, London.

- Lazerenko, Y.V., Gusev, V. V. and Pystovalov, A.A. (1988). Basic Parameters of radionuclide thermoelectric generator, Atomic energy, 64(2), P131-137.
- Lilley, J.S.(2001). Nuclear Physics, John Wiley & Sons, Lid, New York.
- Mackenzi, A.S.(1905). The Deflexion of Alpha –Rays from Radium. Philosophical Magazine, Sixth Series. 48-538.
- Mladjenovic, M.(1992). The history of early nuclear physics (1896-1913). World Scientific, USA. ISBN981-020-8073.
- Ni, D. and Ren, Z. (2009). Microscopic calculation of alpha decay half – lives within the cluster model, Nuclear Physics A825, PP145-158.
- Ni, D. and Ren, Z. (2012). Binding energies α – decay energies, and α – decay half-lives for heavy and superheavy nuclei. Nuclear Physics A 893, 13-26.
- Ni, D. and Ren, Z. (2011). Coupled channels study of fine structure in the α – decay of well deformed nuclei. Physical Review C83,067032, Abstract.
- Peltonen, S.(2009). Alpha –Decay fine structure in even – even nuclei.. Thesis, Dept. of phys., University of JYVASKYLA, Finland.
- Pomorski, K., Warda ,M., Zdeb ,A. (2015). On spontaneous fission and α -decay half-lives of atomic nuclei. arxiv :1501.03912V1[nucl-th] 16Jan 2015.
- Poenaru, D.N.,Gherghescu, R.A. and Greiner, W. (2013). Alpha – cluster –and fission decay of super heavy nuclei. Rom. Journ. Phys., Vol.58,1157-1166.
- Ramsay, W. and Soddy, F. (1903). Experiments in radioactivity.
- Ring, P. (2001). Nuclear Structure far from the Valley of Stability, Progress in particle and Nuclear Physics, Vol.46, Issue 1, Pages 165-174.
- Royer, G., Schreiber, C. and Saulier, H.(2010). Analytic relations for partial alpha decay half–lives and barrier height and position,

International Journal of Modern Physics E, Version 1,in2 p3-00596855.

- Royer, G. (2000). Alpha emission and spontaneous fission through quas-molecular shape. J.Phys.G: Nucl.Part.Phys.1149-470,Abstract.
- Royer, G.and Zhang, H. (2009). Alpha decay potential barriers and half-lives and analytical formula predictions for super heavy nuclei. International Journal of Modern Physics E, Version 1.
- Rutherford, E. (1911). The scattering of α – and β – particles by matter Science, Series 6. Vol.21, No.125, 668-669,Abstract.
- Rutherford, E. (1899). Uranium Radiation and electrical conduction produced by it. Philos. Mag. 47-109.
- Santhosh, K.P.,Sahadevan,S. and Biju,R.K.(2009). Alpha radioactivity in heavy and superheavy elements. Nuclear Physics A825,159-174.
- Santhosh, K.P., Biju, R.K. and Sahadevan, S. (2010). Semi-empirical formula for spontaneous fission half-life time. Nuclear Physics A832, 220-232.
- Santhosh, K.P.,Priyanka, B. and Krishran, M.S. (2012). Cluster decay half-lives of trans-lead nuclei within the coulomb proximity potential model. Nuclear Physics A, Vol.889, 29-50,Abstract.
- Santhosh, K.P. and Biju, R.K. (2013). Stability of $^{248-254}_{98}\text{Cf}$ isotopes against alpha and cluster radioactivity.Annals of Physics 344,280-287.
- Silisteanu, I., Anghel, C.I. (2016). Alpha-decay and spontaneous fission half-lives of super-heavy nuclei around the doubly magic nucleus 270Hs. EPJ Web of Conferences 107,07004.
- Suliman, G.,Pomme, S., Marouli, M., Ammel, R.V., Jobbagy, V.,Paepen, J., Strohh,H.,Apostolidies,C.,Abbas,K. and Morgenstern, A. (2012). Measurements of the half-life of $^{214}_{84}\text{Po}$ and $^{218}_{88}\text{Ra}$ using digital electronics.Applied Radiation and isotopes, 1907-1912.
- Taagepera, R. and Nurmia, M. (1961). Ann. Acad. Sci., Fenn. Ser. A78, Cited by Poenaru, D.N and Ivascu,M.(1983).Estimation of the alpha decay half-lives, J.Physique 44,791-796.

- Vasileva, A.,Konchetkov, A.L., Starkov,O.V. and Tsikunov,A.G. (1996). Natural and Reactor Radioactive Series, No.2526,IPPE.
- Wapstra, A. H., Nugh, G. J. and Vanlieshout, R. (1959). In Nuclear spectroscopy Tables (North-Holland Amsterdam),Cited by Poenaru, D.N. and Ivascu,M.(1983).Estimation of the alpha decay half-lives, J.Physique 44,791-796.
- Wong, J.L., (1990).Introductory Nuclear Physics,Prentice –Hall international, Inc.
- Wiley,R.L., Halpert,G., Sabripour,S. and Flood,D.J.(2000).spacecraft power technologies , Imperial college press,ISBN1-P256.
- Zdeb,A., Warda,M., Pomorski,K.(2014). Alpha decay half-lives for the super heavy nuciei within a gamow –like model . acta Physica Polonica B. Vol.45.No.2.
- Zhang, H.F., Royer, H., Wang, Y.J.,Dong,J.M.,Zuo,W. and Li,J.Q. (2009). Analytic expressions for the α –particle preformation in heavy nuclei. Physics Review C80, 057301.
- Zhang, H., Zuo, W., Li, J. and Royer, G. (2006). α – decay half-lives of superheavy nuclei predicted by Nuclear Mass formula. Journal of Nuclear and Radiochemical Science, Vol.3, No.1,201-203.

ABSTRACT

The study involved the determination of the half – lives Logarithm for heavy even – even nuclei that contain atomic numbers ranged between $82 \leq Z \leq 102$ through revisited of the single particle model suggested by Gurney Condon and Gamow in 1928. This model is based upon the formation of an Alpha particle in the parent nucleus before its tunneling decay. In addition a simple modification process is done on the nucleus radius that consists of the sum of mass numbers for the daughter and Alpha particle relying only on the parent nuclear radius ($1.4A^{1/3}$). Also, relying on the daughter nuclear mass number with the addition of correction factor $(1.08A_d^{1/3} + 2)$ in which it was constant value (2-3 times) which will greatly affect the nucleus half life logarithm as well as its effect on the inverse proportion between the nucleus radius and the potential barrier rise. The half – life logarithm for the nuclei being studied was determined, through several common models that belong to another study as in Wapstra Model (W.M), Taagepera and Nurmia Model (T.N.M), Keller and Munzel Model (K.M.M), Hornshoj Model (H.M), Koura Model (K.M) and Royer Model (R.M) alongside our (Firas and Mayan Model) (F.M.M) That contain semi – empirical relation based on the Giger & Nutall rule as well as some parameter that the single particle model involved such as the radius of nucleus represented by $(1.08A_d^{1/3} + 2)$ and the atomic number of the daughter nucleus Z_d . That is with suitable constants that were obtained through trial and error as the model contain a term represented by the relative neutrons excess $(\frac{N-Z_p}{A})$ which was extremely important in half life logarithm suitability and its approach to practical values. The comparison process was achieved between our Firas and Mayan model with the rest of the common models depending on statistical procedures that we undertook as in the calculation of root mean square deviation (rmsd) as well as the standard deviation (σ) and the agreement factor alongside the relation between the theoretical and practical half-life logarithm ratio. It was found through these values that it is possible to use Firas and Mayan model in the alpha emission theory description as well as in determining the studied

logarithm of the nuclei half-life in a way that approaches the practical values. It is realized that all the common models can be used in determining the nuclei half-life logarithm, Results showed that the half-life logarithm increases with the increase in neutrons numbers (N) for all nuclei except those that contain magic numbers in their atomic numbers (Z) or neutron numbers (N) or both. The study also showed that the increase in neutron numbers to the proton numbers for the lead nucleus ${}_{82}^{208}\text{Pb}_{126}$ (contains double magic numbers) does have larger effect on the alpha decay properties. Results generally indicated that the emitting forces of alpha particles with large decay energies are of short half-lives. The fitting equations the link between theoretical and practical half-life logarithm and for all Model, were obtained. Regarding the application of alpha particles decay in technology, the results showed that the generating power to the mass unit ($\frac{\text{watt}}{\text{gm}}$) does proportionally increase with the decayed alpha particle energy increase in a constant average fashion.

More Books!

Yes I want morebooks

اشترى كتبك سريعاً و مباشرة من الأنترنت, على أسرع متاجر الكتب الالكترونية في العالم
بفضل تقنية الطباعة عند الطلب, فكتبتنا صديقة للبيئة

اشترى كتبك على الأنترنت

www.get-morebooks.com

Kaufen Sie Ihre Bücher schnell und unkompliziert online – auf einer der am schnellsten wachsenden Buchhandelsplattformen weltweit!
Dank Print-On-Demand umwelt- und ressourcenschonend produziert.

Bücher schneller online kaufen

www.morebooks.de

SIA OmniScriptum Publishing
Brīvības gatve 197
LV- 1039 Rīga, Latvia
Telefax: +371 686204 55

info@omniscrptum.com
www.omniscrptum.com

OMNIscriptum



